

การกระจายของพยาธิอันชาคิตในอวัยวะภายในของปลาจ้าด (*Johnius carouna*) และปลากัดหนวด (*Dendrophysa russelli*) ในตำบลคล่องตัว จังหวัดชลบุรี  
Distribution of *Anisakis* sp. in Visceral Organs of Caroun croaker (*Johnius carouna*) and Goatee croaker (*Dendrophysa russelli*) in  
Tumbon Aungsila, Chonburi Province

ประภาพร ณ รุ่งนนท์

1023

โครงการวิจัยทางวิทยาศาสตร์การแพทย์นี้เป็นส่วนหนึ่งของการศึกษาตามหลักสูตร

ปริญญาวิทยาศาสตรบัณฑิต

สาขาวิทยาศาสตร์การแพทย์ คณะวิทยาศาสตร์

มหาวิทยาลัยบูรพา

ปีการศึกษา 2547

44031851 : สาขาวิชา : วิทยาศาสตร์การแพทย์; วท.บ. (วิทยาศาสตร์การแพทย์)

ประภารรณ เอี่ยมอนันต์: การกระจายของพยาธิอะนิชาคิสในอวัยวะภายในของปลาจรวด (*Johnius carouna*) และปลาจรวดหนวด (*Dendrophysa russelli*) ในตัวปลาอ่างศีลา จังหวัดชลบุรี (Distribution of *Anisakis* sp. in Visceral Organs of Caroun croaker (*Johnius carouna*) and Goatee croaker (*Dendrophysa russelli*) in Tumbon Aungsila, Chonburi Province) อาจารย์ที่ปรึกษา โครงการวิจัย: ชฎาพร นุชจังหวีด, วท.ม., รตินा ครุวรรณเจริญ, วท.ม., 76 หน้า. ปี พ.ศ. 2548.

การติดเชื้อพยาธิในสัตว์ทะเล โดยเฉพาะพยาธิตัวกลมในกลุ่มอะนิชาคิส (*Anisakis* sp.) เป็นปัญหาที่มีความสำคัญในการประเมินและธุรกิจที่เกี่ยวข้องกับการเพาะเลี้ยงสัตว์น้ำ ก่อให้เกิดความเสียหายซึ่งมีผลกระทบต่อเศรษฐกิจอย่างมหาศาล และยังส่งผลต่อสุขภาพอนามัยของประชาชน คนสามารถติดเชื้อพยาธินิดนี้ได้จากการบริโภคปลาหรือปลาหมึกที่ปรุงไม่สุก ซึ่งทำให้เกิดโรค Anisakiasis จากการสำรวจเบื้องต้น โดยการนำปลาจากทะเลไป ตัวปลาอ่างศีลา จังหวัดชลบุรี จำนวน 8 ชนิด ได้แก่ ปลาตะกรัน ปลาไหหละ ปลาจรวด ปลาจรวดหนวด ปลาลินหนาน ปลาแดง ปลาคุณ และปลาทรายแดง พบว่าปลาทะเลที่มีการติดเชื้อพยาธิในกลุ่ม *Anisakis* sp. คือ ปลาจรวด (*Johnius carouna*) และปลาจรวดหนวด (*Dendrophysa russelli*) ตัวน้ำหนึ่งมีวัตถุประสงค์เพื่อศึกษาชนิด เปอร์เซนต์ การกระจายตัวในอวัยวะภายในส่วนต่างๆ รวมทั้งความหนาแน่นและอัตราความชุกของการติดเชื้อพยาธิ *Anisakis* sp. ในปลาทั้ง 2 ชนิดดังกล่าว โดยนำมาศึกษา ชนิดละ 120 ตัว

จากการศึกษาพบพยาธิระยะตัวเต็มวัยที่มีลักษณะคล้ายพยาธิในกลุ่ม *Anisakis* sp. และพบเพียงชนิดเดียวในปลาทั้ง 2 ชนิด ซึ่งพบพยาธิจำนวน 91 ตัวในปลาจรวด แยกเป็นเพศผู้ 7.69% เพศเมีย 92.31% และพบพยาธิจำนวน 405 ตัวในปลาจรวดหนวด แยกเป็นเพศผู้ 16.54% เพศเมีย 83.46% ส่วนการกระจายของพยาธินิดนี้ในอวัยวะภายในของปลาจรวด พบมากที่สุดบริเวณลำไส้ รองลงมาเป็นตัวกระเพาะอาหาร ไข่ เหงือก และถุงลม คิดเป็น 64.84%, 14.29%, 13.19%, 4.4%, 2.2% และ 1.1% ตามลำดับ ส่วนในปลาจรวดหนวด พบมากที่สุดบริเวณลำไส้ รองลงมาเป็นกระเพาะอาหาร ถุงลมเหงือก ตับ และไข่ คิดเป็น 80%, 8.4%, 4.44%, 3.95%, 2.72% และ 0.49% ตามลำดับ สำหรับความหนาแน่นของการติดเชื้อพยาธิในปลาจรวดและปลาจรวดหนวด เท่ากับ 2.39 ตัวต่อปลา 1 ตัว และ 3.86 ตัวต่ำปลา 1 ตัว ตามลำดับ ส่วนอัตราความชุกของการติดเชื้อพยาธิในปลาจรวดและปลาจรวดหนวด เท่ากับ 31.67% และ 87.5% ตามลำดับ จากการศึกษารังนี้ทำให้ทราบข้อมูลด้านชนิด เปอร์เซนต์ การกระจายของพยาธิในอวัยวะภายในแต่ละส่วน รวมทั้งความหนาแน่นและอัตราความชุกของการติดเชื้อพยาธิในปลาทั้ง 2 ชนิด ในตัวปลาอ่างศีลา จังหวัดชลบุรี ซึ่งจะนำไปใช้เป็นข้อมูลทางด้านระบาดวิทยา เพื่อดำเนินการทางแนวทางควบคุมและป้องกันการติดเชื้อพยาธิในกลุ่มนี้ และการแพร่กระจายของพยาธิไปสู่คน และสัตว์อื่นๆ รวมทั้งไส้สัตว์ชนิดต่างๆที่เกี่ยวข้อง ตลอดจนใช้เป็นฐานข้อมูลในการศึกษาวิจัยเกี่ยวกับพยาธิกลุ่มนี้ในระดับสูงต่อไป

## สารบัญ

### หน้า

บทคัดย่อภาษาไทย.....	ก
สารบัญ.....	๔
สารบัญตาราง.....	๕
สารบัญภาพ.....	๖
สารบัญตารางผนวก.....	๗
<b>บทที่</b>	
<b>1 บทนำ.....</b>	<b>1</b>
ความเป็นมาและความสำคัญของปีญหา.....	1
วัตถุประสงค์ของการวิจัย.....	4
ขอบเขตของการวิจัย.....	4
สถานที่ทำการวิจัย.....	4
ประโยชน์ที่คาดว่าจะได้รับจากการวิจัย.....	5
<b>2 เอกสารและงานวิจัยที่เกี่ยวข้อง.....</b>	<b>6</b>
ลำดับอนุกรมวิธานของพยาธิอะนิซากิส ( <i>Anisakis</i> sp.).....	6
ประวัติและการกระจายทางภูมิศาสตร์.....	6
รูปร่างลักษณะและชีววิทยา.....	7
วงจรชีวิตของพยาธิ.....	15
ระบบวิทยา.....	17
พยาธิกานนิค พยาธิสภาพและการ.....	17
การวินิจฉัย.....	18
การรักษา.....	18
การป้องกันและการควบคุม.....	18
งานวิจัยที่เกี่ยวข้องกับการศึกษา.....	19
<b>3 วิธีดำเนินการวิจัย.....</b>	<b>21</b>
วัสดุอุปกรณ์.....	21
สารเคมี.....	21

## สารบัญ (ต่อ)

หน้า

1 ปลาที่ใช้ในการศึกษา.....	22
วิธีดำเนินการวิจัย.....	22
-การเก็บพยานิช.....	22
-การทำสไลด์ถาวร.....	22
-การวินิจฉัยจำแนกชนิดของพยานิช.....	28
-การวิเคราะห์ข้อมูล.....	33
4 ผลการวิจัย.....	34
การศึกษานิคและเบอร์เชนต์ของพยานิช <i>Anisakis sp.</i> .....	34
การศึกษาการกระจายของพยานิช <i>Anisakis sp.</i> ในอวัยวะภายใน.....	41
การศึกษาความหนาแน่นของการติดเชื้อพยานิช <i>Anisakis sp.</i> .....	43
การศึกษาอัตราความซ้ำของการติดเชื้อพยานิช <i>Anisakis sp.</i> .....	44
5 อภิปรายและสรุปผลการวิจัย.....	50
อภิปรายผลการวิจัย.....	50
สรุปผลการวิจัย.....	53
ข้อเสนอแนะ.....	54
เอกสารอ้างอิง.....	55
ภาคผนวก.....	58
ภาคผนวก ก.....	59
ภาคผนวก ข.....	61
ภาคผนวก ค.....	66
ประวัติป้องของผู้วิจัย.....	76

## สารบัญตาราง

หน้า

### ตารางที่

2-1	แสดงความแตกต่างของพยาธิในกลุ่ม <i>Anisakis</i> sp. ....	9
4-1	แสดงเปอร์เซนต์ของพยาธิที่พบในปลาจวัด .....	35
4-2	แสดงเปอร์เซนต์ของพยาธิที่พบในปลาจวัดหนวด.....	35
4-3	แสดงเปอร์เซนต์การกระจายของพยาธิในอวัยวะภายในแต่ละส่วนของปลาจวัด และปลาจวัดหนวด.....	41
4-4	แสดงความหนาแน่นของการติดเชื้อพยาธิที่มีลักษณะคล้ายพยาธิในกลุ่ม <i>Anisakis</i> sp. ในปลาจวัด และปลาจวัดหนวด.....	43
4-5	แสดงอัตราความชุกของการติดเชื้อพยาธิระยะตัวเต็มวัยที่มีลักษณะคล้ายพยาธิ ในกลุ่ม <i>Anisakis</i> sp. ในปลาจวัดและปลาจวัดหนวด.....	44
4-6	แสดงความหนาแน่นและอัตราความชุกของการติดเชื้อพยาธิระยะตัวเต็มวัยที่มีลักษณะคล้าย พยาธิในกลุ่ม <i>Anisakis</i> sp. ในปลาจวัด โดยแบ่งตามน้ำหนักของปลา.....	45
4-7	แสดงความหนาแน่นและอัตราความชุกของการติดเชื้อพยาธิระยะตัวเต็มวัยที่มีลักษณะคล้าย พยาธิในกลุ่ม <i>Anisakis</i> sp. ในปลาจวัดหนวด โดยแบ่งตามน้ำหนักของปลา.....	46
4-8	แสดงผลการศึกษาโดยสรุปเป็นเปอร์เซนต์ ความหนาแน่นเฉลี่ย และอัตราความชุกของ การติดเชื้อพยาธิระยะตัวเต็มวัยที่มีลักษณะคล้ายพยาธิในกลุ่ม <i>Anisakis</i> sp. ในปลาจวัด และปลาจวัดหนวด.....	47

## สารบัญภาพ

หน้า

### ภาพที่

2-1	แสดงรูปร่างลักษณะของตัวอ่อนระยะที่ 3 ของพยาธิ <i>A. simplex</i> ที่พับในปลายเดที่เป็น paratenic host.....	10
2-2	แสดงบริเวณส่วนปากของพยาธิ <i>A. simplex</i> และ <i>P. decipiens</i> .....	11
2-3	แสดงลักษณะการเรียงตัวของร่องผิวพยาธิ <i>A. simplex</i> และ <i>P. decipiens</i> .....	12
2-4	แสดงรูปร่างลักษณะของตัวอ่อนระยะที่ 3 ของพยาธิ <i>A. simplex</i> และ <i>P. decipiens</i> .....	13
2-5	แสดงรูปร่างลักษณะบริเวณปลายทางของของตัวอ่อนระยะที่ 3 พยาธิ <i>A. simplex</i> และ <i>P. decipiens</i> .....	14
2-6	แสดงวงจรชีวิตของพยาธิ <i>Anisakis</i> sp.....	16
3-1	แสดงปลาจวด ( <i>Johnius carouna</i> ).....	24
3-2	แสดงปลาจวดหนวด ( <i>Dendrophysa russelli</i> ).....	25
3-3	แสดงอวัยวะภายในของปลาจวดและปลาจวดหนวดที่นำมาศึกษา.....	26
3-4	แสดงการตรวจคุณภาพโดยกล้อง stereoview ไมโครสโคป.....	27
3-5	แสดงรูปร่างลักษณะตัวอ่อนระยะที่ 3 ของพยาธิ <i>Anisakis</i> sp.....	30
3-6	แสดงโครงสร้างภายในของหนอนตัวกลมเพศผู้และเพศเมีย.....	31
4-1	แสดงพยาธิในกลุ่ม <i>Anisakis</i> sp. ที่พับในปลาจวดและปลาจวดหนวด.....	36
4-2	ลักษณะของพยาธิระยะตัวเต็มวัยที่มีลักษณะคล้ายพยาธิในกลุ่ม <i>Anisakis</i> sp. เพศผู้ ข้อมด้วยสี carmine .....	37
4-3	ลักษณะของพยาธิระยะตัวเต็มวัยที่มีลักษณะคล้ายพยาธิในกลุ่ม <i>Anisakis</i> sp. เพศผู้ ข้อมด้วยสี carmine .....	38
4-4	ลักษณะของพยาธิระยะตัวเต็มวัยที่มีลักษณะคล้ายพยาธิในกลุ่ม <i>Anisakis</i> sp. เพศเมีย.....	39
4-5	ลักษณะของพยาธิระยะตัวเต็มวัยที่มีลักษณะคล้ายพยาธิในกลุ่ม <i>Anisakis</i> sp. เพศเมีย ข้อมด้วยสี carmine .....	40
4-6	กราฟแสดงการเปรียบเทียบเปอร์เซนต์การกระจายของพยาธิในอวัยวะภายในของปลาจวด และปลาจวดหนวด.....	42

## สารบัญตารางผนวก

หน้า

### ตารางผนวกที่

1	แสดงจำนวนพยาธิแต่ละชนิดที่พบในปลาจวค และวิธีการคำนวณเป็น เปอร์เซนต์.....	61
2	แสดงจำนวนพยาธิแต่ละชนิดที่พบในปลาจวคหนวด และวิธีการคำนวณเป็น เปอร์เซนต์.....	61
3	แสดงจำนวนพยาธิแต่ละชนิดที่พบในอวัยวะภายในของปลา และวิธีการ คำนวณหาเปอร์เซนต์การกระจายตัวของพยาธิ <i>Anisakis sp.</i> ในอวัยวะของ ปลาจวคและปลาจวค.....	62
4	แสดงจำนวนพยาธิแต่ละชนิดที่พบ จำนวนปลาที่มีพยาธิแต่ละชนิด และวิธีการ คำนวณหาความหนาแน่นของการติดเชื้อพยาธิในปลาจวคและปลาจวคหนวด.....	63
5	แสดงจำนวนปลาที่มีพยาธิแต่ละชนิดและวิธีการคำนวณหาอัตราความชุกของ การติดเชื้อพยาธิในปลาจวคและปลาจวคหนวด.....	64
6	แสดงจำนวนปลาที่นำมาศึกษา จำนวนปลาที่ติดเชื้อพยาธิ จำนวนพยาธิที่พบ และวิธีการคำนวณหาความหนาแน่นของการติดเชื้อพยาธิ และอัตราความชุกของ การติดเชื้อพยาธิในปลาจวค โดยแบ่งตามน้ำหนักของปลา.....	65
7	แสดงจำนวนปลาที่นำมาศึกษา จำนวนปลาที่ติดเชื้อพยาธิ จำนวนพยาธิที่พบ และวิธีการคำนวณหาความหนาแน่นของการติดเชื้อพยาธิ และอัตราความชุกของ การติดเชื้อพยาธิในปลาจวคหนวด โดยแบ่งตามน้ำหนักของปลา.....	65
8	แสดงจำนวนพยาธิที่พบในอวัยวะภายในของปลาจวค.....	66
9	แสดงจำนวนพยาธิที่พบในอวัยวะภายในของปลาจวคหนวด.....	71

## บทที่ 1

### บทนำ

#### ความเป็นมาและความสำคัญของปัลพา

การติดเชื้อปรสิตในสัตว์ทะเลเป็นปัลพาที่มีความสำคัญในการประเมินและธุรกิจที่เกี่ยวข้องกับการเพาะเลี้ยงสัตว์น้ำ เนื่องจากประเทศไทยมีอาณาเขตติดต่อกันชายฝั่งทะเลนั้น ประชาชนในประเทศไทยยังคงสนใจเชิงการประเมินและธุรกิจที่เกี่ยวข้องกับการเพาะเลี้ยงสัตว์น้ำ ซึ่งสร้างรายได้หลักให้กับประเทศเหล่านั้นปัลพา (Abello et al., 2001) การที่สัตว์ทะเลที่จับได้มีปรสิตแอบแฝงอยู่ภายในจะส่งผลเสียต่อคุณภาพและราคาสั่งออก เพราะปรสิตที่อาศัยอยู่จะเข้าไปขัดขวางการทำงานของอวัยวะต่างๆ และแบ่งอาหารจากสัตว์ทะเล ทำให้สัตว์ทะเลเริ่มใหญ่เดินได้ช้า ซึ่งเป็นสาเหตุทำให้การขยายพันธุ์ของสัตว์ทะเลลดลง จึงทำให้ปริมาณการสั่งออกลดลง รวมถึงคุณภาพของสินค้าและผลิตภัณฑ์แปรรูปที่เกี่ยวข้องกับสัตว์ทะเลลดต่ำลงด้วย ทำให้ประเทศไทยล่ามีสูญเสียบุคลากรทางเศรษฐกิจในแต่ละปี (Smith and Wootten, 1997) ในอดีตพบว่ามีการติดเชื้อพยาธิชนิดต่างๆ ในปลา เช่น พยาธิตัวตืด พยาธิตัวกลมต่อมนิหรือลักษณะสันหันสนุนการค้นพบพยาธิตัวกลมกลุ่มนี้ซึ่งอาศัยอยู่ในอวัยวะภายในและเนื้อของปลาทะเลและสัตว์ทะเลตระกูลปลาหมึกชนิดต่างๆ ภายหลังทราบว่าพยาธิชนิดนี้ คือ ตัวอ่อนของพยาธิในกลุ่มอะนิชาคิส (*Anisakis* sp.) ซึ่งเป็นพยาธิตัวกลมใน Family Anisakidae โดยพยาธิชนิดนี้มีวงจรชีวิตที่เกี่ยวข้องกับปลาทะเล และสัตว์ทะเลหลายชนิด ซึ่งประกอบด้วยพยาธิ *Anisakis simplex* (*Anisakis* type 1), *Anisakis* type 2, *Pseudoterranova decipiens* และ *Contracaecum osculatum* แต่พยาธิที่มีความสำคัญทางการแพทย์และทำให้เกิดโรคในคนมี 2 ชนิด คือ *A. simplex* (*Anisakis* type 1) และ *P. decipiens* (Koyama et al., 1982)

ตัวเต็มวัยของพยาธิ *A. simplex* และ *P. decipiens* อาศัยอยู่ในกระเพาะอาหารของสัตว์ทะเลที่เลี้ยงลูกด้วยนม โดยจะฝังตัวอยู่ในเยื่อเมือกและมีการเกาะกลุ่มรวมกัน ตัวเต็มวัยเพศเมียของพยาธิจะผลิตไข่ (Unembryonated eggs) และถูกขับออกมานปนกับอุจจาระของสัตว์ทะเลที่เลี้ยงลูกด้วยนมซึ่งเป็นไสสตสุดท้าย (Definitive host) ไข่พยาธิจะลอกเป็นอิสระในน้ำทะเล โดยตัวอ่อนระยะที่ 1 (First-stage larva) จะพัฒนาขึ้นภายในไข่ และเปลี่ยนแปลงไปเป็นระยะ L2 (Second-stage larva) ซึ่งตัวอ่อนระยะ L2 จะฟิกตัวออกจากไข่ ว่ายน้ำเป็นอิสระ (Free swimming) ในทะเล และจะถูกกินโดยพวยครัสตาเซียน (Crustacean) เช่น กุ้ง, ปู, ไส้หน้า ซึ่งเป็นไสสตส์กึ่งกลาง (Intermediate host) พยาธิจะมีการเจริญพัฒนาจากตัวอ่อนระยะ L2 กลายเป็นตัวอ่อนระยะ L3 (Third-stage larva) ภายในไสสตส์กึ่งกลาง หลังจากนั้นพวยครัสตาเซียน ที่มีตัวอ่อนพยาธิระยะ L3 จะถูกกินโดยปลาและปلامนึก ซึ่งจัดเป็นไสสตส์สืบ (Paratenic host) ทำให้ในตัวปลาและปلامนึกมีตัวอ่อนระยะ L3 ซึ่งเป็นตัวอ่อนระยะติดต่อ (Infective stage) อาศัยอยู่ เมื่อสัตว์ทะเลที่เลี้ยงลูกด้วยนมซึ่งเป็นไสสตส์สุดท้ายมากินปลาและปلامนึกตัวอ่อนระยะ

L3 จะพัฒนาไปเป็นระยะ L4 (Fourth-stage larva) และมีการเจริญเป็นตัวเต็มวัยต่อไปในวงจรชีวิต สำหรับคนติดเชื้อพยาธินิ่นจากการกินปลาทะเลที่ดิบหรือปูรุ่งไม่สุกเป็นอาหาร ทำให้ตัวอ่อนระยะ L3 เข้าไปอาศัยอยู่ในอวัยวะต่างๆ ของร่างกาย และเนื่องจากคนจัดเป็นโภสต์ซึ่งติดเชื้อพยาธิโดยบังเอิญ (Accidental host) ทำให้ตัวอ่อนระยะ L3 ไม่สามารถเจริญเป็นตัวเต็มวัยได้ แต่จะทำให้เกิดโรค Anisakiasis (Oshima, 1987)

โรค Anisakiasis มีการรายงานครั้งแรกในประเทศเนเธอร์แลนด์ (Van Thiel et al., 1960) โดยพบพยาธิตัวกลมในก้อนเนื้อที่ลำไส้ของผู้ป่วยที่มีอาการปวดท้องเฉียบพลันและมีอาการไข้ ภายหลังจาก การกินปลาแซอร์ริงดินฯ ซึ่งในเนื้อปลาดังกล่าวมีตัวอ่อนพยาธิระยะที่ 3 ของ *A. simplex* อาศัยอยู่ พยาธิที่พัฒนามีความยาวประมาณ 2 เซนติเมตร ต่อมาก็เริ่มพับพยาธินิ่นในลำไส้และเริ่มพบว่ามีอุบัติการณ์การติดเชื้อพยาธินิ่นมากขึ้นด้วย โดยเฉพาะอย่างยิ่งในประเทศที่ประชาชนมีอุปนิสัยนิยมบริโภคปลาทะเลเดิบฯ หรือปูรุ่งไม่สุกเป็นอาหาร เช่น ประเทศญี่ปุ่น ประเทศเนเธอร์แลนด์ และทางชายฝั่งตะวันตกของประเทศสหรัฐอเมริกา (รัฐอาวาย อะลากาสก้า และแคลิฟอร์เนีย) นับตั้งแต่มีการออกกฎหมายคุ้มครองสัตว์ทะเลที่เลี้ยงถูกตัวบันม เช่น ปลาหวานและปลาโลมา ค.ศ.1972 ในประเทศสหรัฐอเมริกา จึงทำให้มีประชากรของสัตว์ทะเลที่เลี้ยงถูกตัวบันมเพิ่มขึ้น ส่งผลให้คนติดเชื้อพยาธิ *Anisakis* sp. เพิ่มขึ้น ระหว่างปี ค.ศ.1980-1988 มีการรายงานการติดเชื้อพยาธิ *Anisakis* sp. เพิ่มขึ้นถึง 70% (McKerrow et al., 1988) อย่างไรก็ตามตัวเลขที่เพิ่มขึ้นของผู้ติดเชื้อพยาธิยังไม่เป็นที่ชัดเจนแน่นอน สาเหตุอาจมาจากการเพิ่มขึ้นของประชากรสัตว์ทะเลที่เลี้ยงถูกตัวบันมหรืออาจเกิดจากการตรวจวินิจฉัยที่มีประสิทธิภาพมากขึ้น เมื่อ ค.ศ. 1989 Schantz ได้ทำการเก็บรวบรวมข้อมูลการรายงานของโรค Anisakiasis แต่ข้อมูลที่ได้ไม่ชัดเจนมากนัก เนื่องจากพบว่าตัวอ่อนของพยาธิ *A. simplex* มีลักษณะเหมือนกับตัวอ่อนของพยาธิ *P. decipiens* นอกรจากนี้อาการของการติดเชื้อพยาธิทั้ง 2 ชนิดก็คล้ายกัน ส่งผลให้เกิดข้อผิดพลาดในการตรวจวินิจฉัย ทำให้ข้อมูลที่ได้เกิดความผิดพลาดไปด้วย ดังนั้นจึงทำให้ได้ข้อมูลทางสถิติไม่ชัดเจน

คนที่เป็นโรค Anisakiasis จะมีอาการปวดท้องขึ้นมาเฉียบพลันภายหลังรับประทานอาหารที่มีตัวอ่อนพยาธิอาศัยอยู่ ซึ่งตัวอ่อนพยาธิจะเคลื่อนที่ไปยังกระเพาะอาหารและลำไส้ แต่ไม่มีการเจริญเติบโตไปเป็นระยะอื่น อาการที่แสดงออกมาแตกต่างกันแล้วแต่ว่าพยาธิจะอยู่ส่วนใดของกระเพาะหรือลำไส้ หากพยาธิมีการเคลื่อนย้ายจากกระเพาะอาหารหรือลำไส้แล้วก็ไปยังบริเวณลำคอจะทำให้ผู้ป่วยมีอาการเหนื่อยหน่ายหรือหายใจลำบาก ทำให้อหอบไห ใจ อาการอื่นที่พบคือ คลื่นไส้ อาเจียน และปวดท้อง คล้ายไส้ตึงอักเสบ บางรายอาจถึงขึ้นเสียชีวิตได้ (Deardorff et al., 1986)

สำหรับประเทศไทย ปัจจุบันมีรายงานการติดเชื้อพยาธิ *Anisakis* sp. เพียง 1 รายเท่านั้น (Hemsrichart, 1993) แต่การที่ประชาชนมีพฤติกรรมในการบริโภคที่เปลี่ยนไป เช่น การนิยมรับประทานอาหารญี่ปุ่นประเภท Sushi และ Sashimi ซึ่งเป็นอาหารจำพวกปลาทะเลที่ดิบหรือปูรุ่งไม่สุก จึงคาดว่าจะมีอัตราเสี่ยงต่อการติดเชื้อพยาธินิ่นมากขึ้น ในจังหวัดชลบุรีก็เช่นเดียวกัน บริเวณตำบล

อุบัติการณ์นี้มีรายงานเบตติดต่อกับชาวฝั่งทะเลทางด้านอ่าวไทย ประกอบกับประชาชนที่อาศัยอยู่ในบริเวณชายฝั่งทะเลนี้มีอาชีพทำการประมง ลักษณะนี้มีพยาธิอาศัยอยู่ในปลาทะเล อาจทำให้เกิดความเสียหายทางด้านเศรษฐกิจ รวมถึงอาจส่งผลต่อสุขภาพอนามัยของประชาชนด้วย จากการสำรวจเบื้องต้น ในเดือนกุมภาพันธ์ถึงเดือนมีนาคม พ.ศ. 2547 เพื่อสุ่มเก็บตัวอย่างพยาธิจากปลาทะเลชนิดต่างๆ ที่ประชาชนคำนวณอ้างคีลา จังหวัดชลบุรี นิยมนำไปประกอบอาหารทั้งสิ้น 8 ชนิด ได้แก่ ปลาตะกรัน ปลาไอล ทะเล ปลาจวด ปลาจุดหนวด ปลาลิ้นหมา ปลาแดง ปลากุ้ด ปลาทรายแดง พบว่าปลาทะเลชนิดที่มีการติดเชื้อพยาธิในกลุ่ม *Anisakis* sp. มี 2 ชนิด คือ ปลาจวด (*Johnius carouna*) และ ปลาจุดหนวด (*Dendrophysa russelli*) เมื่อเป็นเช่นนี้ ผู้วิจัยจึงมีความสนใจที่จะศึกษาพยาธิ *Anisakis* sp. ที่อาศัยอยู่ในปลาทะเลทั้ง 2 ชนิดนี้ ในคำนวณอ้างคีลา จังหวัดชลบุรี เพื่อเป็นข้อมูลทางด้านระบบวิทยาในการดำเนินการป้องกันและควบคุมพยาธิ *Anisakis* sp. ต่อไป

## วัตถุประสงค์ของการวิจัย

1. เพื่อศึกษาชนิดและปริมาณต์ของพยาธิ *Anisakis* sp. ในปลาจวดและปลาจวดหนวด ในตำบลอ่างศิลา จังหวัดชลบุรี

2. เพื่อศึกษาระยะห่างของการระบาดของพยาธิ *Anisakis* sp. ในอวัยวะภายในของปลาจวดและปลาจวดหนวด ในตำบลอ่างศิลา จังหวัดชลบุรี

3. เพื่อศึกษาความหนาแน่นของการติดเชื้อ (Intensity of infection) พยาธิ *Anisakis* sp. ในปลาจวดและปลาจวดหนวด ในตำบลอ่างศิลา จังหวัดชลบุรี

4. เพื่อศึกษาอัตราความชุกของการติดเชื้อ (Prevalence of infection) พยาธิ *Anisakis* sp. ในปลาจวดและปลาจวดหนวด ในตำบลอ่างศิลา จังหวัดชลบุรี

## ขอบเขตของการวิจัย

การศึกษารั้งนี้เป็นการศึกษาการกระจายของพยาธิอะนิชาคิส (*Anisakis* sp.) ในอวัยวะภายในของปลาจวดและปลาจวดหนวด ในตำบลอ่างศิลา จังหวัดชลบุรี ซึ่งทำการศึกษาในระหว่างเดือนเมษายน 2547 ถึงเดือนกรกฎาคม 2548 โดยนำปลาจวดและปลาจวดหนวด ชนิดละ 120 ตัว มาทำการเก็บพยาธิจากอวัยวะภายในของปลา ซึ่งได้แก่ เหงือก กระเพาะอาหาร ลำไส้ ตับ ถุงลม และไข่ แล้วนำพยาธิที่ได้มามาทำสไลด์ถาวร โดยนำมาย้อมสี Semichon's acetic carmine เพื่อทำให้มองเห็นอวัยวะภายในของพยาธิชัดเจน จากนั้นจึงทำการวินิจฉัยจำแนกชนิดของพยาธิ *Anisakis* sp. ขั้นตอนสุดท้ายเป็นการวิเคราะห์ข้อมูลและคำนวณหาปริมาณต์ของพยาธิ *Anisakis* sp. แต่ละชนิดที่พบในปลา เปอร์เซนต์การกระจายตัวของพยาธิในอวัยวะภายในของปลา คำนวณความหนาแน่น และอัตราความชุกของการติดเชื้อพยาธิ *Anisakis* sp. ทั้งในปลาจวดและปลาจวดหนวด

## สถานที่ทำการวิจัย

การศึกษาโครงการนิพัทธ์รั้งนี้ทำการศึกษาที่ห้องปฏิบัติการ MS 407 สาขาวิศวกรรมศาสตร์ คณะวิทยาศาสตร์ มหาวิทยาลัยบูรพา

## ประโยชน์ที่คาดว่าจะได้รับจากการวิจัย

1. เป็นข้อมูลทางด้านระบบวิทยา ซึ่งจะนำไปสู่แนวทางในการป้องกันและควบคุมการติดเชื้อพยาธิ *Anisakis sp.*
2. เป็นประโยชน์ในการวางแผนทำการปะนังและอาชีพที่เกี่ยวข้องกับการเพาะเลี้ยงสัตว์น้ำ
3. สามารถให้ความรู้เกี่ยวกับวงจรชีวิตของพยาธิ *Anisakis sp.* การติดต่อ การควบคุมป้องกันรวมทั้งให้ข้อมูลด้านสุขศึกษาในการรับประทานปลาทะเลแก่ประชาชนได้
4. เป็นฐานข้อมูลที่สำคัญในการศึกษาวิจัยเกี่ยวกับพยาธิ *Anisakis sp.* ในระดับสูงต่อไป
5. ทำเป็นสไลด์การเพื่อให้นิสิตภาควิชาเวชศาสตร์การแพทย์ รวมทั้งนิสิตสาขาวิชานักวิจัยที่เกี่ยวข้องใช้ประกอบการเรียนวิชาปรสิตวิทยาทางการแพทย์ต่อไป

## บทที่ 2

### เอกสารและงานวิจัยที่เกี่ยวข้อง

ลำดับอนุกรมวิธานของพยาธิอะนิชาคิส (*Anisakis* sp.)

Superkingdom : Eukaryota

Kingdom : Animalia

Subkingdom : Metazoa

Phylum : Nematoda

Class : Chromadorea

Order : Ascaridida

Suborder : Ascaridina

Superfamily : Ascaridoidea

Family : Anisakidae

Genus : *Anisakis*

*Pseudoterranova*

*Contracaecum*

#### ประวัติและการกระจายทางภูมิศาสตร์

โรคอะนิชาคิโอซิส (*Anisakiasis*) มีรายงานประปรายจากผู้ป่วยที่มีลักษณะอีโอซิโนฟิลิกแกรนูลoma (eosinophilic granuloma) เกิดขึ้นในกระเพาะอาหารและลำไส้มากกว่า 30 ปีแล้ว จนกระทั่งใน ก.ศ. 1955 ได้พบพยาธิตัวกลมในก้อนเนื้อที่ลำไส้ของผู้ป่วยที่มีอาการปวดท้องและมีอาการไข้ขึ้นมาทันที พยาธิที่พบมีความยาวประมาณ 2 เซนติเมตร (Van Thiel et al, 1960) จากการศึกษาพบว่าคนติดพยาธินี้มาจากการกินปลาเยอร์ริงที่ดิบหรือปลาแซอร์ริงเค็ม ซึ่งในเนื้อปลาตั้งกล่าวมีตัวอ่อนพยาธิระยะที่ 3 ของ *A. simplex* (Van Thiel et al, 1962) ซึ่งปกติพยาธิจะอาศัยอยู่ในอวัยวะภายในตัวปลาแซอร์ริง ปลากอด ปลาอินทรี และปลาชนิดอื่นๆ ซึ่งเป็นโภสต์กึ่งกลางเพื่อให้พยาธินิดนี้อาศัยอยู่บนครัวเรือนชีวิตโดยมีความเกี่ยวข้องกับสัตว์ทะเลที่เลี้ยงลูกด้วยนมชนิดต่างๆ (Van Thiel et al, 1966)

มีการรายงานพยาธิป่วยในแถบญี่ปุ่น เช่น ประเทศเนเธอร์แลนด์ ประเทศนอร์เวย์ และในแถบเอเชียตะวันออกในประเทศไทยซึ่งเป็นตั้งกลุ่มนุกคลที่เป็นโรคที่มักเป็น ผู้ที่นิยมบริโภคปลาทะเลดิบ

## รูปร่างลักษณะและชีววิทยา

ลักษณะโดยทั่วไปของพยาธิในกลุ่ม *Anisakis* sp. เป็นพยาธิตัวกลมขนาดกลาง (ภาพที่ 2-1) รูปร่างเป็นทรงกระบอก มีขนาดประมาณ  $1-2.5 \times 25-35$  มิลลิเมตร ซึ่งพยาธิที่พนส่วนใหญ่มี 3 ชนิด ได้แก่ *A. simplex*, *P. decipiens*, *Contracaecum* sp. (Sithithaworn, 2001)

ตัวอ่อนระยะที่ 3 ของพยาธิ *A. simplex* (L3) มีขนาด  $28.6 \times 2.5$  มิลลิเมตร (Koyama et al, 1969) *P. decipiens* มีขนาด  $34.1 \times 2.5$  มิลลิเมตร (Koyama et al, 1972) *Contracaecum* sp. มีขนาด  $27.6 \times 2.5$  มิลลิเมตร (Ishikura et al, 1993) ซึ่งความยาวของลำตัวของพยาธิ *A. simplex* และ *Contracaecum* sp. จะมีขนาดใกล้เคียงกัน (ตารางที่ 2-1) ส่วนพยาธิ *P. decipiens* มีความยาวกว่าสองชนิดแรก จากการศึกษาโดยใช้กล้องชุลทรรศน์อิเลคตรอนแบบส่องกล้อง พบร้าพยาธิในกลุ่มนี้ทั้ง 3 ชนิดบริเวณส่วนริมฝีปาก (lips) จะแบ่งเป็น 3 ส่วน คือ ส่วนหน้า 2 ส่วน (two ventral) ส่วนหลัง 1 ส่วน (one dorsal) โดยทั้ง 3 ส่วนนี้จะถือมารูปเป็นรูปสามเหลี่ยม (Triangular shape) (Isikura et al, 1989) มี boring tooth อยู่ดีดกับหัวส่วนหลัง (Aihara, 1993) (ภาพที่ 2-2) ลักษณะผิว (cuticle) ของพยาธิ *A. simplex* จะมีผิวทึบบางกว่าพยาธิในกลุ่ม *P. decipiens* และลักษณะการเรียงตัวของร่องผิวพยาธิ *A. simplex* จะมีร่องผิวเรียงตัวไม่เป็นระเบียบ แต่พยาธิ *P. decipiens* จะมีการเรียงตัวของร่องผิวอย่างเป็นระเบียบ (ภาพที่ 2-3)

ระบบทางเดินอาหารของตัวอ่อนระยะที่ 3 ของพยาธิทั้ง 3 ชนิดนี้มีลักษณะที่แตกต่างกันมาก ส่วน ซึ่งสามารถดำเนินการน้ำหนักการน้ำจำแนกชนิดพยาธิออกจากกันได้ (Koyama et al, 1969) ระบบทางเดินอาหารของพยาธิ ประกอบด้วย ปาก (mouth) หลอดอาหาร (esophagus) กระเพาะอาหาร (ventriculus) ลำไส้ (intestine) พยาธิ *A. simplex* จะมีลำไส้ที่ต่อจากส่วน ventriculus ยาวเป็นเส้นตรงตลอดลำตัวจนถึงปลายทาง ซึ่งมีลักษณะที่ต่างจากพยาธิ *P. decipiens* คือ บริเวณลำไส้ที่ต่อมาจาก ventriculus ของพยาธิ *P. decipiens* จะมีลักษณะยาวเป็นเส้นตรงตลอดลำตัวจนถึงปลายทาง และมีส่วนของ intestinal caecum ซึ่งเป็นส่วนที่ยื่นของลำไส้ บริเวณรอยต่อระหว่าง ventriculus และ intestine ข้างบนไปถึงประมาณครึ่งหนึ่งของ ventriculus (Oshima, 1972) (ภาพที่ 2-4) ส่วนลักษณะของพยาธิ *Contracaecum* sp. บริเวณลำไส้ที่ต่อมาจาก ventriculus มีลักษณะยาวเป็นเส้นตรงตลอดลำตัวจนถึงปลายทางเช่นกัน แต่มีลักษณะพิเศษที่แตกต่างจากพยาธิชนิดอื่น คือ มีส่วนยื่นของ intestinal caecum และ ventricular appendix โดยมีลักษณะของ ventriculus ที่เล็กลงแตกต่างจากพยาธิชนิดอื่น (Sithithaworn, 2001)

บริเวณปลายทางของพยาธิในกลุ่ม *Anisakis* sp. จะมีส่วนยื่นที่เรียกว่า mucron ซึ่งเป็นลักษณะที่สำคัญในการใช้จำแนกพยาธิชนิดนี้ออกจากพยาธิในกลุ่มอื่น ซึ่งพยาธิที่มี mucron บริเวณปลายทางได้แก่ พยาธิ *A. simplex*, พยาธิ *P. decipiens* (*Terranova A*) และพยาธิ *Contracaecum A* ส่วนพยาธิที่ไม่มี mucron ได้แก่ พยาธิ *Anisakis type 2*, พยาธิ *P. decipiens* (*terranova B*) และพยาธิ *Contracaecum B* (Sithithaworn, 2001) (ภาพที่ 2-5) โดยตัวอ่อนระยะที่ 3 ของพยาธิ *A. simplex* และ *P. decipiens* ยังไม่มีการพัฒนาของอวัยวะสืบพันธุ์ (Koyama et al, 1969)

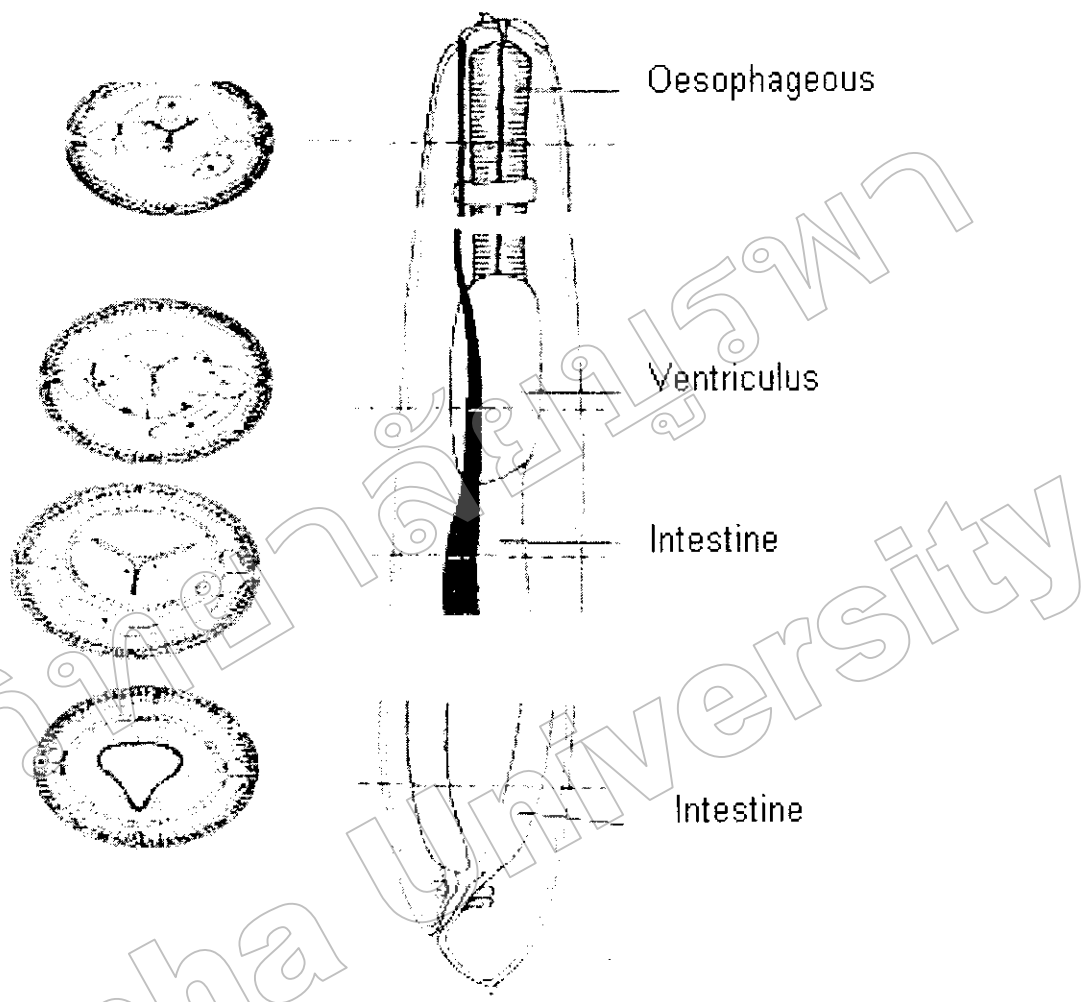
(Sithithaworn, 2001) (ภาพที่ 2-5) โดยตัวอ่อนระยะที่ 3 ของพยาธิ *A. simplex* และ *P. decipiens* ยังไม่มีการพัฒนาของอวัยวะสืบพันธุ์ (Koyama et al, 1969)

ตัวอ่อนระยะที่ 4 ของพยาธิ *A. simplex* มีความยาวเท่ากับตัวอ่อนระยะที่ 3 จากการศึกษาโดยใช้กล้องจุลทรรศน์อิเลคตรอนแบบส่องกล้าด พบร่วมริเวณปากไม่มี boring tooth และ mucron แต่มีริมฝีปาก 3 ส่วนที่เด่นชัด ส่วนของ cuticle เรียงตัวเป็นระเบียบ มี papillae ขนาดเล็ก 1 คู่ที่ cervical area และมี plasmid (chemoreceptor organs) 1 คู่ อยู่ใกล้ posterior end ซึ่งรูปร่างของ ventriculus และ intestine มีการเปลี่ยนแปลง มีการพัฒนาของระบบสืบพันธุ์ในตัวอ่อนที่จะกลายเป็นตัวเต็มวัยเพศเมีย โดยพบว่าตัวอ่อนที่จะกลายไปเป็นตัวเต็มวัยเพศเมีย จะมีการพัฒนาอวัยวะตรงกลางลำตัวประกอบด้วย short vagina, uterus เรือนแบ่งแยก, vulva ยังไม่มีช่องเปิดด้านนอก ส่วนการพัฒนาของระบบสืบพันธุ์ในตัวอ่อนที่จะกลายเป็นตัวเต็มวัยเพศผู้ ไม่สามารถสังเกตเห็นได้ ส่วนตัวอ่อนระยะที่ 4 ของพยาธิ *P. decipiens* มีรูปร่างลักษณะเหมือนตัวอ่อนระยะที่ 4 ของพยาธิ *A. simplex* ส่วนรูปร่างที่มีความแตกต่างจากตัวอ่อนระยะที่ 3 จากการศึกษาโดยใช้กล้องจุลทรรศน์อิเลคตรอนแบบส่องกล้าด คือ การพัฒนาของระบบสืบพันธุ์ในตัวอ่อนที่จะกลายเป็นตัวเต็มวัยเพศผู้ที่สามารถเห็น rudimentary vas deferens และ spicule primodia (Gibson, 1970)

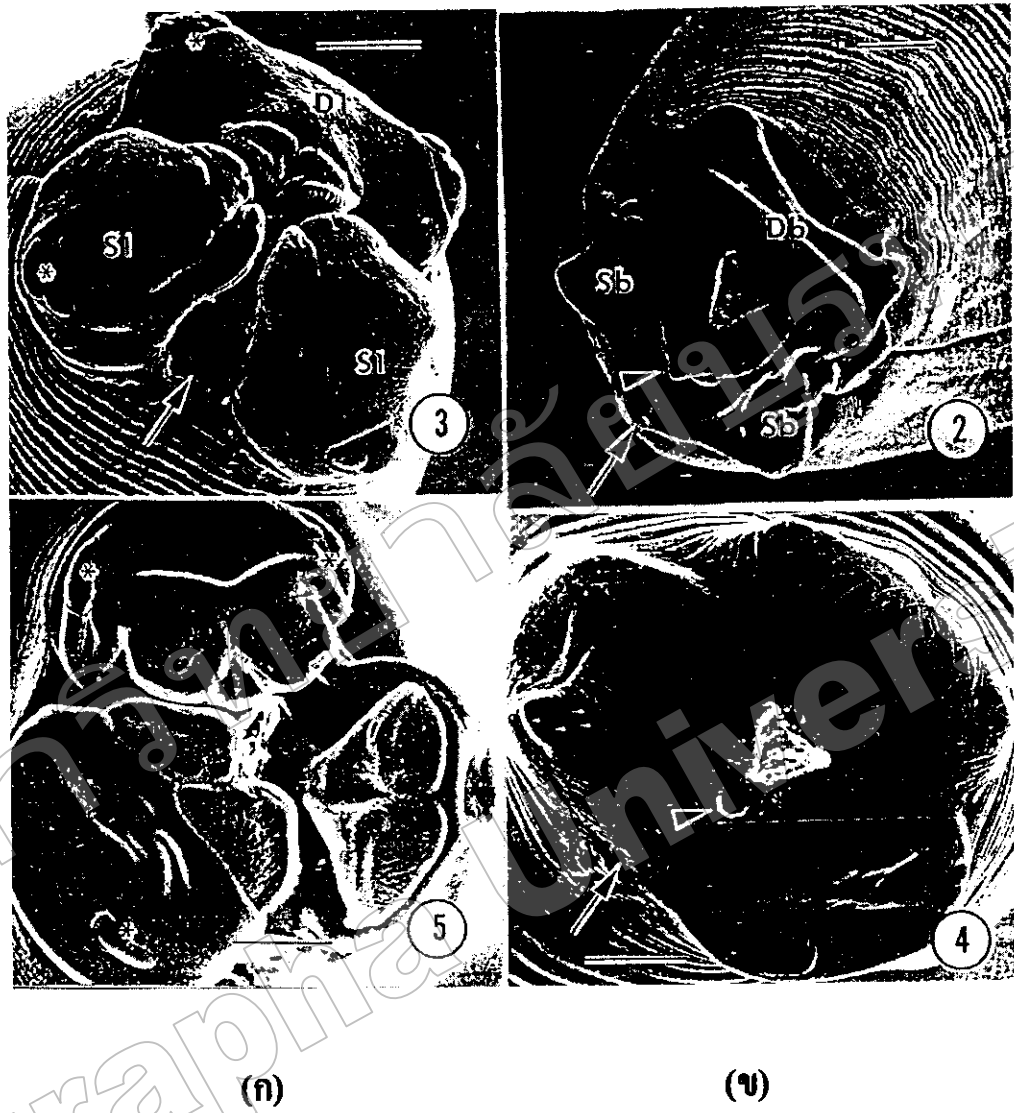
ตัวเต็มวัยของพยาธิในกลุ่ม *Anisakis* sp. มีความยาวประมาณ 7-14 เซนติเมตร จากการศึกษาโดยใช้กล้องจุลทรรศน์อิเลคตรอนแบบส่องกล้าด พบร่วมพยาธิมีริมฝีปาก 3 แรกที่เด่นชัด ตัวเต็มวัยเพศเมียมีปลายหางแหลม ส่วนตัวเต็มวัยเพศผู้มีหางคล้ายรูปกรวย (cone-shape) มี papillae 4 คู่ บริเวณปลายหางด้าน subventral มีช่องเปิดร่วมของท่อขับถ่ายและท่อสืบพันธุ์ซึ่งเรียกว่าโคลอคา (cloaca) (Abollo and Pascual, 2002)

ตารางที่ 2-1 แสดงความแตกต่างของพยาธิในกลุ่ม *Anisakis* sp. (Ishikura et al, 1989)

ข้อมูลของพยาธิ	<i>A. simplex</i>	<i>P. decipiens</i>	<i>Contracaecum</i> sp.
ขนาดของตัวอ่อน ระยะที่ 3	28.6 x 2.5 มิลลิเมตร	34.1 x 2.5 มิลลิเมตร	27.6 x 2.5 มิลลิเมตร
ขนาดของตัวอ่อน ระยะที่ 4	เท่ากับระยะที่ 3	เท่ากับระยะที่ 3	-
Intermediate host	Crustaceans	Crustaceans	Crustaceans
Paratenic host	Marine fishes Cephalopods	Marine fishes Cephalopods	Marine fishes
Definitive host	Marine mammals - dolphin - porpoise - whales	Pinnipeds - seals - sea lion - walruses	Piscivorous birds Mammals



ภาพที่ 2-1 แสดงรูปร่างกายและของตัวอ่อนระยะที่ 3 ของพยาธิ *A. simplex* ที่พนในปลาทะเลที่เป็น paratenic host (Smyth, 1994)



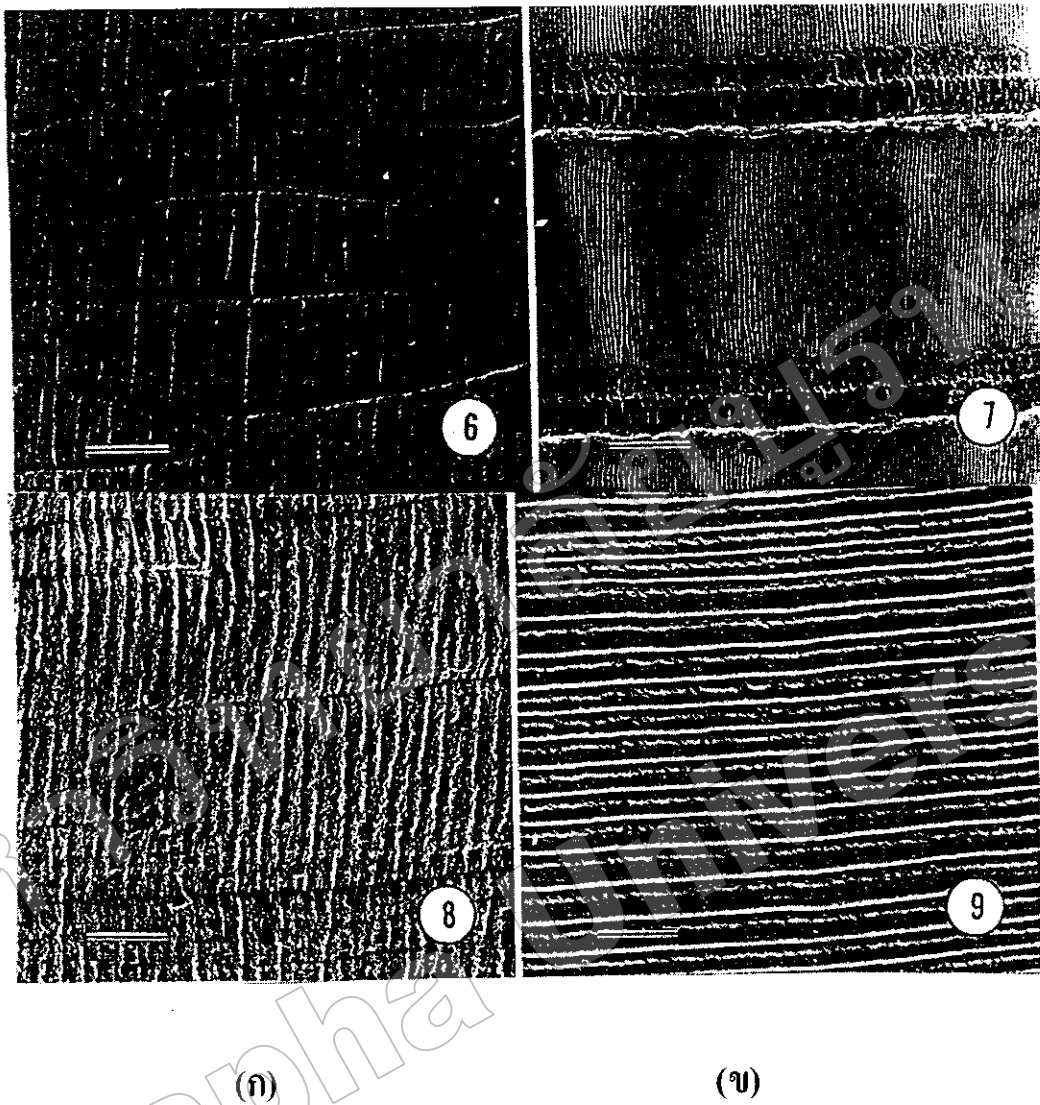
ภาพที่ 2-2 แสดงบริเวณส่วนปากของพยาธิ *A. simplex* และ *P. decipiens* (Ishikura, 1989)

(ก) *A. simplex* (ภาพบน-L3, ภาพล่าง-L4)

(ง) *P. decipiens* (ภาพบน-L3, ภาพล่าง-L4)

Db : dorsal lip bulge, Sb : subventral lip bulge, หัวลูกศร : boring tooth,

ลูกศร : excretory pore

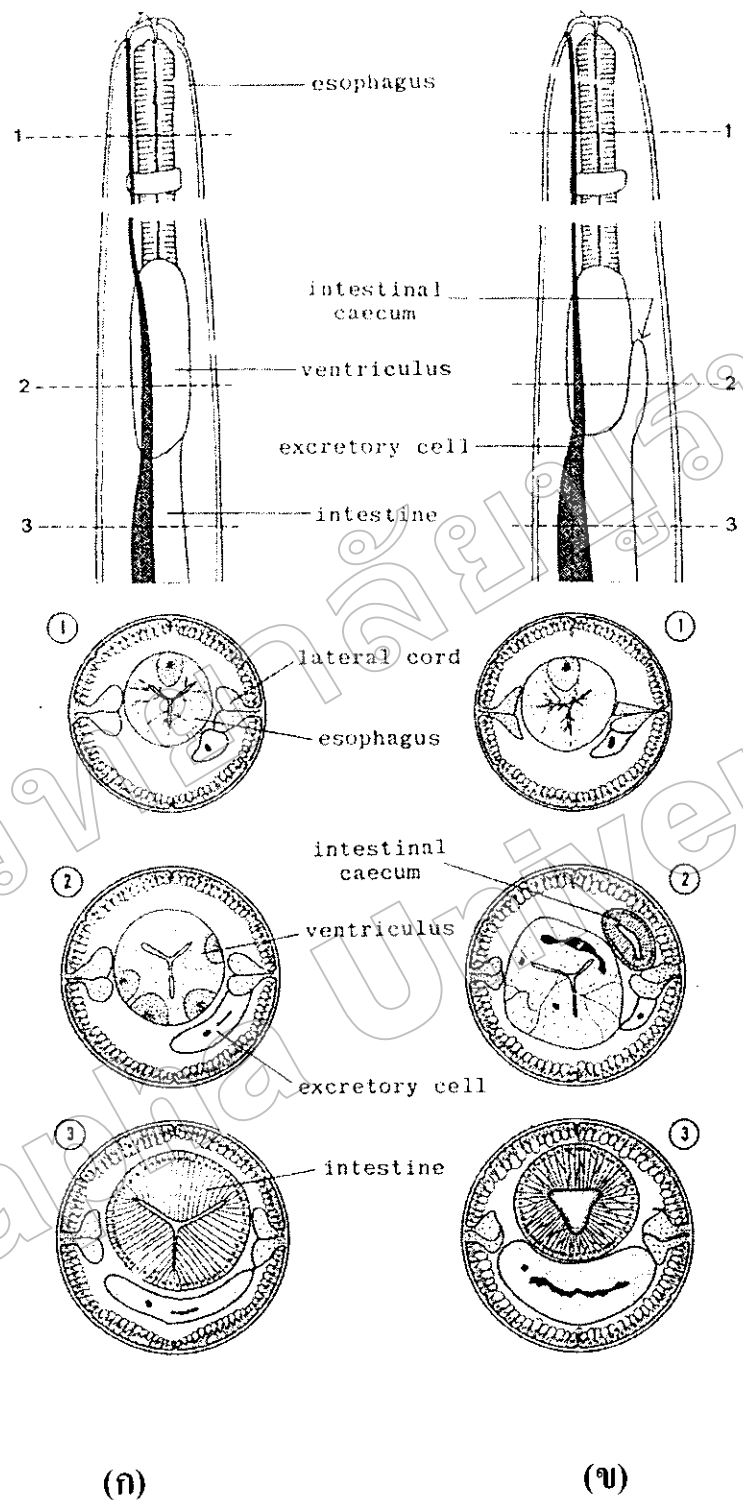


ภาพที่ 2-3 แสดงลักษณะการเรียงตัวของร่องผิวพยาธิ *A. simplex* และ *P. decipiens*

(Ishikura, 1989)

(ก) *A. simplex* (ภาพบน-L3, ภาพล่าง-L4)

(ข) *P. decipiens* (ภาพบน-L3, ภาพล่าง-L4)

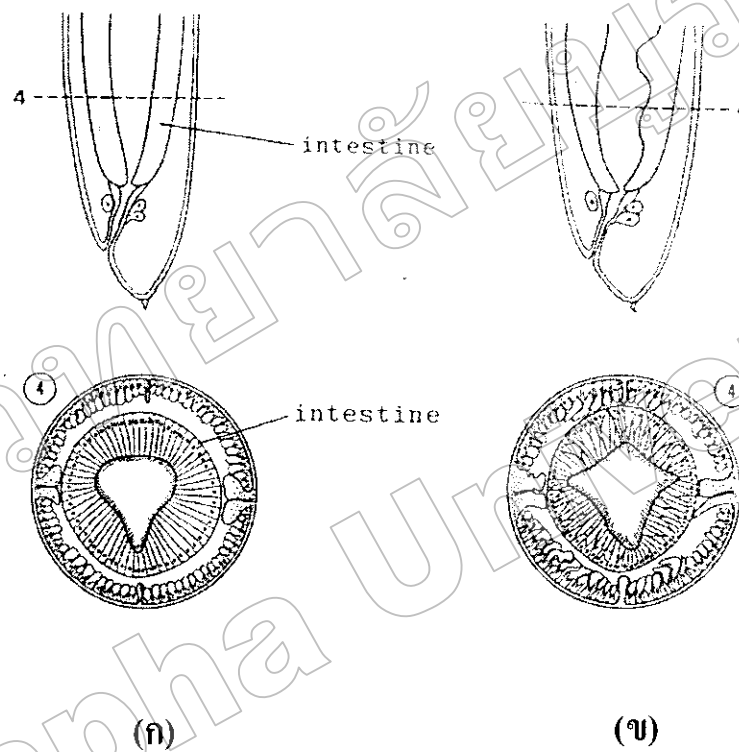


ภาพที่ 2-4 แสดงรูปร่างลักษณะของตัวอ่อนระยะที่ 3 ของพยาธิ *A. simplex* และ *P. decipiens*

(Ishikura, 1989)

(ก) *A. simplex*.

(ง) *P. decipiens*



ภาพที่ 2-5 แสดงรูปร่างลักษณะบริเวณปลายทางของตัวอ่อนระยะที่ 3 พยาธิ *A. simplex*

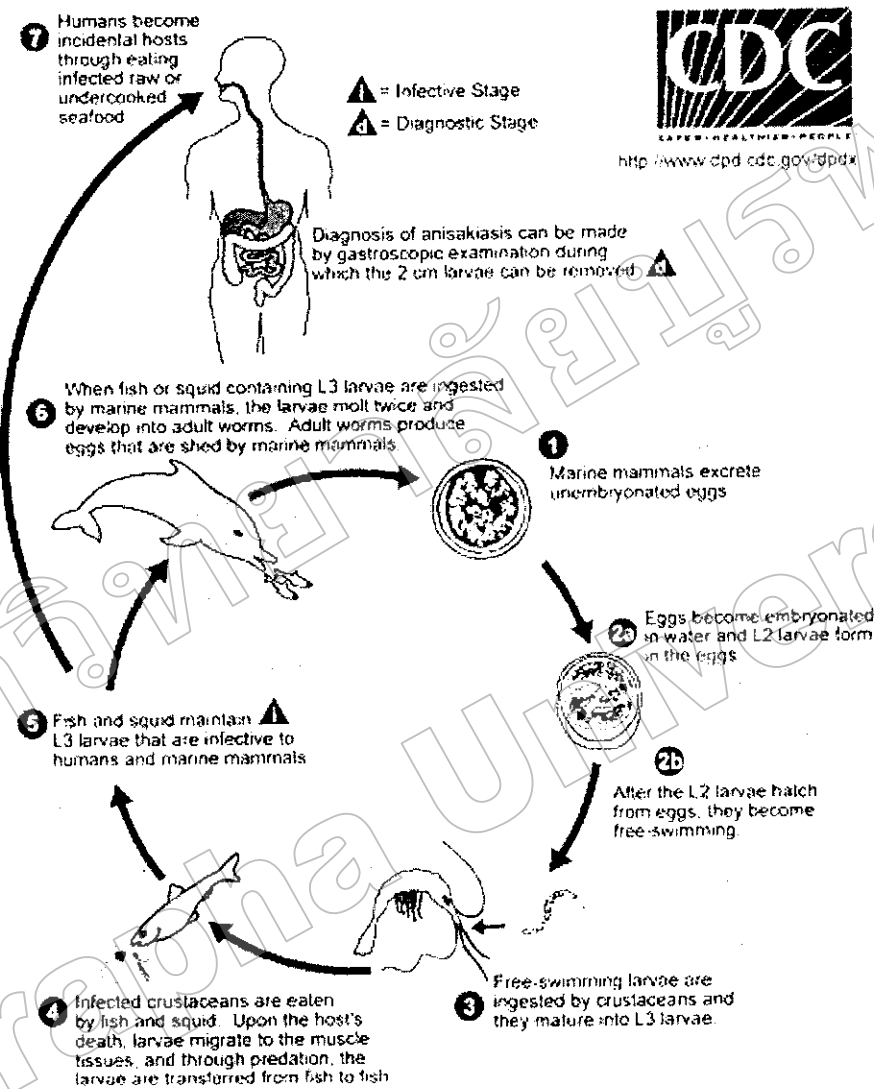
และ *P. decipiens* (Ishikura, 1989)

(ก) *A. simplex*.

(亥) *P. decipiens*

## วงจรชีวิตของพยาธิ

วงจรชีวิตของพยาธิอะนิซากิส (*Anisakis* sp.) (ภาพที่ 2-6) เริ่มจากตัวเต็มวัยของพยาธิซึ่งอาศัยอยู่ในกระเพาะอาหารของสัตว์ทะเลที่เลี้ยงลูกด้วยนม เช่น ปลาواتและปลาโลมา เป็น寄生ต์สุดท้าย โดยจะฝังตัวอยู่ในเยื่อเมือกและเก้าอกลุ่มรวมกัน พยาธิตัวเต็มวัยเพศเมียจะผลิตไข่ออกมานะปนกับอุจจาระของสัตว์ทะเลที่เลี้ยงลูกด้วยนม ไข่พยาธิจะหลอยเป็นอิสระในน้ำทะเล ต่อมาตัวอ่อนระยะ L1 จะพัฒนาขึ้นภายในไข่ และเปลี่ยนแปลงไปเป็นระยะ L2 ซึ่งตัวอ่อนระยะ L2 จะฟิกตัวออกจากไข่ ว่ายน้ำเป็นอิสระในทะเล และจะถูกกินโดยพวยครัสตาเชียน เช่น กุ้ง ปู และไறน้ำ ซึ่งเป็น寄生ต์กึ่งกลาง พบริจาค มีการเจริญพัฒนาจากตัวอ่อนระยะ L2 กลายเป็นตัวอ่อนระยะ L3 ภายใน寄生ต์กึ่งกลาง หลังจากนั้นพวยครัสตาเชียน ที่มีตัวอ่อนพยาธิระยะ L3 จะถูกกินโดยปลาและปลาหมึกซึ่งจัดเป็น寄生ต์สืบท้าให้ในตัวปลาและปลาหมึกมีตัวอ่อนระยะ L3 ซึ่งเป็นตัวอ่อนระยะติดต่ออาศัยอยู่ เมื่อสัตว์ทะเลที่เลี้ยงลูกด้วยนมที่เป็น寄生ต์สุดท้ายมากินปลาและปลาหมึก ตัวอ่อนระยะ L3 จะพัฒนาไปเป็นระยะ L4 และมีการเจริญเป็นตัวเต็มวัยต่อไปในวงจรชีวิต สำหรับคนติดเชื้อพยาธินิคนี้จากการกินปลาทะเลที่ดิบหรือปรุงไม่สุกเป็นอาหาร ทำให้ตัวอ่อนระยะ L3 เข้าไปอยู่ในอวัยวะต่างๆ ของร่างกาย และเนื่องจากคนติดเชื้อเป็น寄生ต์ซึ่งติดเชื้อพยาธิโดยบังเอิญ จึงทำให้ตัวอ่อนระยะ L3 ไม่สามารถเจริญเป็นตัวเต็มวัยได้ แต่จะทำให้เกิดโรค Anisakiasis ซึ่งมีอาการคลื่นไส้ อาเจียน ปวดท้องคล้ายได้ตั้งอันเสบ (Oshima, 1987)



ภาพที่ 2-6 แสดงวงจรชีวิตของพยาธิ *Anisakis* sp. (ที่มา : <http://www.dpd.cdc.gov/dpdx>)

## ระบบวิทยา

โรคอะนิซากิสโซส (Anisakiasis) ที่พบในยุโรปส่วนมากมาจากการกินปลาแอร์ริง (Ashby et al., 1964) พบรู้ปป่วยโรคนี้ในประเทศเนเธอร์แลนด์ ค.ศ. 1963-1967 จำนวน 11 ราย โดยพบเพิ่มขึ้นเรื่อยๆ และอายุที่พนอยู่ระหว่าง 20-39 ปี ส่วนมากพบระยะต้นและหลังคลูจับปลาแอร์ริง ในประเทศญี่ปุ่นพบว่าเกิดจากการกินปลาคอด ปลาอินทรี และปลาหมึกดินฯ ได้มีรายงานการตรวจพบตัวอ่อนของพยาธิอยู่ในช่องห้องและผิวนอกของตับ ในปลาที่นำมาตรวจจากตลาดในกรุงโตเกียว และมีรายงานเกี่ยวกับโรค Anisakiasis ที่เกิดในคนญี่ปุ่น โดยพบว่า 97% เกิดจาก *A. simplex* (Little and Most, 1973 ; Pinkus et al, 1975) และ 3% เกิดจาก *Terranova* type A ตัวอ่อนของ *Anisakis* type I พบรในปลาและปลาหมึก 165 ชนิด และพบ *Terranova* type A ในปลา 7 ชนิด ตัวอ่อนของ *Anisakis* type I ส่วนมากพบอยู่ที่ผิวของ subserosa ของกระเพาะอาหารและลำไส้ของปลาต่างๆ ส่วนในปลาคอด และปลาแซลมอน พบรในกล้ามเนื้อ ซึ่งตัวอ่อนของ *Terranova* ส่วนมากพบในกล้ามเนื้อ (Yamaguchi, 1981) ในประเทศนอร์เวย์พบตัวอ่อนระบาดติดต่อในปลาแอร์ริง ปลาแซลมอน และปลาอินทรี แต่การกินปลาดินไม่เป็นที่นิยมของประชาชน จึงไม่มีรายงานการเกิดโรคในประเทศนี้มากนัก นอกจานนี้ยังพบพยาธิชนิดนี้ในปลาทะเลหลายชนิด ในประเทศต่างๆ เช่น แคนาดา สหรัฐอเมริกา และพวกออสกิโน ซึ่งพยาธิที่พบนั้นมีหลากหลายชนิด สำหรับในประเทศไทย โรค Anisakiasis มีรายงานเพียง 1 รายเท่านั้น (Hemsrichart, 1993) นับว่าเป็นตัวเลขที่น้อยมาก ทั้งๆ ที่คนไทยชอบอาหารประมงและผู้ที่อพยุ嘿-den ชาหยะเหล่านวนมากนิยมบริโภคปลาดินซึ่งทำจากปลาคุโร และปลาอินทรี โดยทำเป็นปลาพล่า

ปลาโลมา เห็น ปลาโลมาสีน้ำเงิน-ขาว (blue-white dolphins) และโลมาปากขาด (porpoise) เป็นໂစດສຸດທ້າຍທີ່ສໍາຄັນຂອງພຍາທີ *Anisakis* sp. ໃນຝຶກທະເລອອງປະເທດญี่ປຸນ ແລະ ໄດ້ມີການตรวจพบວ່າ ปลาທີ່ມີແຜລໃນກະເພາະອາຫາມີພຍາທີມາກວ່າ 100 ຕັວ (Yamaguchi, 1981)

## ພຍາທີກຳເນີດ ພຍາທີສກາພແລະອາກາຣ

ระยะตัวอ่อนของພຍາທີມີບາດປະມາມ 2 ເຊັນຕິເມຕຣ ซັ້ນຈະມີການເຄລື່ອນທີ່ໄປຢັງກະເພາະອາຫາມ ແລະ ລຳໄສ ແຕ່ໄນ້ມີການເຈົ້າຢູ່ເຕີບໂດໄປເປັນຮະບະອື່ນ ຜູ້ປ່າຍສ່ວນໃຫຍ່ຈະມີອາກປວກທັງບໍ່ນາຍ່າງ ຜັບພລັນ ອາກາຣໄຟພບຫັ້ງຈາກທຳການຝ່າຍຕັດໃນຮະບະແຮກ ອາກາຣທີ່ແສດງອອກນາແຕກຕ່າງກັນ ຈິ້ນອູ່ກັນ ນົບວຽກຂອງວ່າຍະທີ່ພຍາທີອາຫັນຈຶ່ງສ່ວນໃຫຍ່ຈະອູ່ນີ້ເວັມກະເພາະອາຫາມແລະ ລຳໄສ ໃນປີ ค.ศ. 1955 ແລະ 1959 ມີຜູ້ປ່າຍ 11 ຮາຍ ທີ່ເກີດໂຄນິ້ນໃນປະເທດນໍາເອົາ ໃນບຣາດັກຜູ້ປ່າຍແລ້ວໆນີ້ມີອາກຮູນແຮງມາກ ແລະ ຕ້ອງຝ່າຍຕັດກາຍໃນ 24 ຂ້າໂມງ ອາກາຣແສດງອອກນາມີກາຮັກເສັນແລະການນົມນ້ຳໃນພັນງລຳໄສ ທຳໄໜ້ ເກີດກວະອຸດຕັນຂອງລຳໄສ ທັງນີ້ເນື່ອງຈາກພຍາທີໄຊເຂົ້າໄປອູ່ລົກນາກໃນພັນງຂອງກະເພາະອາຫາມແລະ ລຳໄສ ທຳໄໜ້ເກີດປົງກົງຢາໄວ ຈາກກາຣທດລອງໃນກະຕ່າຍ ພບຕັວອ່ອນໄຊເຂົ້າໄປໃນກະເພາະອາຫາມ ລຳໄສ ທຳໄໜ້ເກີດປົງກົງຢາໄວ ຈິ້ນເຂົາພະທີ່ ປົງກົງຢານີ້ຈະໄມ້ມີອາກແສດງອອກນາ ຍກເວັນເມື່ອໄດ້ຮັບຕັວອ່ອນຂອງພຍາທີ້

(reinfection) เข้ามาใหม่ โดยมีเซลล์อิโอดิโนฟิลออกามาก (eosinophilic phenomenon) (Van Thiel, 1967) จากการรายงานการพบรอยนี้ครั้งแรกในประเทศไทยในปี พ.ศ. 1965 ได้มีการรายงานเกี่ยวกับโรค Anisakiasis ที่เกิดในคน จากการตรวจวัดภาวะในช่องท้อง พบรด้วอ่อนของพยาธิอยู่ที่กระเพาะอาหาร 4 ราย ลำไส้เล็ก 43 ราย บริเวณอิคลีโอดิโนซีตัล (ileocecal) 4 ราย ลำไส้ใหญ่ 1 ราย (Van Thiel and Van Houten, 1967) จากการศึกษาผู้ป่วยในประเทศไทยปัจจุบันที่มีอาการปวดท้องนาน 4 เดือน จนกระทั่งถึง 10 ปี พบร่วมกับภาวะเสียชีวิตเนื่องจากตัวอ่อนไขทะเลลูม่าอยู่ในช่องท้อง และทำให้เกิดช่องท้องอักเสบ (Yakogawa and Yoshimura, 1967)

## การวินิจฉัย

การวินิจฉัยโรคนี้ทำได้โดยشكประวัติการรับประทานอาหาร และอาการที่เกิดขึ้นกับผู้ป่วย โดยเฉพาะในรายที่มาร้องเรียนอาการปวดท้อง ภายนอกจากการรับประทานอาหารทะเลที่ดิบหรือปรุงไม่สุก วิธีการวินิจฉัยที่นิยมในปัจจุบัน คือ การใช้กล้องส่องกระเพาะ (Gastroscopy) เพื่อตรวจดูพยาธิในช่องท้อง เมื่อพบพยาธิ จะต้องผ่าตัดเพื่อเอาตัวพยาธิออกมาก็จะแน่นอน แล้ววินิจฉัยร่วมกับประวัติและอาการที่เกิดขึ้น ซึ่งจะช่วยให้การวินิจฉัยมีความถูกต้องมากยิ่งขึ้น แต่ส่วนมากจะทราบจากการตัดขึ้นส่วนอวัยวะจากผู้ป่วยหรือผู้ที่ด้วยตัวเองโรคนี้ (Deardorff, 1986)

## การรักษา

ในญี่ปุ่นมีรายงานการใช้การผ่าตัดซึ่งเป็นการช่วยให้เกิดผลดีแก่ผู้ป่วย (Yamaguchi, 1981) ส่วนการรักษา ปัจจุบันมีวิธีเดียวคือการผ่าตัดเอาตัวอ่อนพยาธิออก ซึ่งเป็นวิธีที่ให้ผลการรักษาร้อยละ 100 และยังปลอดภัย เพราะไม่เกิดอันตรายกับคนไข้หลังจากเอาพยาธิออก (Schantz, 1989)

## การป้องกันและการควบคุม

การป้องกันและการควบคุมโรคอะนิชาคิโอดิโนฟิลออกามาก โดยเฉพาะอย่างยิ่งเกี่ยวกับการบริโภคปลาที่สุก เมื่อชาวประมงจับปลามาได้ ควรตัดหัวปลาและเอาลำไส้ออกแล้วจึงแช่เย็น หรือก่อนที่จะบรรจุเป็นอาหารกระป๋อง ซึ่งวิธีนี้จะเป็นการป้องกันตัวอ่อนของพยาธิที่อาจจะมีการไข่จากลำไส้เข้าไปอยู่ในกล้ามเนื้อของปลา ส่วนหัวและลำไส้ของปลาควรต้มให้สุก หรือทำลาย ออย่างทั่งหมดเพื่อจะทำให้พยาธิเจริญครอง不行ได้ และยังสามารถแพร่กระจายสู่โยสถานที่ต่างๆ ได้อีก ตัวอ่อนของพยาธินี้จะตายด้านหน้าไว้ที่อุณหภูมิ -20 องศาเซลเซียส เป็นเวลา 24 ชั่วโมง ซึ่งปลาแซอร์ริงที่เก็บไว้อุณหภูมนี้ คุณภาพและเนื้อปลาไม่ถูกทำลาย แต่ในกรณีเก็บไว้ที่อุณหภูมิ 55 องศาเซลเซียส หรือในน้ำเกลือเข้มข้น 120 กรัมต่อลิตร ตัวอ่อนของพยาธิจะดำรงชีวิตอยู่ได้ 4 วัน และในน้ำเกลืออิ่มตัว ตัวอ่อนของพยาธิจะเป็นอัมพาตในเวลา 1 ชั่วโมง 45 นาที และใน

น้ำเกลือ 180 กรัมต่อลิตร ตัวอ่อนจะตายใน 2.5 ชั่วโมง แต่ในน้ำเกลือ 4% ไม่สามารถฆ่าพยาธิที่อยู่ในเนื้อปลาได้ (Van Thiel et al., 1960)

## งานวิจัยที่เกี่ยวข้องกับการศึกษา

ในภูมิภาคเอเชียตะวันออกเฉียงใต้ มีการรายงานการพบตัวอ่อนของพยาธิ *Anisakis* type 1 และ *Terranova* type B จากปลาทะเลที่จับได้ในประเทศไทยเป็นส์ อินโดนีเซีย และมาเลเซีย แต่ไม่มีการรายงานการติดเชื้อพยาธิชนิดนี้ในคน (Cebrera et. al., 1968) ทำให้ Bhaiubulaya (1981) มีความสนใจทำการศึกษาพยาธิจากปลา โดยทำการตรวจปลาทะเลทั้งหมด 6,624 ตัว (51 ชนิด) ที่จับได้ในอ่าวไทย ระหว่างเดือนมีนาคม-พฤษภาคม (ฤดูร้อน) และช่วงเดือนกรกฎาคม-ตุลาคม (ฤดูฝน) มีตัวอ่อนของพยาธิตัวกลมซึ่งจัดรวมอยู่ในกลุ่มที่เรียกว่า แอกสารอยด์ (ascaroid) (Belding, 1965) หรือแอกสารอยด์ (ascaridoid) (Faust et al., 1970) จากปลา 23 ชนิด จำนวน 232 ตัว แยกเป็นพยาธิได้ 2 ชนิด คือ *Anisakis larvae* type 1 และ *Terranova* type B พบปลา 5 ชนิดที่มีตัวอ่อนพยาธิทั้งสองชนิดอยู่รวมกัน สำหรับตัวอ่อนพยาธิชนิดแรกพบมากในอ่าวไทย และทั้งสองชนิดพบในฤดูร้อนมากกว่าในฤดูฝน ต่อมาใน ก.ศ. 1982 Bhaiubulaya และ Stityathai ได้ทดลองนำเอา *Anisakis larvae* type 1 จากปลาตาหวาน (*Priacanthus tayenus*) จากสะพานปลากรุงเทพฯ มาป้อนให้หนูขาว (*Rattus norvegicus*) จำนวน 32 ตัว โดยป้อนตัวอ่อนพยาธิ 20 ตัวต่อมนูขาว 1 ตัว และฉาบน้ำหนูเป็นรังษะ หลังจากได้รับตัวอ่อนพยาธิในชั่วโมงที่ 3, 4, 5, 6, 8, 12, 18, 24, 30, 36 และวันที่ 2, 3, 4, 5, 6 และ 7 ตามลำดับ ระยะ 2 ตัว และได้ป้อนตัวอ่อนพยาธิ 110 ตัวให้ลิง (*Macaca* sp.) จำนวน 1 ตัว ผลการทดลองพบว่า หนูขาว 10 ตัวมีตัวอ่อนในช่องท้อง ทางเดินลำไส้เล็ก และลำไส้ใหญ่ หลังจากให้หนูขาวกินตัวอ่อน *Anisakis* sp. ไปได้ 24-36 ชั่วโมง ตัวอ่อนที่พนส่วนมากยังมีชีวิตอยู่ มีตัวอ่อนเพียง 2 ตัว ที่ตายหลังให้ตัวอ่อนไป 12 และ 18 ชั่วโมง และมีตัวอ่อน *Anisakis* sp. ที่ใช้นังของกระเพาะอาหาร ลำไส้เล็ก และลำไส้ใหญ่ รวมทั้งพนวานหนู 9 ตัว มีตัวอ่อน 1 ตัวท่านนั้นที่ตาย ส่วนในลิงที่ม่าหลังป้อนตัวอ่อน *Anisakis* ไป 14 ชั่วโมง พนตัวอ่อนพยาธิในลำไส้ 36 ตัว และใช้นังกระเพาะ ลำไส้เล็ก แล้วทะลุออกไปในช่องท้อง 5, 4 และ 3 ตัว ตามลำดับ ซึ่งตัวอ่อนทั้งหมดยังมีชีวิตอยู่

สำหรับประเทศไทยญี่ปุ่น ในปี ก.ศ. 1989 Ishikura ได้ทำการศึกษารูปร่างลักษณะของตัวอ่อนระยะที่ 3 (L3) และตัวอ่อนระยะที่ 4 (L4) ของพยาธิตัวกลมในกลุ่ม *Anisakis* sp. 2 ชนิด คือ *A. simplex* และ *P. decipiens* จากปลาทะเลที่เป็น paratenic host โดยเป็นการศึกษาในระดับกล้องจุลทรรศน์ อิเลคโทรนแบบส่องกล้อง เพื่อศึกษารูปร่างลักษณะของพยาธิดังกล่าว จากการศึกษาในครั้งนี้ทำให้ทราบลักษณะที่ชัดเจนบริเวณส่วนรินฝีปากของพยาธิในกลุ่ม *Anisakis* sp. ซึ่งแบ่งเป็น 3 ส่วน โดยทั้ง 3 ส่วนนี้ถือมารูปเป็นรูปของช่องปาก ทำให้รู้เป็นรูปของช่องปากมีลักษณะคล้ายรูปสามเหลี่ยม และทราบลักษณะการเรียงตัวของ cuticle ที่แตกต่างกันของตัวอ่อนพยาธิแต่ละชนิด รวมถึงทำให้ทราบความแตกต่างระหว่างตัวอ่อนของพยาธิระยะที่ 3 (L3) และ ตัวอ่อนของพยาธิระยะที่ 4 (L4) ในพยาธิชนิด

เดียวกัน นอกจากรายบันทึกทราบว่าตัวอ่อนของพยาธิระยะที่ 3 (L3) ของ *A. simplex* จะมีส่วนยื่นบริเวณปลายหาง ที่เรียกว่า mucron ซึ่งในตัวอ่อนของพยาธิระยะที่ 4 (L4) ไม่มี mucron ต่อมาในปี ก.ศ. 1999 Rosales ได้ทำการศึกษาตัวอ่อนระยะที่ 4 ของพยาธิ *A. simplex* ที่นำมาจากผู้ป่วยโรค Acute intestinal Anisakiasis เพศหญิง ชาวสเปน สาเหตุเกิดจากการรับประทานปลาดิบ จากการศึกษาพบว่า พยาธิสามารถเปลี่ยนระยะจากตัวอ่อนระยะที่ 3 (L3) ไปเป็นตัวอ่อนระยะที่ 4 (L4) ได้ในคน และทำให้ทราบถึงข้อมูลการระบาดของพยาธิ *Anisakis* sp. ในประเทศไทยเป็นชั้นทึ่งหมวด 8 ราย โดยรายแรกป่วยเป็น gastric anisakiasis อีกสี่รายป่วยเป็น intestinal anisakiasis อีกสองรายป่วยเป็น Ectopic anisakiasis และรายสุดท้ายป่วยเป็น gastric pseudoterranovosis (Arenal et al., 1991) ในปี ก.ศ. 2001 Abello และคณะผู้วิจัยจากประเทศไทยได้ทำการศึกษาการติดเชื้อพยาธิ *Anisakis* sp. ในปลาทะเลและสัตว์ทะเลเดตระกุลปลาหมึกที่ชาวประมงจับได้บริเวณชายฝั่งทะเล Galician ซึ่งเป็นเขตเศรษฐกิจในการประมงและการส่งออกที่สำคัญของประเทศไทยเป็น โดยได้ทำการศึกษาในกลุ่มตัวอย่างทั้งหมด 2,673 ตัว ประกอบด้วยปลาทะเล 28 ชนิด จำนวน 988 ตัว และสัตว์ทะเลเดตระกุลปลาหมึก 7 ชนิด จำนวน 1,685 ตัว การตรวจหาตัวอ่อนพยาธิ *Anisakis* sp. ในครั้งนี้ทำโดยการย้อมอวัยวะภายในและกลั่นเนื้อของปลาทะเล และสัตว์ทะเลเดตระกุลปลาหมึก จากนั้นทำการจำแนกชนิดของตัวอ่อนพยาธิทั้งหมดภายใต้กล้องจุลทรรศน์แบบใช้แสง และทำการตรวจสอบยืนยันโดยวิธี Multilocous electrophoresis (Mattiucci et al., 1997) จากการศึกษาในครั้งนี้ทำให้ทราบว่าพยาธิที่พบเป็นตัวอ่อนระยะที่ 3 (L3) ทั้งหมดของพยาธิในกลุ่ม *Anisakis* sp. ซึ่งประกอบด้วยพยาธิ *A. simplex* และพยาธิ *A. pegreffii* โดยพยาธิที่พบส่วนมากจะดูเป็น cyst อยู่ในอวัยวะภายใน และนอกจากนี้ยังพบพยาธิอาศัยอยู่ในเนื้อของปลาทะเลและสัตว์ทะเลเดตระกุลปลาหมึกบางชนิดอีกด้วย ซึ่งอวัยวะที่พยาธิเข้าไปอาศัยอยู่ในตัวปลา มากที่สุดคือลำไส้ รองลงมาคือตับ กระเพาะอาหาร ส่วนในสัตว์ทะเลเดตระกุลปลาหมึกพบพยาธิเข้าไปอาศัยอยู่มากที่สุดคือกระเพาะอาหาร โดยความหนาแน่นเฉลี่ยของการติดเชื้อพยาธิในปลาเท่ากับ 1-22 ตัวต่อปลา 1 ตัว ส่วนในปลาหมึกมีความหนาแน่นเฉลี่ยของการติดเชื้อพยาธิเท่ากับ 1-22 ตัวต่อปลาหมึก 1 ตัว ซึ่งเป็นค่าความหนาแน่นที่เท่ากับในปลา ส่วนอัตราความชุกของการติดเชื้อพยาธิในปลาเท่ากับ 100% และอัตราความชุกของการติดเชื้อพยาธิในสัตว์ทะเลเดตระกุลปลาหมึกเท่ากับ 23-45% ทำให้ทราบว่า การติดเชื้อพยาธิ *Anisakis* sp. ในปลาทะเลและสัตว์ทะเลเดตระกุลปลาหมึก มีความเกี่ยวข้องกับอาหารที่โภ受益กิน และระบบภูมิคุ้มกันในกระเพาะของพยาธิ *Anisakis* sp. ในบริเวณพื้นที่ที่ทำการสำรวจ

Sithithaworn (2001) ได้ทำการศึกษาและจำแนกชนิดของพยาธิชนิดต่างๆ ในปลาทะเลที่นำมาจากແคนชาญฝั่งทะเลของประเทศไทยฯ ทำการศึกษาร่วมนี้ทำให้ทราบชนิดของพยาธิที่อาศัยอยู่ในปลาทะเลແคนชาญฝั่งประเทศไทยฯ ได้แก่ พยาธิ *A. simplex*, *P. decipiens*, *Contracaecum* sp., *Gnathostoma* sp. (พยาธิตัวจี๊ด), พยาธิใบไม้ตับ, พยาธิใบไม้ลำไส้ เป็นต้น

## บทที่ 3

### วัสดุอุปกรณ์และวิธีดำเนินการวิจัย

#### วัสดุอุปกรณ์

1. กล้องโฟน
2. ไม้บรรทัด
3. เครื่องชั่ง
4. กระดาษ label
5. มีด
6. กรรไกร
7. ปากคีบ (forcep)
8. ระบบอุกตุณ
9. บีกเกอร์
10. ขวดแก้วเก็บตัวอย่างมีฝาปิด (vial)
11. หลอดหยอด
12. กระดาษกรอง
13. งานแพะเชือ
14. พู่กัน
15. กระดาษสไลด์ (glass slide)
16. กระดาษปิดสไลด์ (cover slip)
17. ผ้าถุง
18. กล้อง stereomicroscope (Stereomicroscope)
19. กล้องจุลทรรศน์แบบใช้แสง (Light microscope)

#### สารเคมี

1. Pepsin solution
2. 0.85% sodium chloride
3. 70% 80% 95% และ 100% alcohol
4. carmine powder
5. glacial acetic acid
6. 1% hydrochloric acid

7. Formalin
8. Xylene
9. น้ำยา permount

## ปลาที่ใช้ในการศึกษา

1. ปลาจวด (*Johnius carouna*)
2. ปลาจวดหนวด (*Dendrophysa russelli*)

## วิธีการดำเนินการวิจัย

### 1. การเก็บพยาน

นำปลาทะเล 2 ชนิด คือ ปลาจวด (*Johnius carouna*) (ภาพที่ 3-1) และปลาจวดหนวด (*Dendrophysa russelli*) (ภาพที่ 3-2) ชนิดละ 120 ตัว จากคำนับอ่างศีลา จังหวัดชลบุรี ใส่ในกล่องโฟม (พื้นที่ห้ามเข้าบรรจุอยู่) แล้วขนส่งมาห้องปฏิบัติการ จากนั้นทำการเก็บข้อมูลทั่วไปของปลา โดยเริ่มจาก หั้งน้ำหนักปลาแต่ละตัว (หน่วยกรัม) วัดความยาวและความกว้างของปลาแต่ละตัว (หน่วยเซนติเมตร) แล้วหั้งบันทึกค่าที่ได้ จากนั้นผ่าห้องปลาเพื่อแยกเอาอวัยวะภายในแต่ละส่วน ซึ่งได้แก่ เนื้อเยื่ากระเพาะอาหาร ถ้าไส้ตับ และถุงลมออกมา (กรณีที่ปลาไม่ไข่ ต้องทำการตรวจคุณภาพไข่ด้วย) โดยแยกอวัยวะแต่ละส่วนใส่ในงานเพาะเชื้อ และทำการย่อห้องอวัยวะโดยใช้ในสารละลาย Pepsin เพื่อให้พยาธิออกมายได้จ่ายชั้น (ภาพที่ 3-3) จากนั้นตรวจคุณภาพไข่ได้ก็ล้องสเตอริโอลมิโครสโคป (ภาพที่ 3-4) เก็บรักษาตัวอย่างพยาธิที่พบในปลาแต่ละตัวและแต่ละอวัยวะใส่ในขวดแก้วมีฝาปิดที่ภายในบรรจุ 70% แอลกอฮอล์ ทำเช่นเดียวกันนี้จนครบจำนวนปลาที่นำมาศึกษา

### 2. การทำสไลด์วาร์

2.1 การย้อมสีพยาธิ (staining) นำพยาธิที่เก็บรักษาใน 70% Ethyl alcohol มาขึ้นสี โดยนำพยาธิไปแช่ใน Semichon's acetic carmine ตั้งทึ่ไว้นาน 1-2 ชั่วโมง แล้วนำมาแช่ใน 70% แอลกอฮอล์ 30 นาที จากนั้นทำการล้างสีส่วนเกินออก (decolorize หรือ destain) โดยแช่ใน 1% acid alcohol จนกระทั่งตัวพยาธิเป็นสีชมพูหรือสามารถมองเห็นอวัยวะภายในของพยาธิได้ชัดเจนเมื่อตรวจคุณภาพพยาธิ ด้วยกล้องสเตอริโอลมิโครสโคปซึ่งเวลาที่ใช้ในการ destain จะแตกต่างกันไป ขึ้นอยู่กับความเข้มของ การติดสีของพยาธิ ต้องหยุด destain เมื่อเนื้อเยื่อของพยาธิมีสีชมพูอ่อน แต่อวัยวะที่ทึบแสงของพยาธิ เช่น Uterus จะยังคงมีสีเข้ม ซึ่งการติดสีเช่นนี้จะทำให้มองเห็นรายละเอียดในอวัยวะต่างๆ ของพยาธิได้อย่างชัดเจน

2.2 การดึงน้ำออกจากตัวพยาธิ และการทำให้ตัวพยาธิใส (dehydration and clearing) โดยนำตัวพยาธิมาแช่ในแอลกอฮอล์ขึ้น 70% นาน 30 นาที 80% 95% และ 100% อย่างละ 15 นาที

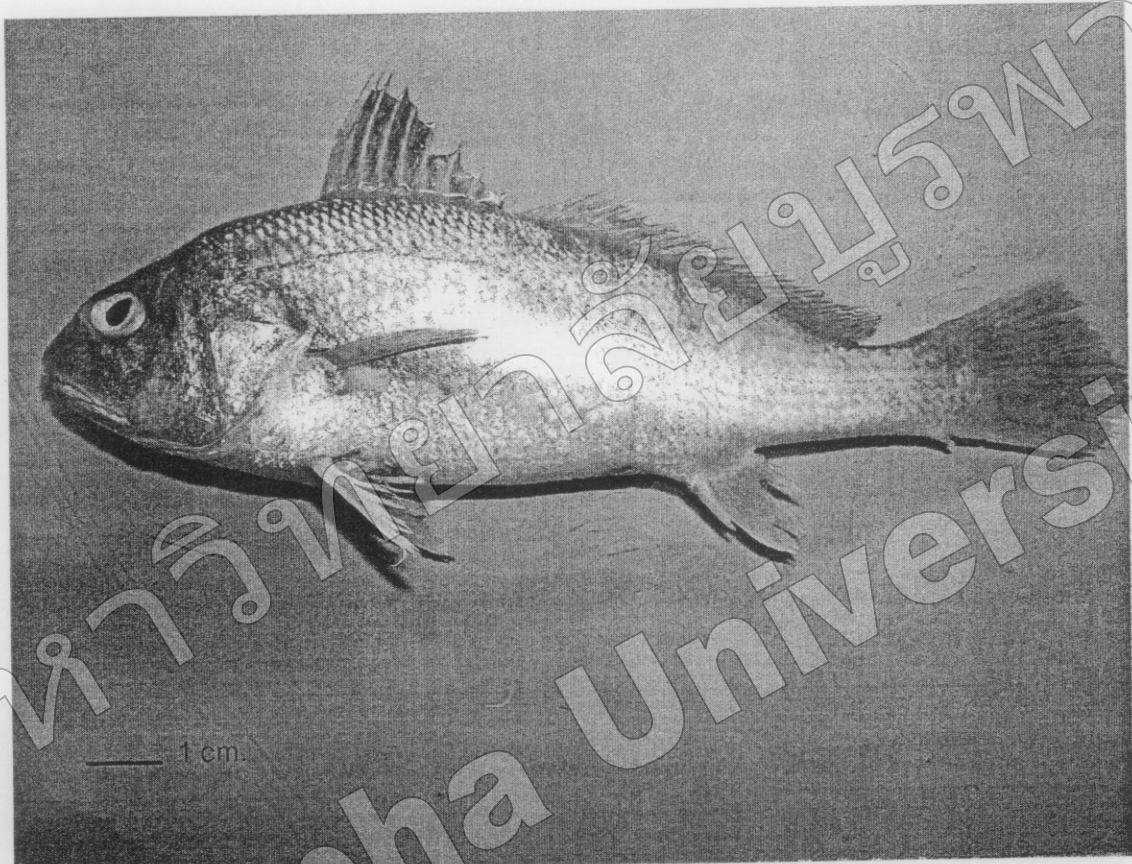
ตามลำดับ จากนั้นนำตัวพยาธิมาแช่ใน 100% แอลกอฮอล์ซึ่งผสมกับ Xylene อัตราส่วนเท่าๆ กันนาน 15 นาที และสุดท้ายนำมาแช่ใน Xylene 15 นาที

2.3 การ mount พยาธิ (mounting) โดยหยดน้ำยา permount ลงบนกระดาษไอล์ฟแล้วนำพยาธิมาวางบนน้ำยา permount จักรูปร่างให้เหมาะสม แล้วจึงปิด coverslip ปล่อยตั้งทิ้งไว้ที่อุณหภูมิห้องจนแห้งสนิท จากนั้นกำจัดน้ำยา permount ที่เปื้อนอยู่โดยใช้ผ้ากือซชูบ Xylene แล้วเช็ดจนกระหัง permount ที่เปื้อนอยู่หมดไป แล้วเก็บรักษาใส่ไอล์ฟยาธิในกล่องที่ปิดสนิทและให้ห่างจากความร้อนและแสงแดด

มหาวิทยาลัยบูรพา  
Burapha University

ปี๘๖.  
๒๕๔๗  
๒๕๔๙

1023



ภาพที่ 3-1 แสดงปลาจัว (Johnius carouna)

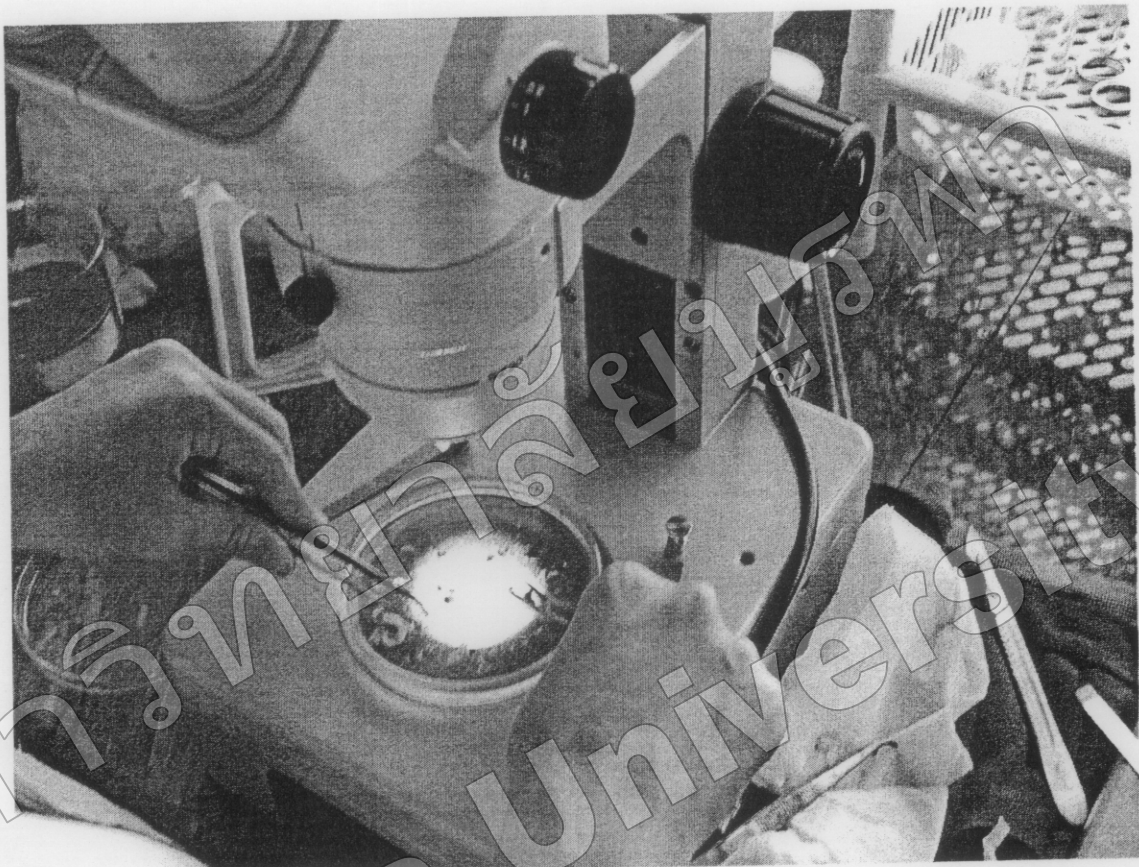


ภาพที่ 3-2 แสดงปลาจวคนวด (*Dendrophysa russelli*)



ภาพที่ 3-3 แสดงอวัยวะภายในของปลาจาดและปลาจวดหัวที่นำมาศึกษา

- |               |             |
|---------------|-------------|
| (ก) : เหงือก  | (ຈ) : ลำไส้ |
| (ข) : ตับ     | (ຈ) : ถุงลม |
| (ค) : กระเพาะ | (ນ) : ไข่   |



ภาพที่ 3-4 แสดงการตรวจดูพยาธิโดยกล้องสเตอริโอลไมโครสโคป

### 3. การวินิจฉัยจำแนกชนิดของพยาธิ

การจำแนกชนิดของตัวอ่อนพยาธิ *Anisakis* sp. โดยนำมาตรวจภายใต้กล้องจุลทรรศน์แบบใช้แสง อาศัยข้อมูลและรูปภาพ จากหนังสือและตำราต่อไปนี้

1. ข้อมูลและรูปภาพการศึกษาพยาธิโดยกล้องจุลทรรศน์แบบใช้แสง จากงานวิจัยหัวข้อ

Morphological and taxonomical studies on Anisakidae larvae found in marine fishes and squid.  
หน้า 466-487 (Koyama et al., 1969)

2. ข้อมูลและรูปภาพการศึกษาพยาธิโดยกล้องจุลทรรศน์แบบไฟแสลง จากงานวิจัยหัวข้อ

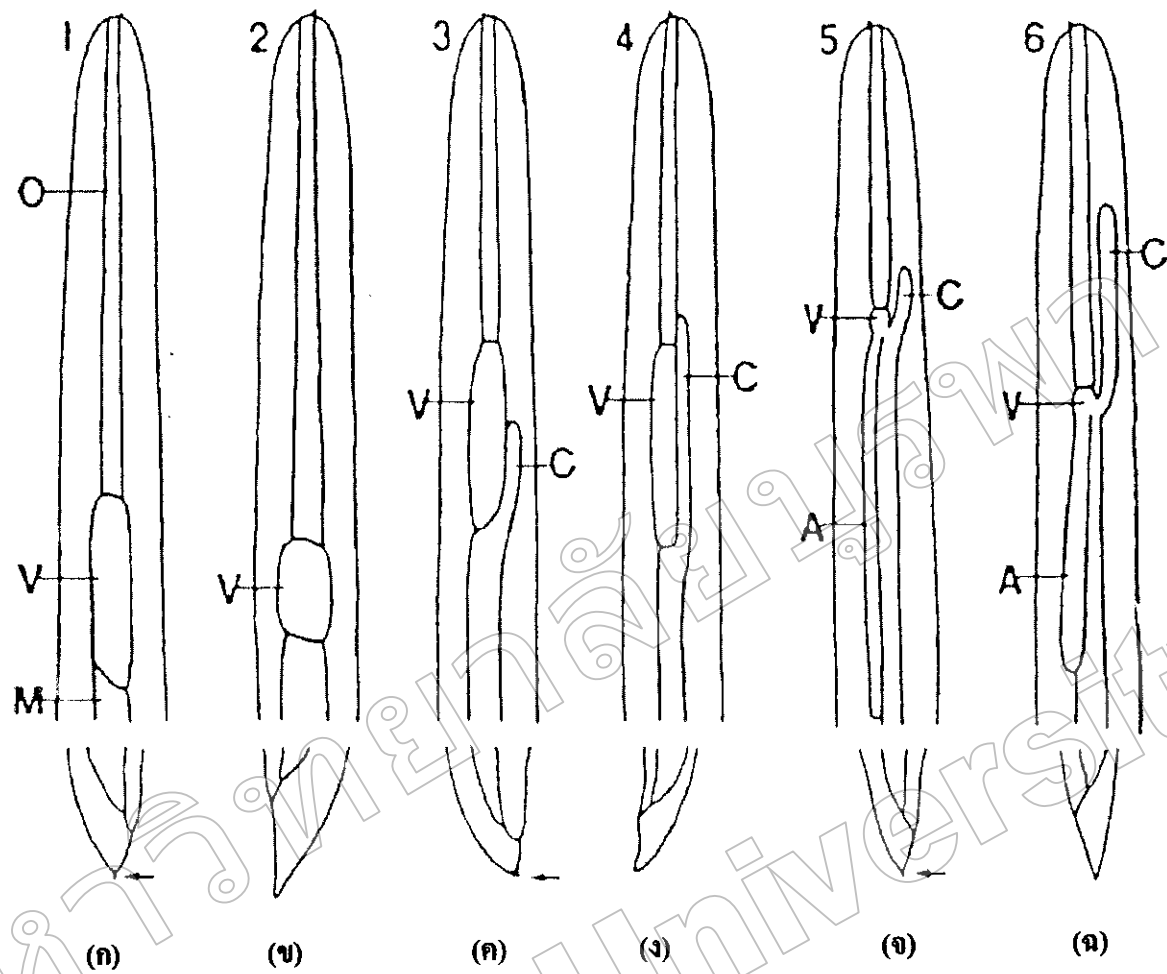
Laboratory manual for detection and Identification of parasite fishery products prepared for FAO and Export quantity control laboratory. หน้า 15-18 (Sithithaworn, 2001)

3. ข้อมูลและรูปภาพการศึกษาพยาธิโดยกล้องจุลทรรศน์อิเลคทรอนแบบส่องกราด จากการวิจัย  
หัวข้อ SEM study of *A. brevispiculata* and *P. ceticola* parasites of the pygmy sperm whale  
*Kogia breviceps*. (Abollo and Pascual, 2002)

4. ข้อมูลและรูปภาพหลักการจัดจำแนกที่เกี่ยวข้องกับชีวิทยา สรีรวิทยา และพฤติกรรมของหนอนด้วกดู (Lee, 1965 ; Crofton, 1966 and Croll, 1970)

ဂုဏ္ဍ (Key) သိမ်းချင်ရန်အတွက် အမြန်ဆုံး ပေါ်လောက်မှု အမျိုးအစား *Anisakis* sp. (Koyama et al., 1969 ; Sithithaworn, 2001)

1. Cylindrical shape, no head bulb, no probosis
2. Larval stage (no genital organ development )
3. Boring tooth seen at the head
4. Intestinal caecum absent
  - 4.1 Mucron present.....*Anisakis simplex* (*Anisakis* Type I)
  - 4.2 Mucron absent.....*Anisakis* Type II
5. Intestinal caecum present
  - 5.1 Ventricular appendix present
    - 5.1.1 Long appendix / Short caecum.....*Contraecaecum* A
    - 5.1.2 Short appendix / Long caecum.....*Contraecaecum* B
  - 5.2 Ventricular appendix absent
    - 5.2.1 Mucron present.....*Terranova* A (*P. decipiens*)
    - 5.2.2 Mucron absent.....*Terranova* B



ภาพที่ 3-5 แสดงรูปร่างลักษณะตัวอ่อนระยะที่ 3 ของพยาธิ *Anisakis* sp. หัวลูกศร : mucron.

(ก) *A. simplex*

(ข) *Anisakis* type II

(ค) *P. decipiens*

(ง) *Terranova* B

(จ) *Contracaecum* A

(ฉ) *Contracaecum* B

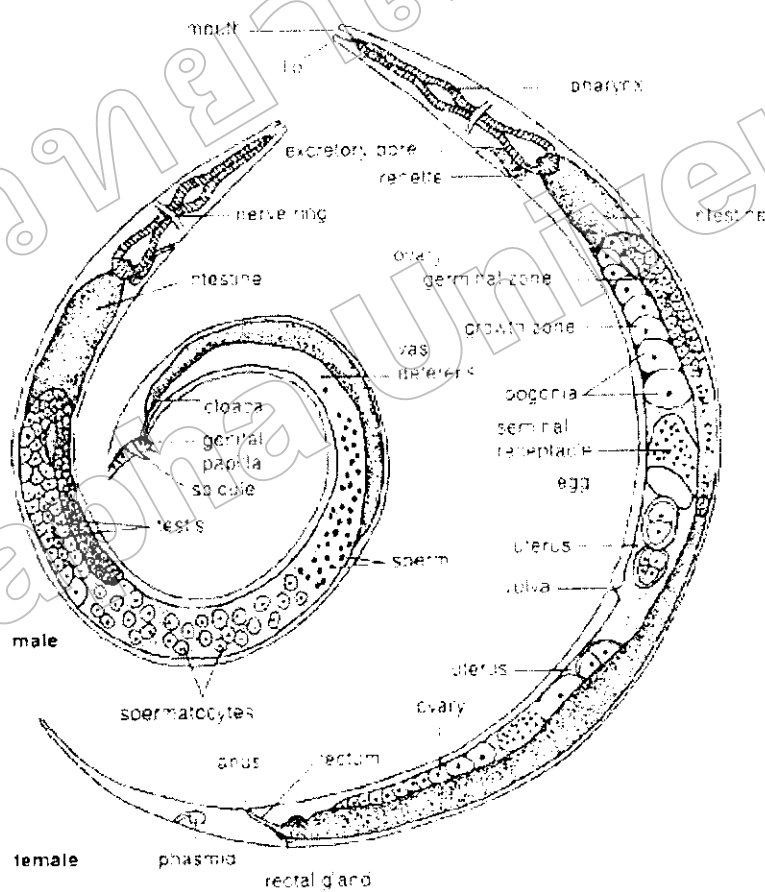
O = esophagus, V= ventriculus, M= midgut, C= intestinal caecum,

A = ventricular appendix. (Koyama et al., 1969 : Sithithaworn , 2001)

Phylum Nematoda (Lee, 1965; Crofton, 1966 and Croll, 1970)

### ลักษณะทั่วไปของหนอนตัวกลม

- รูปร่างเป็นทรงกระบอก (cylindrical shaped)
- ลำด้าขาวหัวท้ายเรียบ
- ไม่มีข้อหรือปล้อง สมมาตร (symmetry)
- มีช่องว่างในลำตัวเป็นชนิด Pseudocoelom
- มีทางเดินอาหารที่สมบูรณ์ ประกอบด้วย ริมฝีปาก ช่องปาก หลอดอาหาร ลำไส้ ทวารหนัก
- Dioecious ตัวผู้ตัวเมียแยกเพศกัน
- Adult มีความยาวตั้งแต่ 1-2 มิลลิเมตร และอาจยาวมากกว่า 1 เมตร
- ผนังลำตัวประกอบด้วย cuticle



ภาพที่ 3-6 แสดงโครงสร้างภายในของหนอนตัวกลมเพศผู้และเพศเมีย (Lee, 1965; Crofton, 1966 and Croll, 1970)

## สรุปขั้นตอนการศึกษาในห้องปฏิบัติการ

### ๑ การเก็บพยาธิ

ศักดิ์เลือกปลาจากคำบล้อ่งศิลป์ จังหวัดชลบุรี ขนส่งมายังห้องปฏิบัติการ



ซึ่งนำเนื้อ วัดความยาวและความกว้างของปลา



ผ่าห้องปลา แยกอวัยวะภายในแต่ละส่วนออกมานำ



บ่องอวัยวะโดยแยกในสารละลาย Pepsin



ตรวจดูพยาธิภายในได้ก้อนสเตอริโอล์ในกรีสโคป



เก็บตัวอย่างพยาธิในขวดเก็บตัวอย่าง (70% Ethyl alcohol)

### ๒ การวินิจฉัยจำแนกชนิดของพยาธิ

ย้อมพยาธิด้วยสี Semichon's acetic carmine



ตรวจแยกชนิดของพยาธิ Anisakis sp. ภายใต้ LM

อาศัยข้อมูลและรูปภาพจากหนังสือและตำราที่เกี่ยวข้อง

#### 4. การวิเคราะห์ข้อมูล

คำนวณหาเปอร์เซนต์ของพยาธิ *Anisakis* sp. แต่ละชนิดที่พบในปลา เปอร์เซนต์การกระจายตัวของพยาธิ *Anisakis* sp. ในอวัยวะภายในของปลา คำนวณความหนาแน่น และอัตราความชุกของการติดเชื้อพยาธิ *Anisakis* sp. ทั้งในปลาจวด (*Johnius carouna*) และปลาจาดหนวด (*Dendrophysa russelli*)

สูตรที่ใช้ในการคำนวณ

1. เปอร์เซนต์ของพยาธิในปลา =  $(\text{จำนวนพยาธิแต่ละชนิดที่พบในปลา} / \text{จำนวนพยาธิในก้อนทั้งหมดในปลา}) \times 100$

2. เปอร์เซนต์การกระจายของพยาธิในอวัยวะภายในของปลา =  $(\text{จำนวนพยาธิแต่ละชนิดที่พบในอวัยวะต่างๆ ของปลา} / \text{จำนวนพยาธิในก้อนทั้งหมดในปลา}) \times 100$

3. ความหนาแน่นของการติดเชื้อพยาธิในปลา =  $\text{จำนวนพยาธิแต่ละชนิดในปลา} / \text{จำนวนปลาที่มีพยาธิชนิดนั้นๆ}$

4. อัตราความชุกของการติดเชื้อพยาธิในปลา =  $(\text{จำนวนปลาที่มีพยาธิแต่ละชนิด} / \text{จำนวนปลาทั้งหมดที่สำรวจ}) \times 100$

**ตารางที่ 4-1** แสดงเปอร์เซนต์ของพยาธิที่พบในปลาจวบ

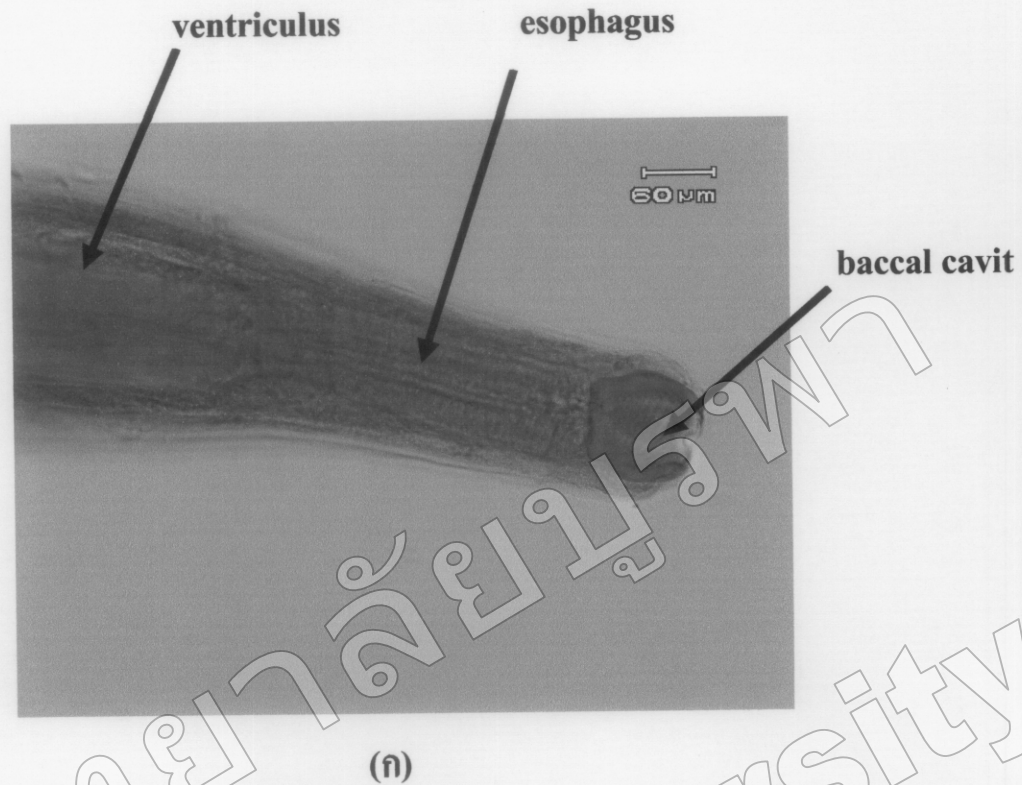
พยาธิ	จำนวนพยาธิที่พบ (ตัว)	เปอร์เซนต์ (%)
เพศผู้	7	7.69
เพศเมีย	84	92.31
รวม	91	100

**ตารางที่ 4-2** แสดงเปอร์เซนต์ของพยาธิที่พบในปลาจวนวด

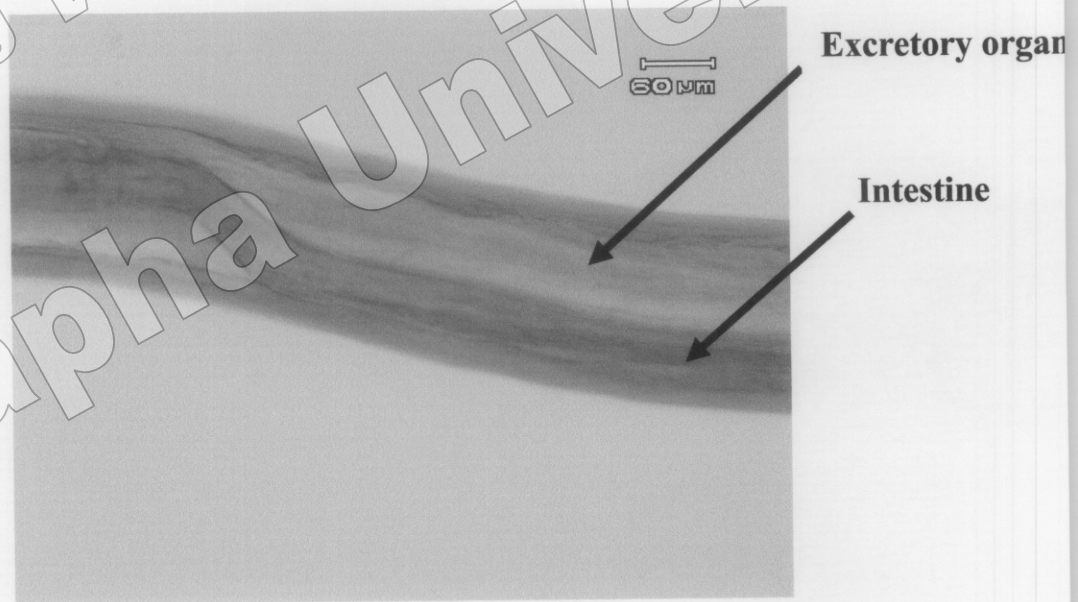
พยาธิ	จำนวนพยาธิที่พบ (ตัว)	เปอร์เซนต์ (%)
เพศผู้	67	16.54
เพศเมีย	338	83.46
รวม	405	100



ภาพที่ 4-1 แสดงพยาธิในกลุ่ม *Anisakis* sp. ที่พบในปลาจวดและปลาจวดหนวด



(ก)



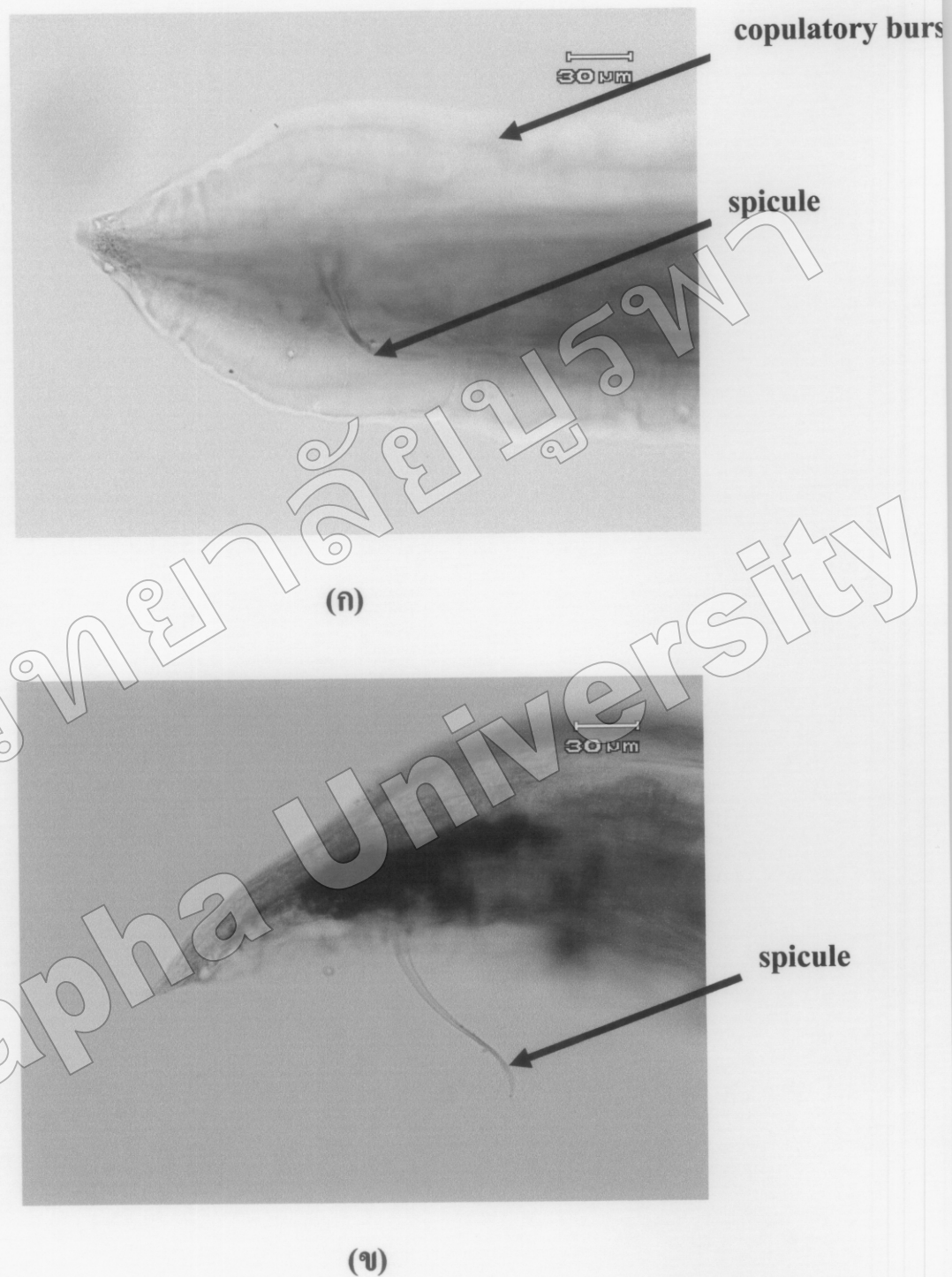
(ข)

ภาพที่ 4-2 ลักษณะของพยาธิระยะตัวเต็มวัยที่มีลักษณะคล้ายพยาธิในกลุ่ม *Anisakis* sp. เพศผู้

ป้อมด้วบสี carmine

(ก) แสดงส่วนหัวของพยาธิ

(ข) แสดงส่วนลำตัวของพยาธิ

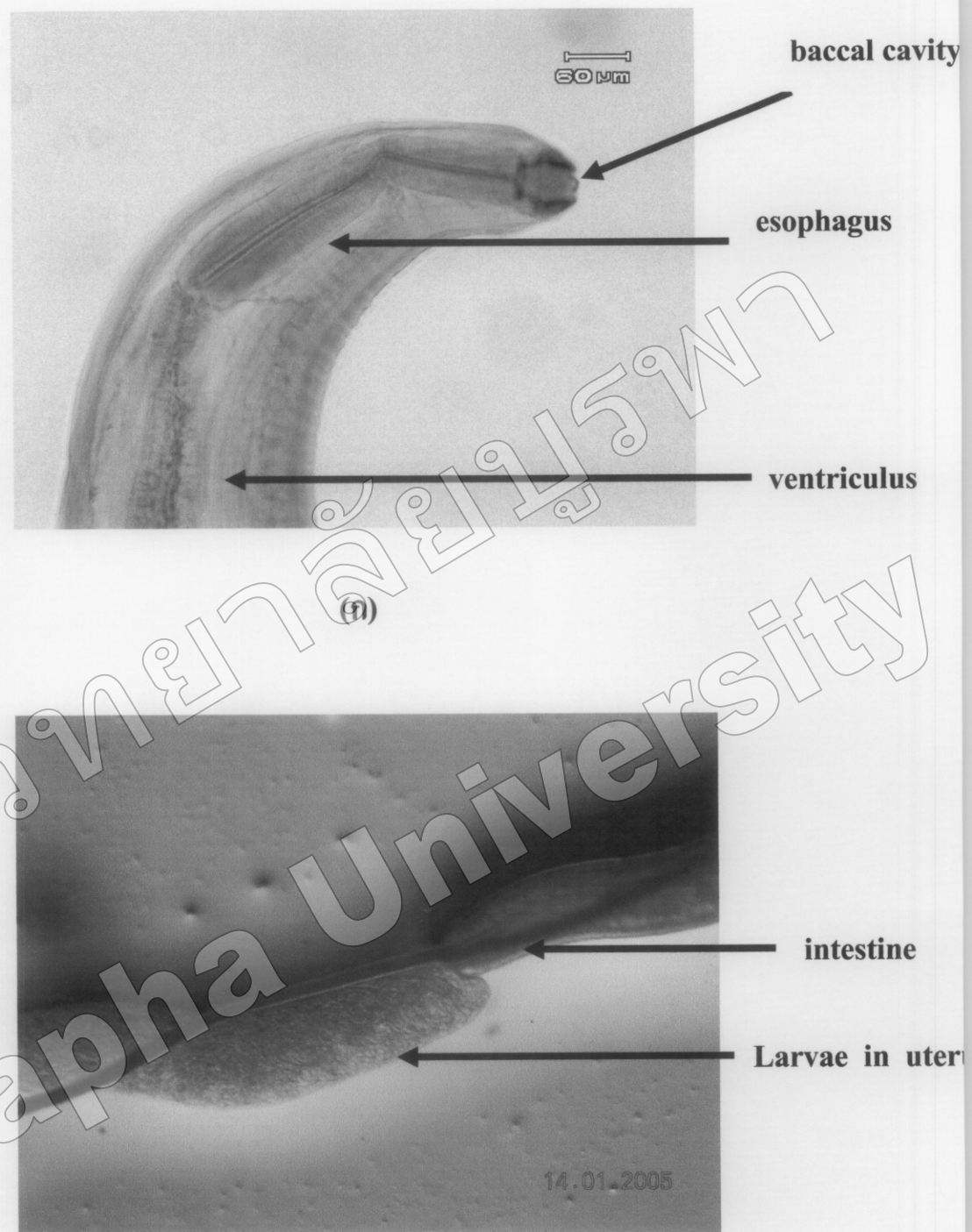


ภาพที่ 4-3 ลักษณะของพยาธิระยะตัวเต็มวัยที่มีลักษณะคล้ายพยาธิในกลุ่ม *Anisakis* sp. เพศผู้

ปั๊มน้ำสี carmine

(ก) แสดงส่วนหางของพยาธิ บริเวณ copulatory bursa และ spicule

(ข) แสดง spicule ของพยาธิ

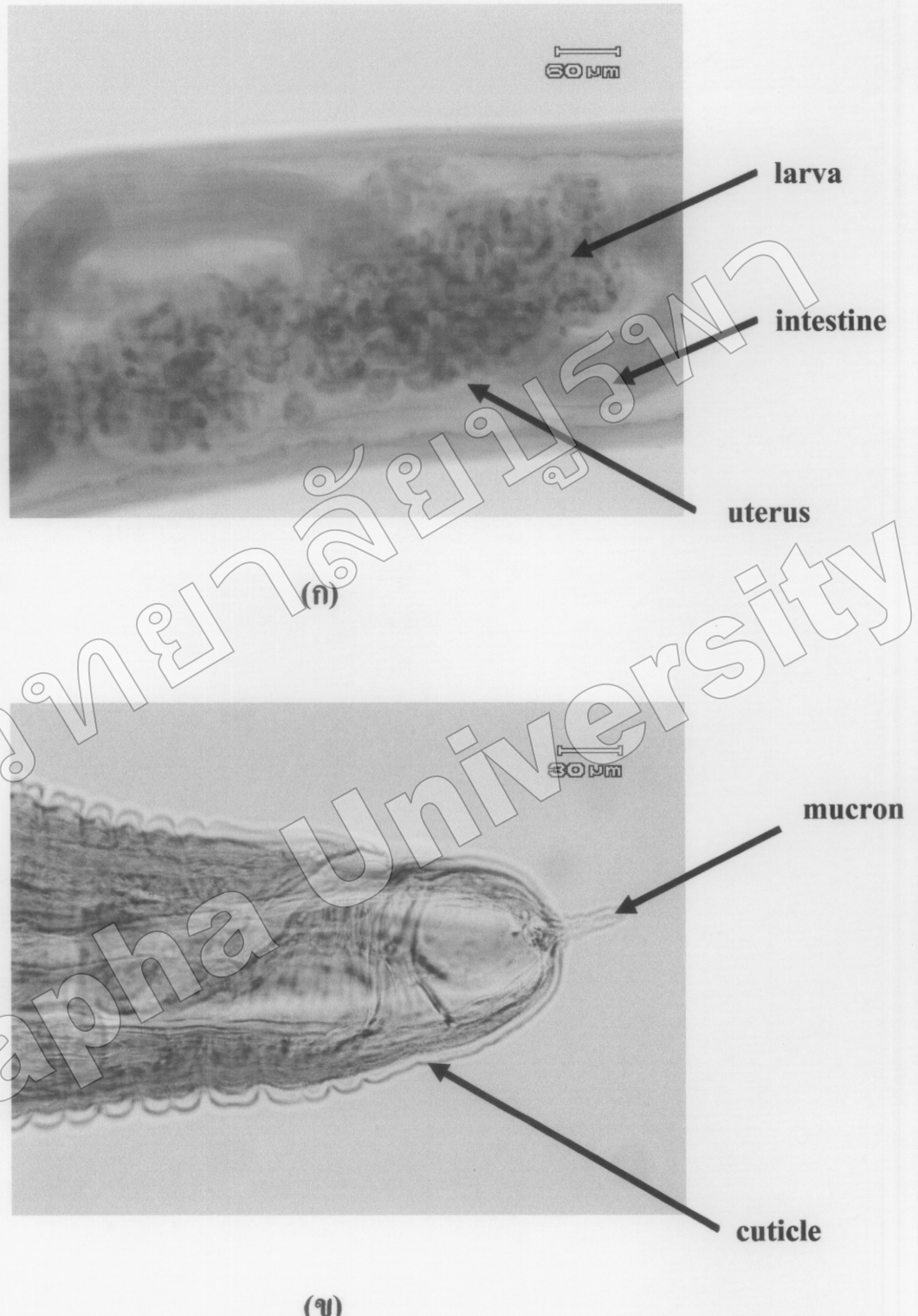


(๖)

ภาพที่ 4-4 ลักษณะของพยาธิระยะตัวเต็มวัยที่มีลักษณะคล้ายพยาธิในกลุ่ม *Anisakis* sp. เพศเมีย

(ก) แสดงส่วนหัวของพยาธิ ข้อมค์วายสี carmine

(ข) แสดงพยาธิ หลังจากถูกผ่าและเปิดบริเวณลำตัว เพื่อให้เห็นตัวอ่อนพยาธิในมดลูก



ภาพที่ 4-5 ลักษณะของพยาธิระยะตัวเต็มวัยที่มีลักษณะคล้ายพยาธิในกลุ่ม *Anisakis* sp. เพศเมีย

ปั๊มน้ำสี carmine

(ก) แสดงส่วนลำตัวของพยาธิ

(ข) แสดงส่วนหางของพยาธิ

## การศึกษาการกระจายของพยาธิ *Anisakis* sp. ในอวัยวะภายในของปลาจาดและปลาจาดหนวด ในตำบลล่างศิลา จังหวัดชลบุรี

จากการศึกษาการกระจายของพยาธิ *Anisakis* sp. ในอวัยวะภายในของปลาจาดและปลาจาดหนวด ในตำบลล่างศิลา จังหวัดชลบุรี พบรพยาธิระยะตัวเต็มวัยที่มีลักษณะคล้ายพยาธิในกลุ่ม *Anisakis* sp. เพียงชนิดเดียว กระจายอยู่ทุกส่วนของอวัยวะภายในที่ทำการศึกษา ได้แก่ เหงือก ตับ กระเพาะอาหาร ลำไส้ ถุงลม และไข่

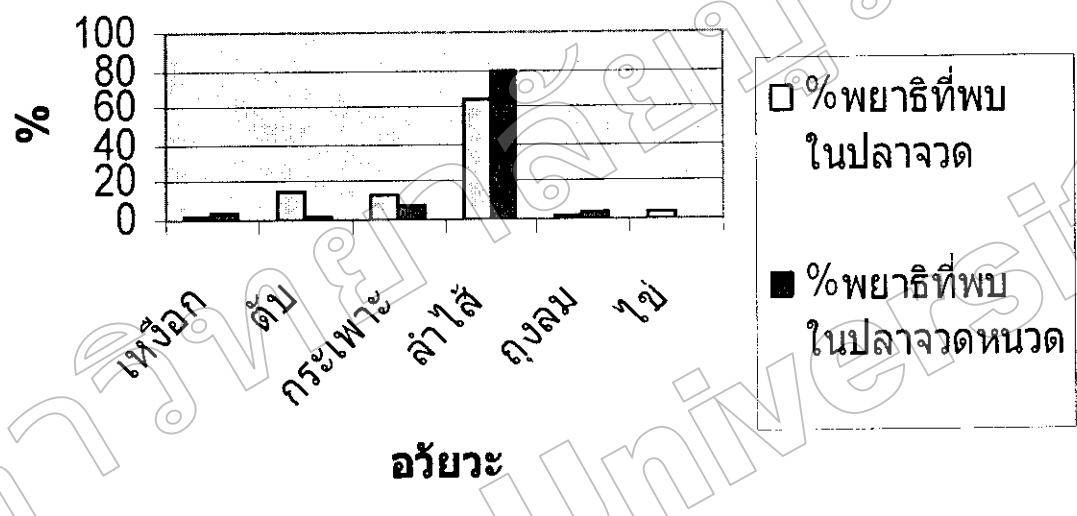
โดยในปลาจาดตรวจพบพยาธิมากที่สุดที่ลำไส้ รองลงมาเป็นที่ตับ กระเพาะอาหาร ไข่ เหงือก และถุงลม ซึ่งพบจำนวน 59 ตัว (64.84%), 13 ตัว (14.29%), 12 ตัว (13.19%), 4 ตัว (4.4%), 2 ตัว (2.2%) และ 1 ตัว (1.1%) ตามลำดับ

ส่วนในปลาจาดหนวดตรวจพบพยาธิมากที่สุดที่ลำไส้ รองลงมาเป็นที่ กระเพาะอาหาร ถุงลม เหงือก ตับ และไข่ โดยพบจำนวน 324 ตัว (80%), 34 ตัว (8.4%), 18 ตัว (4.44%), 16 ตัว (3.95%), 11 ตัว (2.72%) และ 2 ตัว (0.49%) ตามลำดับ (ตารางที่ 4-3 . ภาพที่ 4-6, ภาคผนวก ข และ ค)

**ตารางที่ 4-3** แสดงเปอร์เซนต์การกระจายของพยาธิระยะตัวเต็มวัยที่มีลักษณะคล้ายพยาธิในกลุ่ม *Anisakis* sp. ในอวัยวะภายในแต่ละส่วนของปลาจาดและปลาจาดหนวด

อวัยวะ	พยาธิที่พบในปลาจาด		พยาธิที่พบในปลาจาดหนวด	
	จำนวน (ตัว)	เปอร์เซนต์ (%)	จำนวน (ตัว)	เปอร์เซนต์ (%)
เหงือก	2	2.2	16	3.95
ตับ	13	14.29	11	2.72
กระเพาะอาหาร	12	13.19	34	8.4
ลำไส้	59	64.84	324	80
ถุงลม	1	1.1	18	4.44
ไข่	4	4.4	2	0.49
รวม	91	100	405	100

## กราฟแสดงการเปรียบเทียบการ กระจายของพยาธิในอวัยวะภายใน ของปลาจาดและปลาจาดหนวด



**ภาพที่ 4-6** กราฟแสดงการเปรียบเทียบเบื้องต้นต่อการกระจายของพยาธิในอวัยวะภายในของปลาจาด  
และปลาจาดหนวด

## การศึกษาความหนาแน่นของการติดเชื้อ (Intensity of infection) พยาธิ *Anisakis* sp. ในปลาจวัดและปลาจวดหนวด ในตำบลล่างศิลา จังหวัดชลบุรี

จากการศึกษาความหนาแน่นของการติดเชื้อพยาธิ *Anisakis* sp. ในปลาจวัดและปลาจวดหนวด ในตำบลล่างศิลา จังหวัดชลบุรี พน.ความหนาแน่นเฉลี่ยของการติดเชื้อพยาธิระยะตัวเต็มวัยที่มีลักษณะคล้ายพยาธิในกลุ่ม *Anisakis* sp. ในปลาจวัด เท่ากับ 2.39 ตัวต่อปลา 1 ตัว และปลาจวดหนวด เท่ากับ 3.86 ตัวต่อปลา 1 ตัว (ตารางที่ 4-4 และภาคผนวก X และ ก)

**ตารางที่ 4-4** แสดงความหนาแน่นของการติดเชื้อพยาธิที่มีลักษณะคล้ายพยาธิในกลุ่ม *Anisakis* sp.

ปลาจวัดและปลาจวดหนวด

ชนิดปลา	ความหนาแน่นเฉลี่ยของการติดเชื้อพยาธิ (ตัว/ปลา 1 ตัว)
ปลาจวัด	2.39
ปลาจวดหนวด	3.86

## การศึกษาอัตราความชุกของการติดเชื้อ (Prevalence of infection) พยาธิ *Anisakis* sp. ในปลาจวัดและปลาจวคหนวดในตำบลอ่างศิลา จังหวัดชลบุรี

จากการศึกษาอัตราความชุกของการติดเชื้อพยาธิ *Anisakis* sp. ในปลาจวัดและปลาจวคหนวด ในตำบลอ่างศิลา จังหวัดชลบุรี ชนิดละ 120 ตัว พนว่าปลาจวัดที่ติดเชื้อพยาธิระยะตัวเต็มวัยที่มีลักษณะคล้ายพยาธิในกลุ่ม *Anisakis* sp. มีจำนวน 38 ตัว คิดเป็นอัตราความชุกของการติดเชื้อพยาธิ เท่ากับ 31.67% และพบว่าปลาจวคหนวดที่ติดเชื้อพยาธิระยะตัวเต็มวัยที่มีลักษณะคล้ายพยาธิในกลุ่ม *Anisakis* sp. มีจำนวน 105 ตัว คิดเป็นอัตราความชุกของการติดเชื้อพยาธิ เท่ากับ 87.5% (ตารางที่ 4-5 และภาคผนวก ข และ ค)

**ตารางที่ 4-5** แสดงอัตราความชุกของการติดเชื้อพยาธิระยะตัวเต็มวัยที่มีลักษณะคล้ายพยาธิในกลุ่ม *Anisakis* sp. ในปลาจวัดและปลาจวคหนวด

ชนิดปลา	อัตราความชุกของการติดเชื้อพยาธิ (%)
ปลาจวัด	31.67
ปลาจวคหนวด	87.5

**การศึกษาความหนาแน่นของการติดเชื้อพยาธิระยะตัวเต็มวัยที่มีลักษณะคล้ายพยาธิในกลุ่ม**

*Anisakis sp.* ในปลาจรวด โดยแบ่งตามน้ำหนักของปลา พนว่า กลุ่มที่มีน้ำหนักระหว่าง 0-40 กรัม กลุ่มที่มีน้ำหนักระหว่าง 40-80 กรัม และกลุ่มที่มีน้ำหนักมากกว่า 80 กรัม มีค่าเท่ากับ 2.12, 2.25 และ 11 ตัวต่อปลา 1 ตัว ตามลำดับ ส่วนอัตราความชุกของการติดเชื้อพยาธิ พนว่า กลุ่มที่มีน้ำหนักระหว่าง 0-40 กรัม กลุ่มที่มีน้ำหนักระหว่าง 40-80 กรัม และกลุ่มที่มีน้ำหนักมากกว่า 80 กรัม มีค่าเท่ากับ 29.41%, 36.36% และ 50% ตามลำดับ (ตารางที่ 4-6 และภาคผนวก ข และ ค)

ในปลาจรวดน้ำนมีความหนาแน่นของการติดเชื้อพยาธิระยะตัวเต็มวัยที่มีลักษณะคล้ายพยาธิในกลุ่ม *Anisakis sp.* ในกลุ่มปลาที่มีน้ำหนักระหว่าง 0-40 กรัม และกลุ่มที่มีน้ำหนักระหว่าง 40-80 กรัม มีค่าเท่ากับ 3.59 และ 7.13 ตัวต่อปลา 1 ตัว ตามลำดับ ส่วนอัตราความชุกของการติดเชื้อพยาธิ ในกลุ่มปลาที่มีน้ำหนักระหว่าง 0-40 กรัม และกลุ่มที่มีน้ำหนักระหว่าง 40-80 กรัม มีค่าเท่ากับ 86.61% และ 100% ตามลำดับ (ตารางที่ 4-7 และภาคผนวก ข และ ค)

**ตารางที่ 4-6** แสดงความหนาแน่น และอัตราความชุกของการติดเชื้อพยาธิระยะตัวเต็มวัยที่มีลักษณะคล้ายพยาธิในกลุ่ม *Anisakis sp.* ในปลาจรวด ในตำบลล่างศิลา จังหวัดชลบุรี โดยแบ่งตามน้ำหนักของปลา

น้ำหนัก (กรัม)	จำนวนปลา ที่นำมาศึกษา (ตัว)	จำนวนปลา ที่ติดเชื้อพยาธิ (ตัว)	จำนวนพยาธิ ตัว/p	ความหนาแน่นของ การติดเชื้อพยาธิ (ตัว/ปลา 1 ตัว)	อัตราความชุกของ การติดเชื้อพยาธิ (%)
0-40	85	25	53	2.12	29.41
>40-80	33	12	27	2.25	36.36
>80	2	1	11	11	50
รวม	120	38	91	2.39	31.67

**ตารางที่ 4-7** แสดงความหนาแน่น และอัตราความชุกของการติดเชื้อพยาธิระยะตัวเต็มวัยที่มีลักษณะ  
คล้ายพยาธิในกลุ่ม *Anisakis* sp. ในปลาจวดหนอง ในตำบลอ่างศิลา  
จังหวัดชลบุรี โดยแบ่งตามน้ำหนักของปลา

น้ำหนัก (กรัม)	จำนวนปลา ที่นำมาศึกษา (ตัว)	จำนวนปลา ที่ติดเชื้อพยาธิ (ตัว)	จำนวนพยาธิ ที่พบ (ตัว)	ความหนาแน่นของ การติดเชื้อพยาธิ (ตัว/ปลา 1 ตัว)	อัตราความชุกของ การติดเชื้อพยาธิ (%)
0-40	112	97	348	3.59	86.61
>40-80	8	8	57	7.13	100
รวม	120	105	405	3.86	87.5

สรุปการศึกษาพยาธิ *Anisakis* sp. ในปลาจวดและปลาจวดหนวด ในตำบลอ่างศิลา จังหวัดชลบุรี โดยนำมาศึกษานิดละ 120 ตัว ผลการศึกษาพบว่า ปลาจวดมีเปอร์เซนต์ของพยาธิระยะตัวเต็มวัยที่มีลักษณะคล้ายพยาธิในกลุ่ม *Anisakis* sp. เพศผู้ 7.69% เพศเมีย 92.31% ความหนาแน่นเฉลี่ย เท่ากับ 2.39 ตัวต่อปลา 1 ตัว และมีอัตราความชุก 31.67% ส่วนปลาจวดหนวดมีเปอร์เซนต์ของพยาธิระยะตัวเต็มวัยที่มีลักษณะคล้ายพยาธิในกลุ่ม *Anisakis* sp. เพศผู้ 16.54% เพศเมีย 83.46% ความหนาแน่นเฉลี่ย เท่ากับ 3.86 ตัวต่อปลา 1 ตัว และมีอัตราความชุก 87.5% (ตารางที่ 4-8 และภาคผนวก ข และ ค)

**ตารางที่ 4-8** แสดงผลการศึกษาโดยสรุปเป็นเปอร์เซนต์ ความหนาแน่นเฉลี่ย และอัตราความชุกของ การติดเชื้อพยาธิระยะตัวเต็มวัยที่มีลักษณะคล้ายพยาธิในกลุ่ม *Anisakis* sp. ในปลาจวดและ ปลาจวดหนวด ในตำบลอ่างศิลา จังหวัดชลบุรี

ชนิดปลา	เปอร์เซนต์ (%)		ความหนาแน่นเฉลี่ย (ตัว/ปลา 1 ตัว)	อัตราความชุก (%)
	เพศผู้	เพศเมีย		
ปลาจวด	7.69	92.31	2.39	31.67
ปลาจวดหนวด	16.54	83.46	3.86	87.5

## บทที่ 5

### อภิปรายและสรุปผลการวิจัย

#### อภิปรายผลการวิจัย

จากการศึกษาพยาธิ *Anisakis* sp. ในปลาจรวดและปลาจรวดหนวด ในตำบลอ่างศิลา จังหวัดชลบุรี โดยนำมาศึกษาชนิดละ 120 ตัว พับพยาธิตัวกลมระยะตัวเต็มวัย โดยพบทั้งเพศผู้และเพศเมีย ซึ่งสามารถจำแนกได้โดยอาศัยหลักการจำแนกจากข้อมูลที่เกี่ยวกับลักษณะทางชีววิทยา สตรีร่วมเพศ และพฤติกรรมของหนอนพยาธิตัวกลม (Lee, 1965; Crofton, 1966 และ Croll, 1970) ประกอบกับรูปร่างลักษณะของพยาธิในกลุ่ม *Anisakis* sp. ที่เคยมีผู้ทำการศึกษาไว้ทั่วโลก พบว่าพยาธิที่พบดังกล่าวเป็นพยาธิระยะตัวเต็มวัยที่มีลักษณะคล้ายพยาธิในกลุ่ม *Anisakis* sp. ซึ่งพบพยาธิดังกล่าวเพียงชนิดเดียวในปลาทั้ง 2 ชนิด การที่ไม่พบตัวอ่อนระยะที่ 3 ของพยาธิ *Anisakis* sp. ในปลาจรวดและปลาจรวดหนวด ตามที่มีการศึกษาและรายงานเกี่ยวกับวงจรชีวิตโดย Oshima (1987) เกี่ยวกับปลาทะเล例外เป็นไฮสต์สื่อ (paratenic host) และจากการศึกษาดังกล่าวการที่พบพยาธิทั้งเพศผู้และเพศเมีย (dioecious) แสดงให้เห็นว่าพยาธิดังกล่าวเป็นระยะตัวเต็มวัยของหนอนตัวกลม โดยระยะตัวเต็มวัยที่พบทำให้สามารถระบุได้ว่าปลาทั้ง 2 ชนิดนี้ เป็นไฮสต์สุดท้ายหรือไฮสต์ที่แท้จริง (definitive host) ของพยาธิชนิดนี้ โดยรูปร่างลักษณะของพยาธิที่พบสามารถแยกเพศผู้และเพศเมียได้อย่างชัดเจน เนื่องจากพยาธิตัวกลมจะมีเพศแยกกัน ซึ่งตัวเต็มวัยเพศผู้ มีรูปร่างเป็นทรงกระบอก ความยาวประมาณ 2 เซนติเมตร และความกว้างประมาณ 0.5 มิลลิเมตร ลำตัวยาวมีลักษณะสมมาตร ไม่มีข้อหรือปล้อง และลักษณะของพยาธิดังกล่าวเกี่ยวกับหลักการจำแนกหนอนพยาธิตัวกลม (Lee, 1965; Crofton, 1966 และ Croll, 1970) อีกเช่นกัน เมื่อดูดพยาธินิสต์ครีม-เหลือง ลำไส้มีลักษณะยาวเป็นเส้นตรงตลอดลำตัวจนถึง anus ขนาดกับอวัยวะขับถ่ายของสัตว์ (excretory organ) มีลักษณะเป็นเส้นยาว ลักษณะไม่เด่นชัด จากการทำลายได้ทราบพบว่า ปลายหางของพยาธิโถงเข้าหาส่วนท้องของลำตัว และบริเวณปลายหางมี cuticle ที่สามารถแยกคล้ำริม (copulatory bursa) และมี spicule 1 อัน ลักษณะเป็นแห่งยื่นออกมานานบริเวณ copulatory bursa ส่วนตัวเต็มวัยเพศเมีย มีรูปร่างเป็นทรงกระบอก ขนาดใหญ่กว่าเพศผู้ประมาณ 1 เท่า แต่มีความยาวใกล้เคียงกัน คือ ประมาณ 2 เซนติเมตร ลำตัวยาวมีลักษณะสมมาตร ไม่มีข้อหรือปล้อง และลักษณะของพยาธิดังกล่าวเกี่ยวกับหลักการจำแนกหนอนพยาธิตัวกลม (Lee, 1965; Crofton, 1966 และ Croll, 1970) อีกเช่นกัน เมื่อดูดพยาธินิสต์แดง นดลูกมีขนาดใหญ่เกินเต็มช่องว่างในลำตัวภายในมีไข่และตัวอ่อนของพยาธิอาศัยอยู่เต็มคลุก โดยพยาธินางตัวมีไข่ภายในคลุกเพียงอย่างเดียว บางตัวมีทั้งไข่และตัวอ่อน และบางตัวมีตัวอ่อนจำนวนมากแต่ไม่มีไข่เลย ซึ่งไข่และตัวอ่อนมีขนาดเล็กมาก (มองด้วยตาเปล่าไม่เห็น) และพบว่ามีการเคลื่อนที่ไปมาตลอดเวลาภายในคลุก จากการทำลายได้ทราบพบว่า ลำไส้มีลักษณะยาวเป็นเส้นตรงตลอดลำตัวจนถึง anus ขนาดกับอวัยวะขับถ่ายของสัตว์

(excretory organ) ซึ่งมีลักษณะเป็นเส้นยาว ลักษณะไม่เด่นชัด ทางเหยียดตรงไม่โค้งเข้าทางด้านท้อง เมื่อนั่งตัวผู้ และบริเวณปลายหางมี mucron ขึ้นจากบริเวณสุดปลายหาง การที่พยาธิที่พบมี mucron แสดงให้เห็นถึงลักษณะพิเศษของพยาธิในกลุ่ม *Anisakis* sp. ซึ่งมีความแตกต่างกับพยาธิชนิดอื่น (Sithithaworn, 2001) ทำให้ผู้วิจัยคิดว่าพยาธิชนิดนี้ คือ พยาธิตัวกลมที่มีลักษณะคล้ายพยาธิในกลุ่ม *Anisakis* sp. โดยพบพยาธิทั้งหมด 91 ตัวในปลาจรวด แยกเป็นเพศผู้ 7 ตัว (7.69%) เพศเมีย 84 ตัว (92.31%) และ พับพยาธิทั้งหมด 405 ตัวในปลาจรวดหนวด แยกเป็นเพศผู้ 67 ตัว (16.54%) เพศเมีย 338 ตัว (83.46%) การที่พับพยาธิในปลาจรวดหนวดมากกว่าในปลาจรวด ประมาณ 4 เท่า ทั้งที่บริเวณที่นำมาศึกษาเป็นบริเวณเดียวกัน คือ ตำแหน่งอ่างศีลota จังหวัดชลบุรี จำนวนที่นำมาศึกษาเท่ากัน คือ ชนิดละ 120 ตัว และช่วงเวลาที่นำมาศึกษา ก็เป็นช่วงเวลาเดียวกัน คือ เดือนมีนาคมถึงเดือนพฤษภาคม 2547 ซึ่ง เป็นช่วงฤดูร้อน จากข้อมูลดังกล่าวแสดงให้เห็นว่าปลาจรวดหนวดเป็นโภสต์ที่มีความจำเพาะต่อพยาธิ (host susceptibility) ชนิดนี้ สูงกว่าในปลาจรวด และการพบพยาธิเพียงชนิดเดียวในปลาทั้ง 2 ชนิด อาจบอกได้ว่าปลาทั้ง 2 ชนิดกินอาหารที่มีตัวอ่อนระบาดติดต่อของพยาธิชนิดนี้เหมือนกัน จึงได้รับตัวอ่อนพยาธิชนิดเดียวกัน

การศึกษาการกระจายของพยาธิ *Anisakis* sp. ในอวัยวะภายในของปลาจรวดและปลาจรวดหนวด ในตำแหน่งอ่างศีลota จังหวัดชลบุรี พบร้าพยาธิมีการกระจายอยู่ทุกส่วนของอวัยวะภายในที่ทำการศึกษา โดยในปลาจรวดพบพยาธิมากที่สุดที่ลำไส้ รองลงมาเป็นตับ กระเพาะอาหาร ไข่ เหงือก และถุงลม คิดเป็น 64.84%, 14.29%, 13.19%, 4.4%, 2.2% และ 1.1% ตามลำดับ ส่วนในปลาจรวดหนวดพบพยาธิมากที่สุดที่ลำไส้ รองลงมาเป็นกระเพาะอาหาร ถุงลม เหงือก ตับ และไข่ คิดเป็น 80%, 8.4%, 4.44%, 3.95%, 2.72% และ 0.49% ตามลำดับ การที่พับพยาธิกระจายอยู่ทุกส่วนในอวัยวะภายในที่ทำการศึกษา แสดงถึงความสามารถในการซ่อนใช้ของพยาธิไปสู่อวัยวะต่างๆ ทำให้ปลาที่ติดพยาธิมีพยาธิสภาพเกิดขึ้นในแต่ละอวัยวะ ซึ่งจะขัดขวางการทำงานของอวัยวะต่างๆ และส่งผลทำให้ปลาที่จับได้มีมีคุณภาพ (Abello et al., 2001) และการที่พบพยาธิอาศัยอยู่มากที่สุดที่ลำไส้ อาจเนื่องจากบริเวณลำไส้เป็นแหล่งที่มีการย่อยอาหารและคุณค่าโปรตีนรวมมาก จึงเป็นแหล่งอาหารที่สำคัญของพยาธิ นอกจากนี้ยังพบว่าบริเวณลำไส้จะมี globlet cell ทำหน้าที่สร้างเมือก (acid glycoprotein) เคลือบป้องกันและหล่อเลี้นเยื่อบุลำไส้ จึงทำให้พยาธิยึดเกาะผนังได้ดีขึ้น (กนกธร, 2546)

สำหรับการศึกษาความหนาแน่นของการติดเชื้อพยาธิ *Anisakis* sp. ในปลาจรวดและปลาจรวดหนวด ในตำแหน่งอ่างศีลota จังหวัดชลบุรี พบร้าความหนาแน่นของการติดเชื้อพยาธิระยะตัวเต็มวัยที่มีลักษณะคล้ายพยาธิในกลุ่ม *Anisakis* sp. ในปลาจรวดมีความหนาแน่นเฉลี่ยเท่ากับ 2.39 ตัวต่อปลา 1 ตัว และปลาจรวดหนวดมีความหนาแน่นเฉลี่ยเท่ากับ 3.86 ตัวต่อปลา 1 ตัว จากการรายงานการศึกษาความหนาแน่นของการติดเชื้อตัวอ่อนพยาธิ *Anisakis* sp. ในปลาทะเลและสัตว์ทะเลตระกูลปลาหมึก ในบริเวณชายฝั่งทะเล Galician ของประเทศสเปน พนความหนาแน่นเฉลี่ยของการติดเชื้อพยาธิตัวอ่อนพยาธิ *Anisakis* sp. ในปลาทะเลและสัตว์ทะเลตระกูลปลาหมึกมีค่าเท่ากันคือ 1-22 ตัวต่อปลา (ปลาหมึก)

1 ตัว (Abello et al., 2001) เมื่อเปรียบเทียบกับการศึกษาวิจัยในครั้งนี้ในปลาจวดและปลาจวดหนวด ในตำบลอ่างศิลา จังหวัดชลบุรี พบร่วมกับความหนาแน่นเฉลี่ยของการติดเชื้อพยาธิในปลาอยู่ในช่วงเดียวกัน ที่มีการศึกษาในประเทศสเปน แต่ค่าที่ได้อ่านในช่วงที่ค่อนข้างต่ำ คือมีความหนาแน่นเฉลี่ยของการติดเชื้อพยาธิประมาณ 2-4 ตัวต่อปลา 1 ตัว ซึ่งความหนาแน่นของการติดเชื้อพยาธิจะเป็นตัวบ่งบอกถึงความรุนแรงในการก่อโรค โดยส่วนใหญ่ถ้าพบว่ามีพยาธิอยู่ในร่างกายจำนวนน้อย มักจะไม่ก่อให้เกิดอาการของโรคแต่อย่างใด แต่อาการของโรคจะเพิ่มความรุนแรงขึ้นเมื่อพยาธิในร่างกายมีจำนวนมากขึ้น การที่สัตว์ทะเลมีปรสิตแอนฟองอยู่ภายใน จะส่งผลเสียต่อคุณภาพและราคาการส่งออก เพราะปรสิตที่อาศัยอยู่จะเข้าไปขัดขวางการทำงานของอวัยวะต่างๆ และแบ่งอาหารจากสัตว์ทะเล ทำให้สัตว์ทะเลเจริญเติบโตช้า ซึ่งเป็นสาเหตุทำให้การขยายพันธุ์ของสัตว์ทะเลลดลง จึงทำให้ปริมาณการส่งออกลดลงรวมถึงคุณภาพของสินค้าและผลิตภัณฑ์แปรรูปที่เกี่ยวข้องกับสัตว์ทะเลลดลงตามด้วย ทำให้ประเทศไทยล่า�น้ำสูญเสียมูลค่าทางเศรษฐกิจในแต่ละปี (Sparre and Wootten, 1997) ในประเทศไทยเช่นเดียวกันถ้าในปลา 1 ตัว มีจำนวนพยาธิสูงจะทำให้ความรุนแรงในการก่อโรคสูง แต่ถ้าความหนาแน่นของการติดเชื้อพยาธิในปลาต่ำ ก็จะทำให้ความรุนแรงในการก่อโรคต่ำไปด้วย ซึ่งจากการศึกษานี้ พบร่วมกับความหนาแน่นของการติดเชื้อพยาธิตัวกลมระยะตัวเต็มวัยที่มีลักษณะคล้ายพยาธิในกลุ่ม *Anisakis* sp. ในปลาจวดเท่ากับ 2.46 ตัวต่อปลา 1 ตัว และพบความหนาแน่นของการติดเชื้อพยาธิตัวกลมระยะตัวเต็มวัยที่มีลักษณะคล้ายพยาธิในกลุ่ม *Anisakis* sp. ในปลาจวดหนวดเท่ากับ 3.86 ตัวต่อปลา 1 ตัว ซึ่งถือว่าเป็นตัวเลขที่ค่อนข้างต่ำ สามารถบ่งบอกได้ว่าพยาธิในปลาทั้ง 2 ชนิดนี้มีความรุนแรงในการก่อโรคต่ำ และอาจไม่มีผลต่อการขยายพันธุ์มากนัก แต่ทั้งนี้ความรุนแรงของการก่อโรคต้องขึ้นกับภูมิศาสตร์ทางของปลาสตั่ดวะ

#### 4. ผลลัพธ์

การศึกษาอัตราความชุกของการติดเชื้อพยาธิ *Anisakis* sp. ในปลาจวดและปลาจวดหนวดในตำบลอ่างศิลา จังหวัดชลบุรี โดยนำมาศึกษาชนิดละ 120 ตัว พบรอัตราความชุกของการติดเชื้อพยาธิระยะตัวเต็มวัยที่มีลักษณะคล้ายพยาธิในกลุ่ม *Anisakis* sp. ในปลาจวดเท่ากับ 31.67% และปลาจวดหนวดเท่ากับ 87.5% จากการรายงานการศึกษาอัตราความชุกของการติดเชื้อตัวอ่อนพยาธิ *Anisakis* sp. ในปลาทะเลและสัตว์ทะเลโดยปกติในบริเวณชายฝั่งทะเล Galician ของประเทศสเปน พบรอัตราความชุกของการติดเชื้อพยาธิตัวอ่อนพยาธิ *Anisakis* sp. ในปลาจวดและสัตว์ทะเลโดยปกติในบริเวณชายฝั่งทะเล Galician ของประเทศสเปน มีค่าเท่ากับ 100% และ 23-45% ตามลำดับ (Abello et al., 2001) เมื่อเปรียบเทียบกับการศึกษาวิจัยครั้งนี้พบว่าในปลาจวดมีค่าอัตราความชุกของการติดเชื้อพยาธิ เท่ากับ 31.67% ซึ่งมีความแตกต่างจากอัตราความชุกของการติดเชื้อพยาธิในปลาทะเลของประเทศสเปน คือ มีค่าน้อยกว่าประมาณ 3 เท่า ส่วนในปลาจวดหนวดมีค่าอัตราความชุกของการติดเชื้อพยาธิ เท่ากับ 87.5% ซึ่งใกล้เคียงกับอัตราความชุกของการติดเชื้อพยาธิในปลาทะเลของประเทศสเปน การที่ค่าอัตราความชุกของการติดเชื้อพยาธิในปลาทะเลทั้ง 2 แห่ง มีความแตกต่างกัน แสดงให้เห็นว่าระบบนิเวศน์ทางทะเลระหว่างชายฝั่งทะเล Galician ของประเทศสเปน และชายฝั่งทะเลบริเวณตำบลอ่างศิลา จังหวัดชลบุรี มีความแตกต่างกัน

รวมถึงการมีโไฮสต์ก็กลางที่มีตัวอ่อนระบาดต่อของพยาธิมีความแตกต่างกัน นอกจานนี้ชนิดของปลาที่นำมาศึกษาระหว่าง 2 แหล่งนี้ก็แตกต่างกันด้วย ซึ่งชนิดปลาที่นำมาศึกษาโดยคณบัญชีชาวสเปนส่วนใหญ่อยู่ในกลุ่มปลาแซลมอน ปลาแมคเคอเรล และปลาชาร์ดิน (Abello et al., 2001) และอาจจะเนื่องจากแหล่งที่อยู่ของปลาไม่มีความแตกต่างกัน จึงทำให้อัตราความชุกของการติดเชื้อพยาธิต่างจากปลาที่ทำการศึกษาที่ประเทศไทย แต่เมื่อทำการเปรียบเทียบค่าอัตราความชุกของการติดเชื้อพยาธิ *Anisakis* sp. ระหว่างปลาจาจุดและปลาจวัดหนวด ที่ทำการศึกษาในครั้งนี้ พบว่าค่าอัตราความชุกของการติดเชื้อพยาธิ 2 ชนิดมีความแตกต่างกันอย่างชัดเจน ถึงแม้ว่าปลาที่นำมาศึกษาจะนำมาจากแหล่งเดียวกัน การที่ค่าความชุกแตกต่างกันมาก อาจเป็นเพราะความแตกต่างทางด้านปัจจัยหลายอย่าง เช่น อุปนิสัยในการกินอาหารของปลาทั้ง 2 ชนิดมีความแตกต่างกัน คืออาจชอบกิน ครัสเตเชียน ชนิดต่างๆ แตกต่างกัน และมีความจำเพาะต่อโไฮสต์ต่างกันด้วย การที่พบว่าปลาจวัด มีอัตราความชุกของการติดเชื้อพยาธิสูงถึง 87.5% จะสามารถนำไปใช้เป็นข้อมูลทางด้านการระบุวิธีหากเกี่ยวกับพยาธิชนิดนี้ และเป็นข้อมูลเบื้องต้นในการวางแผนการทำประมงและการเพาะเลี้ยงสัตว์น้ำ ให้ระวังถึงการแพร่ระบาดของพยาธิในปลาชนิดอื่น ในบริเวณเดียวกัน เนื่องจากหากสัตว์ทะเลมีการติดเชื้อพยาธิซึ่งกกล่าวอาจส่งผลกระทบต่ออาหาร และธุรกิจที่เกี่ยวข้อง พยายีพยาธิจะทำให้คุณภาพของสัตว์ทะเลลดลง ผลจากการศึกษาในครั้งนี้ยังบอกได้ว่าการทำปลาพยาธิจะทำให้ตัวติดเชื้อพยาธิระบาดตัวเดียวที่มีลักษณะหลังสองชนิดที่นำมาศึกษา จังหวัดชลบุรี มีการติดเชื้อพยาธิระยะตัวเดียวมากกว่าที่มีลักษณะคล้ายพยาธิในกลุ่ม *Anisakis* sp. แสดงให้เห็นว่าสัตว์ทะเลชนิดอื่นในบริเวณที่ศึกษา อาจมีการติดเชื้อพยาธิชนิดนี้ จากการที่พวยพยาธิระยะตัวเดียวมากกว่า 1 ตัว อาจบ่งบอกได้ว่าปลาเหล่านี้ได้รับตัวอ่อนพยาธิระยะติดต่อจากสัตว์ทะเลชนิดอื่นๆ เช่น กุ้ง ปู และไหน้ำ เพราะพยาธิชนิดนี้มีสัตว์ทะเลหลายชนิดที่เกี่ยวข้องในวงจรชีวิตตั้งที่กล่าวมาเดียว

จากการศึกษาความหนาแน่นและอัตราความชุกของการติดเชื้อพยาธิ *Anisakis* sp. ในปลาจวัดและปลาจวัดหนวด โดยแบ่งตามน้ำหนักของปลา พบว่าในปลาจวัด กลุ่มที่มีน้ำหนักระหว่าง 0-40 กรัม (จำนวนปลาที่ติดเชื้อ 25 ตัว จาก 85 ตัว) และกลุ่มที่มีน้ำหนักระหว่าง 40-80 กรัม (จำนวนปลาที่ติดเชื้อ 12 ตัว จาก 33 ตัว) มีความหนาแน่นของการติดเชื้อพยาธิระยะตัวเดียวมากกว่า 80 กรัม (จำนวนปลาที่ติดเชื้อ 1 ตัว จาก 2 ตัว) มีความหนาแน่นของการติดเชื้อพยาธิ เท่ากับ 11 ตัวต่อปลา 1 ตัว ส่วนอัตราความชุกของการติดเชื้อพยาธิ พบร่วงกลุ่มปลาที่มีน้ำหนักระหว่าง 0-40 กรัม กลุ่มที่มีน้ำหนักระหว่าง 40-80 กรัม และกลุ่มที่มีน้ำหนักมากกว่า 80 กรัม มีอัตราความชุกของการติดเชื้อพยาธิเท่ากับ 29.41%, 36.36% และ 50% ตามลำดับ จากข้อมูลดังกล่าวจะเห็นว่าจำนวนปลาที่มีน้ำหนักระหว่าง 0-40 กรัม และกลุ่มที่มีน้ำหนักระหว่าง 40-80 กรัม มีความหนาแน่นและอัตราความชุกของการติดเชื้อพยาธิใกล้เคียงกัน แต่กลุ่มที่มีน้ำหนักมากกว่า 80 กรัม มีความหนาแน่นและอัตราความชุกของการติดเชื้อพยาธิสูงกว่าปลาทั้งสองกลุ่ม แต่มีจำนวนปลาเพียง 2 ตัว เท่านั้น จึงไม่สามารถนำข้อมูลมาเปรียบเทียบ

กันได้ และไม่สามารถสรุปเกี่ยวกับความหนาแน่นและอัตราความชุกของการติดเชื้อพยาธิในปลาที่มีขนาดต่าง ๆ กันได้ เนื่องจากจำนวนปลาในแต่ละกลุ่มแตกต่างกัน นอกจากนี้ปัจจัยที่ทำให้ความหนาแน่นและอัตราความชุกของการติดเชื้อพยาธิแตกต่างกัน อาจเป็นผลเนื่องมาจากการกินอาหารของปลาในแต่ละกลุ่มนี้ความต่างกันและอาจมีภูมิคุ้มกันของไส้เดือนต่างกันด้วย

ส่วนในปลาจอดหัวด กลุ่มปลาที่มีน้ำหนักระหว่าง 0-40 กรัม (จำนวนปลาที่ติดเชื้อ 97 ตัว จาก 112 ตัว) และมากกว่า 40-80 กรัม (จำนวนปลาที่ติดเชื้อ 8 ตัว จาก 8 ตัว) มีความหนาแน่นของการติดเชื้อพยาธิตัวเต็มวัยที่มีลักษณะคล้ายพยาธิในกลุ่ม *Anisakis* sp. เท่ากัน 3.59 และ 7.13 ตัวต่อปลา 1 ตัว ตามลำดับ ส่วนอัตราความชุกของการติดเชื้อพยาธิในกลุ่มปลาที่มีน้ำหนักระหว่าง 0-40 กรัม และกลุ่มที่มีน้ำหนักระหว่าง 40-80 กรัม มีค่าเท่ากัน 86.61% และ 100% ตามลำดับ จากข้อมูลจะเห็นว่าในกลุ่มปลาที่มีน้ำหนักระหว่าง 0-40 กรัม มีค่าความหนาแน่นและอัตราความชุกของการติดเชื้อพยาธิน้อยกว่าปลากลุ่มที่มีน้ำหนักระหว่าง 40-80 กรัม ซึ่งปลาในกลุ่มที่มีน้ำหนักระหว่าง 40-80 กรัม มีความหนาแน่นของการติดเชื้อพยาธิ 7.13 ตัวต่อปลา 1 ตัว และอัตราความชุก 100% อาจเนื่องจากปลาที่มีขนาดใหญ่กว่าได้รับอาหารแตกต่างจากปลากลุ่มนี้ขนาดเล็ก โดยอาจมีความสามารถในการหาอาหารได้ไกลกว่า แหล่งอาหารของปลาในแต่ละกลุ่มอาจมีความแตกต่างกันทั้งในด้านคุณภาพ ชนิด และปริมาณ ซึ่งอาหารที่ปลาบាដใหญ่ได้รับนั้นอาจมีจำนวนมากกว่าและมีหลายชนิด นอกจากนี้อาหารของปลา เช่น ปลาหมึก ถุง ไวน์ฯลฯ ซึ่งคล้ายกับการศึกษาความหนาแน่นและอัตราความชุกของการติดเชื้อที่ประเทศญี่ปุ่น ที่พบว่าขึ้นอยู่กับอาหารที่ปลากิน ตลอดจนแหล่งที่อยู่ของปลา (Abello et al., 2001) และในทะเลอาจมีตัวอ่อนของพยาธิในกลุ่มนี้อาศัยอยู่ จึงทำให้ปลาที่มีขนาดใหญ่กว่ามีโอกาสได้รับตัวอ่อนพยาธิมากกว่า

ในความเป็นจริง การควบคุมการเพรรรระบาดของพยาธิในกลุ่มนี้ทำได้ค่อนข้างยาก เนื่องจากไส้เดือนที่เกี่ยวข้องกับพยาธิในกลุ่มนี้ส่วนใหญ่อาศัยอยู่ในทะเลและยังมีหลายชนิดอีกด้วย และทะเลนั้นเป็นระบบนิเวศน์ที่มีขนาดใหญ่จึงทำให้ยากแก่การควบคุม แต่สามารถลดอัตราความชุกและความหนาแน่นของการติดเชื้อพยาธิชนิดนี้ได้ โดยให้ความรู้เกี่ยวกับพยาธิและให้สุขศึกษาแก่ประชาชนโดยเผยแพร่อง่ายยิ่งเกี่ยวกับการบริโภคปลา ควรทำให้สุกก่อนนำมารับประทาน และชาวประมงเมื่อจับปลาหรือสัตว์ทะเลได้ ควรตัดหัวปลาและเอาลำไส้ออกก่อนแล้วจึงแช่เย็นหรือก่อนบรรจุเป็นอาหารกระป๋อง ซึ่งวิธีนี้จะเป็นการป้องกันตัวอ่อนของพยาธิที่อาจมีการใช้จากลำไส้เข้าไปอยู่ในกล้ามนื้อของปลา ส่วนหัวและลำไส้ของปลาควรต้มให้สุกหรือทำลาย อีกทั้งควรตรวจสอบว่าได้อีก (Van Thiel et al., 1960) ซึ่งความรู้นี้จะเป็นประโยชน์ต่อประชาชนที่บริโภคปลาเป็นอาหาร และชาวประมง รวมทั้งผู้ที่มีอาชีพที่เกี่ยวข้องกับการส่งออกปลา ทั้งที่อยู่ในเขตตำบลอ่างศิลา จังหวัดชลบุรี และแหล่งอื่นที่มีอาณาเขตติดต่อกับทะเลด้วย

## สรุปผลการวิจัย

1. การศึกษายานิดและเบอร์เช่นต์ของพยาธิ *Anisakis sp.* ในปลาจวดและปลาจวดหนวด ชนิดละ 120 ตัว พับพยาธิระยะตัวเต็มวัยที่มีลักษณะคล้ายพยาธิในกลุ่ม *Anisakis sp.* เพียงชนิดเดียวในปลาทั้ง 2 ชนิด ซึ่งพบพยาธิทั้งหมด 91 ตัวในปลาจวด แยกเป็นเพศผู้ 7.69% เพศเมีย 92.31% และพบพยาธิ ทั้งหมด 405 ตัวในปลาจวดหนวด แยกเป็นเพศผู้ 16.54% เพศเมีย 83.46%

2. การศึกษาการกระจายของพยาธิ *Anisakis sp.* ในอวัยวะภายในของปลาจวดและปลาจวดหนวด พบพยาธิระยะตัวเต็มวัยที่มีลักษณะคล้ายพยาธิในกลุ่ม *Anisakis sp.* กระจายอยู่ทุกส่วนของอวัยวะภายใน ที่ทั่วไปเรียกว่า โดยในปลาจวดตรวจพบพยาธิมากที่สุดที่ลำไส้ รองลงมาเป็นตับ กระเพาะอาหาร ไข่ กระเพาะปัสสาวะ กระเพาะลม คิดเป็น 64.84%, 14.29%, 13.19%, 4.4%, 2.2% และ 1.1% ตามลำดับ ส่วนในปลาจวดหนวดตรวจพบพยาธิมากที่สุดที่ลำไส้ รองลงมาเป็นกระเพาะอาหาร ถุงลม เหือก ตับ และไข่ คิดเป็น 80%, 8.4%, 4.44%, 3.95%, 2.72% และ 0.49% ตามลำดับ

3. การศึกษาความหนาแน่นของการติดเชื้อพยาธิ *Anisakis sp.* ในปลาจวดและปลาจวดหนวด พบความหนาแน่นเฉลี่ยของการติดเชื้อพยาธิระยะตัวเต็มวัยที่มีลักษณะคล้ายพยาธิในกลุ่ม *Anisakis sp.* ทั้งหมดเท่ากับ 2.39 ตัวต่อปลา 1 ตัว และปลาจวดหนวดเท่ากับ 3.86 ตัวต่อปลา 1 ตัว

4. การศึกษาอัตราความชุกของการติดเชื้อพยาธิ *Anisakis sp.* ในปลาจวดและปลาจวดหนวด พบอัตราความชุกของการติดเชื้อพยาธิระยะตัวเต็มวัยที่มีลักษณะคล้ายพยาธิในกลุ่ม *Anisakis sp.* ในปลาจวดหนวดเท่ากับ 31.67% และปลาจวดหนวดเท่ากับ 87.5%

5. การศึกษาความหนาแน่นของการติดเชื้อพยาธิ *Anisakis sp.* ในปลาจวด โดยแบ่งตามน้ำหนักของปลา พนว่าปลาจวดกลุ่มที่มีน้ำหนักระหว่าง 0-40 กรัม กลุ่มนี้มีน้ำหนักระหว่าง 40-80 กรัม และ กลุ่มน้ำหนักมากกว่า 80 กรัม มีความหนาแน่นของการติดเชื้อพยาธิระยะตัวเต็มวัยที่มีลักษณะคล้ายพยาธิในกลุ่ม *Anisakis sp.* เท่ากับ 2.12, 2.25 และ 11 ตัวต่อปลา 1 ตัว ตามลำดับ ส่วนอัตราความชุกของการติดเชื้อพยาธิในกลุ่มที่มีน้ำหนักระหว่าง 0-40 กรัม กลุ่มนี้มีน้ำหนักระหว่าง 40-80 กรัม และ กลุ่มน้ำหนักมากกว่า 80 กรัม มีค่าเท่ากับ 29.41%, 36.36% และ 50% ตามลำดับ สำหรับปลาที่มีน้ำหนักนิ่วความหนาแน่นของการติดเชื้อพยาธิในกลุ่มปลาที่มีน้ำหนักระหว่าง 0-40 กรัม และกลุ่มปลาที่มีน้ำหนักระหว่าง 40-80 กรัม มีค่าเท่ากับ 3.59 และ 7.13 ตัวต่อปลา 1 ตัว ตามลำดับ ส่วนอัตราความชุกของการติดเชื้อพยาธิ ในกลุ่มปลาที่มีน้ำหนักระหว่าง 0-40 กรัม และกลุ่มปลาที่มีน้ำหนักระหว่าง 40-80 กรัม มีค่าเท่ากับ 86.61% และ 100% ตามลำดับ

## ข้อเสนอแนะ

1. ควรมีการศึกษาเพิ่มเติมพยาธิในกลุ่ม *Anisakis* sp. ในปลาทະ Jegnichide กัน แต่ในบริเวณอื่น เช่น ตามชายฝั่งทะเลที่อยู่ห่างไกลออกไป และตามป่าบ้านน้ำต่างๆ เพื่อจะทำให้ทราบถึงความจำเพาะของ ไสส์ต์ต่อพยาธิ (host susceptibility) และอาจทำให้พบพยาธิชนิดต่างๆ ในกลุ่มนี้มากขึ้นด้วย

2. จำนวนของปลาที่นำมาศึกษา ถ้าเพิ่มจำนวนให้มากกว่านี้ จะทำให้ได้ข้อมูลที่มีความ น่าเชื่อถือมากยิ่งขึ้น และควรมีการศึกษาพยาธิชนิดนี้ในปลาทะเลและสัตว์ทะเลชนิดอื่นๆ เช่น ปลาหมึก ถุง ปู ฯลฯ ให้มากกว่านี้ เนื่องจากสัตว์ทะเลเหล่านี้เป็นไสส์ต์ที่เกี่ยวข้องในวงจรชีวิตของ พยาธิ *Anisakis* sp.

3. ควรมีการนำพยาธิทุกตัวมาทำการวัดขนาดความกว้างและความยาว เพื่อจะทำให้ทราบขนาด ของพยาธิที่พบ รวมถึงวัดความยาวและความกว้างขนาดของอวัยวะต่างๆ ในตัวพยาธิ ซึ่งจะเป็นข้อมูล ที่สำคัญในด้านขนาดของพยาธิในกลุ่ม *Anisakis* sp. ในปลาจาดและปลาจวคนวด

4. ควรมีการศึกษาอัตราความชุกของการติดเชื้อพยาธิในแต่ละภูมิภาค ว่าภูมิภาคมีผลต่ออัตราการ ติดเชื้อพยาธิหรือไม่

5. น่าจะมีการศึกษารูปร่างลักษณะของพยาธิ โดยกล้องจุลทรรศน์อิเลคตรอนแบบส่องกราด และ กล้องจุลทรรศน์อิเลคตรอนแบบส่องผ่าน ซึ่งจะทำให้มองเห็นรายละเอียดและลักษณะความแตกต่างของ พยาธิที่รวมรวมได้ และอวัยวะที่สำคัญได้ชัดเจนมากยิ่งขึ้น

6. ในกรณีที่ต้องการศึกษาเกี่ยวกับขนาดปลาว่ามีผลต่อกลุ่มความหนาแน่นและอัตราความชุกของการ ติดเชื้อพยาธิหรือไม่ ควรนำไปที่มีขนาดแตกต่างกันมาศึกษา โดยทำการจัดแบ่งกลุ่มตามขนาดของปลา ที่น่าจะเป็นแต่ละกลุ่มจะต้องมีขนาดใกล้เคียงกัน มีจำนวนเท่ากัน และมีจำนวนที่มากพอ เพื่อให้สามารถ นิ่งไม่เปรียบเทียบกันได้ จึงจะสามารถสรุปข้อมูลที่เกี่ยวกับขนาดของปลาได้

7. ควรทำการศึกษาในระดับชีววิทยาโมเลกุล เพื่อที่จะเปรียบว่าเป็นพยาธิในกลุ่ม *Anisakis* sp. ชนิดใด เนื่องจาก การศึกษาจัดในครั้งนี้พยาธิระยะตัวตีนวัยในปลาทะเล ซึ่งระยะตัวตีนวัยโดยปกติ จะพับในสัตว์ทะเลที่เลี้ยงสูกด้วยนม เช่น ปลาพาฟ และปลาโลมา

## เอกสารอ้างอิง

- กนกธร ปิยธรรมรัตน์. (2546). *เนื้อเยื่ออวัยวะ*. กรุงเทพฯ : ไอ.เอส. พรินติ้ง เอเชีย.
- ประชุม ระคมยศ อัญชลี ตั้งตรงจิต ศรีษฐ หลุยวิริย์สุวรรณ และแทน องศุขับสิทธิ์. (2540). *Atlas of medical parasitology with 456 colour illustrations*. กรุงเทพฯ : ที.พี.พรินท์.
- วิชัย ใจนันท์ และพีพรรณ ตันอารีบี. (2546). *ปรัสดิวิทยาทางการแพทย์*. กรุงเทพฯ :
- ศักดิ์ไสวการพิมพ์.
- คุ่น เกียรติวุฒิ และคณะ. (2546). หนอนพยาธิตัวกลมและการติดเชื้อหนอนพยาธิตัวกลม. กรุงเทพฯ :
- สำนักพิมพ์จุฬาลงกรณ์มหาวิทยาลัย.
- Abollo E, Gestal C, and Pascual S. (2001). Anisakis infestation in marine fish and cephalopods from Galician waters : an updated perspective. *Parasitol Res*, 87, 492-499.
- Abollo E, and Pascual S. (2002). SEM study of *Anisakis brevispiculata* Dollfus, 1966 and *Pseudoterranova ceticola* (Deardorff and Overstreet, 1981) (Nematoda:Anisakidae), parasites of the pygmy sperm whale *Kogia breviceps*. *Sci. Mar*, 66 (3), 249-255.
- Aihara Y. (1973). Morphological studies on *Anisakis* larvae type I. *Sosaka city Med Center*, 22, 193-235.
- Bhaibulaya M. (1981). Ascaridoid nematode larvae in marine fishes from The gulf of Thailand. *Tropical medicine of Parasitology*, 12, 590-594.
- Cabrera BD. (1968). Anisakiasis will it become a public health problem in Philippines. *Acta Med Phil*, 4, 214-218.
- Crofton HO. (1966). Nematodes. *Hutchinson University Library*. London.
- Croll NA. (1970). The Behaviour of Nematodes. *Edward Arnold*. London.
- Deardorff TL, Fukumura T, and Raybourne RB. (1986). Invasive anisakiasis. A case report from Hawaii. *Gastroenterology*, 90, 1047-1050.
- Gibson DI. (1983). The systematics of ascaridoid nematode. *AF Platt HM*, 22, 321-338.
- Gorgia L. (2001). Diagnostic Medical Parasitology. *Washington D.C.*, 322-324.
- Hemsrichart V. (1993). Intestinal anisakiasis : frist reported case in Thailand. *Ministry of Public Health, Bangkok, Thailand*, 76(2), 177-210.
- Hong-wei MA, Tai-Jiang JIANG, et.al. (1997). The infection status of *anisakis* larva in marine fish and cephalopods from the Bohai sea. China and their taxonomical consideration. *The Korean Journal of Parasitology*, 35, 19-24.

- Ishikura H, and Namiki M. (1989). Gastric Anisakiasis in Japan (Epidemiology, Diagnosis, Treatment). *Springer-Verlag Tokyo Berlin Heidelberg New York London Paris.*
- Ishikura H. (1992). Multigenerous migration of Anisaidae larvae into the human bodies especially on the morphology and histopathology of *Hysterothycium aduncum*. *JPN J Parasitol*, 41(1), 64.
- Ishikura H. (1993). Anisakidae and anisakidesis. *Sun T Progress in Medical Parasitology New York.*
- Koyama T, Kabayashi A, Kumada M, et.al. (1969). Morphological and taxonomical studies on Anisakidae larvae found in marine fishes and squid. *JPN J Parasitol*, 18, 466-487.
- Koyama T, et.al. (1972). *Terranova* (Nematoda : Anisakidae) infection in man and Morphological feature of *Terranova* sp. Larva found in human stomach wall. *Jpn T Parasitol*, 21, 257-261.
- Koyama T, et.al. (1982). Current problems on anisakiasis. *Modern media*, 28, 434-443.
- Lee JJ. (1965). Physiology of nematode. *London.*
- Little MD, and Most H. (1973). Anisakid larva from the throat of a women in New York. *Am J Trop Med Hyg*, 22, 609-612.
- McCelland G, Misa RK, and Martell DJ.(1985). Variations in abundance of larval anisakines sealworm (*Pseudoterranova decipiens*) and related species, in eastern Canadian and cod and flatfish. *Can Tech Rep Fish Aquat Sci*, 1398, 57.
- McKerrow JH. (1998). Anisakiasis. *Clin Microbial Rev*, 2, 278-284.
- Mercado P, Torres P, and Munoz V. (2001). Human infection by *Pseudoterranova decipiens* (Nematoda, Anisakidae) in Chile : Report of Seven Case. *Mem inst Oswaldo cruz. Rio de Janeiro*, 96 (5), 653-655.
- Oshima T. (1972). Anisakis and anisakiasis in Japan and adjacent area. *Progress of medical parasitology in Japan*, 4, 301-393.
- Peptidase of *Anisakis simplex*. (2003). Retrieved December 29, 2003 from <http://merops.sanger.ac.uk/specards/peptidase/spo00058.html>
- PinKus GS. & Little, MD. (1975). Intestinal anisakiasis : First case report from North America. *Am T Trop Med Hyg*, 59, 114-116.
- Sithithaworn P. (2001). Laboratory manual for detection and Identification of parasite fisherey products prepared for FAO and Export quanlity control laboratory.

- Tropical medicine of parasitology*, 7, 15-18.
- Smith JW, Wootten R. (1975). Experimental studies on the migration of *Anisakis* sp. Larvae (Nematoda : Ascaridida) in herring, *Clupea harengus*. *L. Int J parasitol*, 5, 133-136.
- Stityathai A. (1976). Studies on the *Anisakis* type 1 larva from *Priacanthus taten*. *Tropical medicine of Parasitology*, 5, 20-23.
- Van Thiel PH, et.al. (1960). A Nematode parasitic to herring, causing acute abdominal syndromes. *M Trop Geogr Med*, 2, 97-113.
- Van Thiel PH. (1962). Anisakiasis. *Parasitology*, 52, 16-17.
- Van Thiel PH. (1966). The final hosts of the herring worm *Anisakis marina*. *Trop Geogr Med*, 18, 310-28.
- Van Thiel PH, and Van Houtch H. (1967). The localization of the herringworm *Anisakis marina* in and outside the human gastrointestinal wall. *Trop Geogr Med*, 19, 56-62.
- Yamakuchi S. (1981). Systema Helminthum 3 The nematodes of vertebrates. *Interscience New York*, 1-126.
- Yokogawa M. and Yoshimura H. (1967). Clinico pathologic studies on larval anisakiasis in Japan. *Am J Trop Hyg*, 19, 723-728.

ภาควิชานวัตกรรม

มหาวิทยาลัยบูรพา  
Burapha University

ภาคผนวก ก  
การเตรียมสารเคมี

1. การเตรียม Pepsin solution ประกอบด้วย

Pepsin powder	2.5	กรัม
Sodium chloride	8.5	กรัม
Hydrochloric acid	10	มิลลิลิตร
น้ำกลั่น	1,000	มิลลิลิตร

2. การเตรียม 0.85% saline solution ประกอบด้วย

Sodium chloride	8.5	กรัม
น้ำกลั่น	1,000	มิลลิลิตร

3. การเตรียม 70% ethanol ประกอบด้วย

Ethanol	700	มิลลิลิตร
น้ำกลั่น	1,000	มิลลิลิตร

4. การเตรียม Semichon's acetic carmine ประกอบด้วย

glacial acetic acid ( $\text{CH}_3\text{COOH}$ )	100	มิลลิลิตร
น้ำกลั่น	100	มิลลิลิตร
carmine powder (Acros organics, USA)	5	กรัม

วิธีเตรียม

- ค่อนๆ เติมกรด acetic acid ลงในน้ำกลั่น
- เติมผง carmine ลงไว้
- นำไปใส่ water bath อุ่นให้ร้อนจนถึงอุณหภูมิ 95-100 องศาเซลเซียส นานประมาณ 5 นาที
- ตั้งทิ้งไว้ให้เย็น แล้วกรองด้วยกระดาษกรอง เก็บไว้ในขวดทึบปิดสนิท
- ถ้าต้องการใช้จะต้องทำให้เจือจากด้วย 70% alcohol ในอัตราส่วน 1:1

5. การเตรียม acid alcohol

70% alcohol	99	มิลลิลิตร
hydrochloric acid	1-5	มิลลิลิตร

ภาคผนวก ข  
การวิเคราะห์ข้อมูล

1. เปอร์เซนต์ของพยาธิในปลา = (จำนวนพยาธิแต่ละชนิดในปลา / จำนวนพยาธิในกลุ่มทั้งหมดในปลา) X 100

ให้  $X$  = จำนวนพยาธิแต่ละชนิดในปลา (ตัว)

$Y$  = จำนวนพยาธิในกลุ่มทั้งหมดในปลา (ตัว)

สูตร =  $(X/Y) \times 100$

**ตารางผนวกที่ 1** แสดงจำนวนพยาธิที่พบในปลาจาด และวิธีการคำนวณเป็นเปอร์เซนต์

พยาธิ	จำนวนพยาธิที่พบ (ตัว)	เปอร์เซนต์ (%)
เพศผู้	7	$7/91 \times 100 = 7.69$
เพศเมีย	84	$84/91 \times 100 = 92.31$
รวม	91	100

**ตารางผนวกที่ 2** แสดงจำนวนพยาธิที่พบในปลาจาดหนวด และวิธีการคำนวณเป็นเปอร์เซนต์

พยาธิ	จำนวนพยาธิที่พบ (ตัว)	เปอร์เซนต์ (%)
เพศผู้	67	$67/405 = 16.54$
เพศเมีย	338	$338/405 = 83.46$
รวม	405	100

2. เปอร์เซนต์การกระจายของพยาธิในอวัยวะภายในของปลา = (จำนวนพยาธิแต่ละชนิดที่พบในอวัยวะต่างๆ ของปลา / จำนวนพยาธิในกลุ่มทั้งหมดในปลา) X 100

ให้ X = จำนวนพยาธิแต่ละชนิดที่พบในแต่ละอวัยวะของปลา (ตัว)

Y = จำนวนพยาธิในกลุ่มทั้งหมดในปลา (ตัว)

สูตร =  $(X/Y) \times 100$

**ตารางผนวกที่ 3** แสดงจำนวนพยาธิที่พบในอวัยวะภายในแต่ละส่วนของปลา และวิธีการคำนวณหาเปอร์เซนต์การกระจายตัวของพยาธิ *Anisakis sp.* ในอวัยวะของปลาจุกและปลาจุดหนวด

อวัยวะ	พยาธิที่พบในปลาจุด		พยาธิที่พบในปลาจุดหนวด	
	จำนวน (ตัว)	เปอร์เซนต์ (%)	จำนวน (ตัว)	เปอร์เซนต์ (%)
เหงือก	2	$2/91 \times 100 = 2.2$	16	$16/405 \times 100 = 3.95$
ตับ	13	$13/91 \times 100 = 14.29$	11	$11/405 \times 100 = 2.72$
กระเพาะอาหาร	12	$12/91 \times 100 = 13.19$	34	$34/405 \times 100 = 8.4$
ลำไส้	59	$59/91 \times 100 = 64.84$	324	$324/405 \times 100 = 80$
ถุงลม	1	$1/91 \times 100 = 1.1$	18	$18/405 \times 100 = 4.44$
ไข่	4	$4/91 \times 100 = 4.4$	2	$2/405 \times 100 = 0.49$
รวม	91	100	405	100

3. ความหนาแน่นของการติดเชื้อพยาธิในปลา = จำนวนพยาธิแต่ละชนิดในปลา / จำนวนปลาที่มีพยาธิชนิดนั้นๆ

ให้  $X$  = จำนวนพยาธิแต่ละชนิดในปลา

$Y$  = จำนวนปลาที่มีพยาธิชนิดนั้นๆ

สูตร =  $X/Y$  (จำนวนพยาธิ (ตัว)/ปลา 1 ตัว)

**ตารางนวกที่ 4** แสดงจำนวนพยาธิที่พบ จำนวนปลาที่ติดเชื้อพยาธิ และวิธีการคำนวณ  
หาความหนาแน่นของการติดเชื้อพยาธิในปลาจรวดและปลาจวดหนวด

ชนิดปลา	จำนวนพยาธิที่พบ (ตัว)	จำนวนปลาที่มีพยาธิ (ตัว)	ความหนาแน่นของ การติดเชื้อพยาธิ (ตัว/ปลา 1 ตัว)
ปลาจรวด	91	38	$91/38 = 2.39$
ปลาจวดหนวด	405	105	$405/105 = 3.86$

4. อัตราความชุกของการติดเชื้อพยาธิในปลา = (จำนวนปลาที่มีพยาธิแต่ละชนิด / จำนวนปลาทั้งหมดที่สำรวจ) X 100

ให้  $X$  = จำนวนปลาที่มีพยาธิแต่ละชนิด

$Y$  = จำนวนปลาทั้งหมดที่สำรวจ = 120 ตัว

สูตร =  $(X/Y) \times 100$

**ตารางนวกที่ 5** แสดงจำนวนปลาจacula และปลาจacula ที่ติดเชื้อพยาธิ และวิธีการคำนวณ  
หาอัตราความชุกของการติดเชื้อ

ชนิดปลา	จำนวนปลาที่ ติดเชื้อพยาธิ (ตัว)	อัตราความชุกของ การติดเชื้อ (%)
ปลาจacula	38	$38/120 \times 100 = 31.67$
ปลาจacula หนวด	105	$105/120 \times 100 = 87.5$

**ตารางผนวกที่ 6** แสดงจำนวนปลาที่นำมาศึกษา จำนวนปลาที่ติดเชื้อพยาธิ จำนวนพยาธิที่พบ และวิธีการคำนวณหาความหนาแน่นของการติดเชื้อพยาธิ และอัตราความชุกของการติดเชื้อพยาธิในปลาจวด โดยแบ่งตามน้ำหนักของปลา

น้ำหนัก (กรัม)	จำนวนปลา ที่นำมาศึกษา (ตัว)	จำนวนปลา ที่ติดเชื้อพยาธิ (ตัว)	จำนวนพยาธิ ที่พบ (ตัว)	ความหนาแน่นของ การติดเชื้อพยาธิ (ตัว/ปลา 1 ตัว)	อัตราความชุกของ การติดเชื้อพยาธิ (%)
0-40	85	25	53	$53/25 = 2.12$	$25/85 \times 100 = 29.41$
>40-80	33	12	27	$27/12 = 2.25$	$12/33 \times 100 = 36.36$
>80	2	1	11	$11/1 = 11$	$1/2 \times 100 = 50$
รวม	120	38	91	$91/38 = 2.39$	$38/120 \times 100 = 31.67$

**ตารางผนวกที่ 7** แสดงจำนวนปลาที่นำมาศึกษา จำนวนปลาที่ติดเชื้อพยาธิ จำนวนพยาธิที่พบ และวิธีการคำนวณหาความหนาแน่นของการติดเชื้อพยาธิ และอัตราความชุกของการติดเชื้อพยาธิในปลาจวด โดยแบ่งตามน้ำหนักของปลา

น้ำหนัก (กรัม)	จำนวนปลา ที่นำมาศึกษา (ตัว)	จำนวนปลา ที่ติดเชื้อพยาธิ (ตัว)	จำนวนพยาธิ ที่พบ (ตัว)	ความหนาแน่นของ การติดเชื้อพยาธิ (ตัว/ปลา 1 ตัว)	อัตราความชุกของ การติดเชื้อพยาธิ (%)
0-40	112	97	348	$348/97 = 3.59$	$97/112 \times 100 = 86.61$
>40-80	8	8	57	$57/8 = 7.13$	$8/8 \times 100 = 100$
รวม	120	105	405	$405/105 = 3.86$	$105/120 \times 100 = 87.5$

**ภาคผนวก ค**

**ข้อมูลทั่วไปของป่าและจำนวนพยาธิที่พบในอวัยวะภายในของป่าจุดและป่าจุดหนวด  
ในตำบลอ่างศิลา จังหวัดชลบุรี**

**ตารางผนวกที่ 8 แสดงข้อมูลทั่วไปของป่าและจำนวนพยาธิที่พบในอวัยวะภายในของป่าจุด**

ลำดับที่	ข้อมูลทั่วไปของป่า			จำนวนพยาธิที่พบในอวัยวะภายใน									
	ผู้คน (กรัม)	ความยาว (ซ.ม.)	ความกว้าง (ซ.ม.)	หนังอก	ตัน	กระเพาะ	อหาร	ล้อไส้	ถุงลม	ไข่	รวม	เพศผู้ (ตัว)	เพศเมีย (ตัว)
1	36	14.4	3.7	-	-	1	20	-	-	-	3	0	3
2	35	15.5	3	-	-	-	1	6	-	-	1	0	1
3	33	15.3	3	-	-	-	-	-	1	-	1	0	1
4	27.5	14.2	2.8	-	-	-	-	-	-	-	0	0	0
5	21.9	11.9	3	-	-	-	-	-	-	-	0	0	0
6	20.74	11.5	3	-	-	-	-	-	-	-	0	0	0
7	18.6	12.4	2.9	-	-	-	-	1	-	-	1	0	1
8	17.75	11	2.9	-	-	-	-	-	-	-	0	0	0
9	41	14.9	4	-	-	-	-	1	-	-	1	0	1
10	27	13.2	3.5	-	-	-	-	-	-	-	0	0	0
11	82.5	20.5	4.7	-	-	-	-	-	-	-	0	0	0
12	30	13	3.7	-	-	-	-	-	-	-	0	0	0
13	27.5	12.7	3.2	-	-	-	-	-	-	-	0	0	0
14	29	13	3.3	-	-	-	-	-	-	-	0	0	0
15	27	12.5	3.2	-	-	-	-	-	-	-	0	0	0
16	39	14	3.7	-	-	-	-	-	-	-	0	0	0
17	28	12.8	3.5	-	-	-	-	-	-	-	0	0	0
18	93.9	20.3	5.5	-	4	1	6	-	-	-	11	0	11
19	51.1	15.9	4.3	-	-	-	-	-	-	-	0	0	0
20	68.3	17.5	4.8	1	1	-	-	-	-	-	2	0	2
21	45.3	14.3	4.2	-	-	-	-	1	-	-	1	0	1
22	56.6	16.4	4.4	-	-	-	-	-	-	-	0	0	0
23	56.6	15.4	4.4	-	-	-	-	-	-	-	0	0	0
24	61.9	17.5	4.5	-	-	-	-	-	-	-	0	0	0
25	46	14.9	4.1	-	-	-	-	-	-	-	0	0	0
26	45.2	14.5	4.2	-	-	-	-	-	-	-	0	0	0
27	34.9	14.5	3.6	-	-	-	-	-	-	-	0	0	0
28	51.95	17	4.2	-	-	-	-	-	-	-	0	0	0
29	37.79	15.9	3.6	-	-	-	-	-	-	-	0	0	0

ตารางผนวกที่ 8 แสดงข้อมูลทั่วไปของปลาและจำนวนพยาธิที่พบในอวัยวะภายในของปลาจาด (ต่อ)

ข้อมูลทั่วไปของปลา				จำนวนพยาธิที่พบในอวัยวะภายใน									
ลำดับที่	น้ำหนัก (กรัม)	ความยาว (ซ.ม.)	ความกว้าง (ซ.ม.)	เหงือก	ตับ	กระเพาะ	อาหาร	ล้าสี	ถุงลม	ไข่	รวม	เพศผู้ (ตัว)	เพศเมีย (ตัว)
30	39.74	15.5	3.8	-	-	-	-	-	-	-	0	0	0
31	64.9	19.5	4	-	-	-	-	-	-	-	0	0	0
32	34.5	15.7	3.8	-	-	-	-	2	-	-	2	0	2
33	57.18	17.5	3.7	1	-	-	-	-	-	-	1	0	1
34	64.16	18.8	4.1	-	-	-	-	-	-	-	0	0	0
35	52.84	17.2	3.8	-	-	-	-	-	-	4	4	2	2
36	49.74	17.3	3.7	-	-	-	-	-	-	-	0	0	0
37	43.4	16.7	4	-	-	-	-	2	-	-	2	0	2
38	55.69	17.8	4	-	-	-	-	-	-	-	0	0	0
39	55.8	18	4	-	-	-	-	-	-	-	0	0	0
40	43.43	17	3.7	-	-	-	-	-	-	-	0	0	0
41	27.25	14	3.2	-	-	-	-	3	-	-	3	1	2
42	35.31	15.6	3.6	-	-	-	-	3	-	-	3	0	3
43	30.62	14.9	3.2	-	-	-	-	-	-	-	0	0	0
44	39.67	15.6	3.6	-	-	-	-	-	-	-	0	0	0
45	47.83	16.2	3.8	-	-	-	-	-	-	-	0	0	0
46	45.38	16.3	3.8	-	-	-	-	-	-	-	0	0	0
47	33.09	15.4	3.1	-	-	-	-	1	-	-	1	0	1
48	53.63	16	4.2	-	-	-	-	1	-	-	1	0	1
49	36.46	15.7	3.6	-	-	-	-	-	-	-	0	0	0
50	40.74	16.4	3.4	-	2	-	-	-	-	-	2	0	2
51	55.15	17	3.8	-	-	-	-	-	-	-	0	0	0
52	41.94	16	3.4	-	-	-	-	-	-	-	0	0	0
53	42.33	15.7	3.5	-	-	-	-	-	-	-	0	0	0
54	33.03	15	3.2	-	-	-	-	-	-	-	0	0	0
55	39.99	16	3.8	-	-	-	-	-	-	-	0	0	0

ตารางผนวกที่ 8 แสดงข้อมูลทั่วไปของปลาและจำนวนพยาธิที่พบในอวัยวะภายในของปลาจาด (ต่อ)

ลำดับที่	ข้อมูลทั่วไปของปลา			จำนวนพยาธิที่พบในอวัยวะภายใน								
	น้ำหนัก (กรัม)	ความยาว (ซ.ม.)	ความกว้าง (ซ.ม.)	เหงือก	ตับ	กระเพาะอาหาร	ลำไส้	ถุงลม	ไข่	รวม	เพศผู้ (ตัว)	เพศเมีย (ตัว)
61	16.9	10.9	3	-	-	-	4	-	-	4	1	3
62	39.8	15.1	4	-	-	-	-	-	-	0	0	0
63	41	15.3	3.8	-	-	-	-	-	-	0	0	0
64	31.3	14.6	3.7	-	-	4	-	-	-	4	1	3
65	20.3	12.4	3	-	2	-	1	-	-	3	0	3
66	34.5	14.5	3.8	-	-	-	-	-	-	0	0	0
67	49	16.4	4.6	2	-	-	6	-	-	8	0	8
68	29.4	13.7	3.5	-	-	-	-	-	-	0	0	0
69	26.1	13.3	3.3	-	-	-	-	-	-	0	0	0
70	27.8	12.8	3.5	-	-	-	-	-	-	0	0	0
71	14.9	10.4	2.8	-	-	-	1	-	-	1	0	1
72	18.4	11.8	3.1	-	-	-	-	-	-	0	0	0
73	14.4	11.4	2.7	-	-	-	-	-	-	0	0	0
74	35.6	14.3	3.8	-	-	-	-	-	-	0	0	0
75	27.8	13.3	3.4	-	-	-	-	-	-	0	0	0
76	12.1	10.2	2.6	-	-	-	-	-	-	0	0	0
77	19	12.1	3.3	-	-	-	-	-	-	0	0	0
78	22.7	12.8	3.2	-	-	1	-	-	-	1	0	1
79	15.9	10.7	3.9	-	-	-	-	-	-	0	0	0
80	27.3	13.3	3.3	-	-	-	-	-	-	0	0	0
81	28.4	12.7	3.3	-	-	-	-	-	-	0	0	0
82	12.8	10.7	2.7	-	-	-	4	-	-	4	0	4
83	16.1	11.7	2.8	-	-	-	-	-	-	0	0	0
84	41.4	15.4	4	-	-	-	-	-	-	0	0	0
85	15.9	11	2.8	-	-	-	-	-	-	0	0	0

ตารางผนวกที่ 8 แสดงข้อมูลทั่วไปของปลาและจำนวนพยาธิที่พบในอวัยวะภายในของปลาจาด (ต่อ)

ลำดับที่	ข้อมูลทั่วไปของปลา			จำนวนพยาธิที่พบในอวัยวะภายใน									
	น้ำหนัก (กรัม)	ความยาว (ซ.ม.)	ความกว้าง (ซ.ม.)	เหงือก	ตัน	กระเพาะ	อาหาร	ลำไส้	ถุงลม	ไข่	รวม	เพศผู้ (ตัว)	เพศเมีย (ตัว)
86	17.7	11.6	3.8	-	-	-	-	-	-	-	0	0	0
87	26.2	13.3	3.4	-	-	-	-	-	-	-	0	0	0
88	33.3	14.7	4	-	-	-	-	1	-	-	1	0	1
89	30.6	13.5	3.4	-	-	-	-	-	-	-	0	0	0
90	10.7	10.4	3.3	-	-	-	-	-	-	-	0	0	0
91	24.8	13.2	3.2	-	-	-	-	-	-	-	0	0	0
92	31.2	14.4	3.6	-	-	-	-	-	-	-	0	0	0
93	24.5	13	3.4	-	-	-	-	-	-	-	0	0	0
94	22.8	12.5	3.2	-	-	-	-	-	-	-	0	0	0
95	21.6	13	3.1	-	-	-	-	-	-	-	0	0	0
96	15	11.5	2.9	-	-	-	-	1	-	-	1	0	1
97	14.4	11.2	3.9	-	-	-	-	-	-	-	0	0	0
98	23.7	13	3.3	-	-	-	-	-	-	-	0	0	0
99	23.2	13	3.3	-	-	-	-	3	-	-	3	0	3
100	20.1	13	3.1	-	-	-	-	-	-	-	0	0	0
101	27.3	13	3.5	-	-	-	-	-	-	-	0	0	0
102	14.5	11.5	2.7	-	-	2	1	-	-	-	3	0	3
103	15.9	12	2.9	-	-	-	-	-	-	-	0	0	0
104	37.7	15.5	4	-	-	-	-	3	-	-	3	0	3
105	25.2	13.7	3.5	-	-	-	-	-	-	-	0	0	0
106	20.3	13.2	2.9	-	-	-	-	-	-	-	0	0	0
107	24.5	12.8	3.4	-	-	-	-	-	-	-	0	0	0
108	29.3	14	3.6	-	-	-	-	-	-	-	0	0	0
109	24.5	13.5	3.5	-	-	-	-	-	-	-	0	0	0
110	18.6	11.6	3.1	-	-	-	-	-	-	-	0	0	0

**ตารางผนวกที่ 8 แสดงข้อมูลทั่วไปของปลาและจำนวนพยาธิที่พบในอวัยวะภายในของปลาจาจุก (ต่อ)**

ลำดับที่	ข้อมูลทั่วไปของปลา			จำนวนพยาธิที่พบในอวัยวะภายใน									
	น้ำหนัก (กรัม)	ความยาว (ซ.ม.)	ความกว้าง (ซ.ม.)	เหงือก	ดัน	กระเพาะอาหาร	ลำไส้	ถุงลม	ไข่	รวม	เพศผู้ (ตัว)	เพศเมีย (ตัว)	
111	41.2	15.5	4.2	-	-	-	3	-	-	3	1	2	
112	28.9	14.2	3.8	-	-	-	1	-	-	1	0	1	
113	32.6	15	4.1	-	-	-	1	-	-	1	0	1	
114	15.6	12.5	3.2	-	-	-	1	-	-	1	0	1	
115	26	14	3.5	-	-	-	1	-	-	1	0	1	
116	19	13	3.4	-	-	-	-	-	-	0	0	0	
117	42.6	16	4.2	-	-	-	1	-	-	1	0	1	
	21.5	12.5	3.4	-	-	-	-	-	-	0	0	0	
	49.8	16.5	4.9	-	-	-	1	-	-	1	0	1	
	22.7	12.5	3.6	-	-	-	-	-	-	0	0	0	
ผลรวม	33.41708333	14.2075	3.5575	2	13	12	59	1	4	91	7	84	

ตารางผนวกที่ 9 แสดงข้อมูลทั่วไปของปลาและจำนวนพยาธิที่พบในอวัยวะภายในของปลาจัดหนวด

ลำดับที่	ข้อมูลทั่วไปของปลา			จำนวนพยาธิที่พบในอวัยวะภายใน									
	น้ำหนัก (กรัม)	ความยาว (ซ.ม.)	ความกว้าง (ซ.ม.)	เหงือก	ตับ	กระเพาะ	อาหาร	ล่าไส้	ถุงลม	ปีก	รวม	เพศผู้ (ตัว)	เพศเมีย (ตัว)
1	34.4	13.5	3.7	-	-	-	-	-	-	-	0	0	0
2	26.5	12.8	3.3	-	-	-	-	2	-	-	2	0	2
3	24.5	12.5	3.1	-	-	-	-	-	-	-	0	0	0
4	24.2	12.7	3.1	-	-	-	-	1	-	-	1	0	1
5	23.8	12.5	2.7	-	-	-	-	1	-	-	1	0	1
6	21.5	11.8	3.2	2	-	-	-	1	-	-	3	1	2
7	21.4	11.5	3	-	-	-	-	2	-	-	2	0	2
8	21.2	12.2	2.9	-	-	-	-	-	-	-	0	0	0
9	20.6	11.5	2.8	-	1	-	-	7	-	-	8	2	6
10	18.4	11.3	2.6	-	-	-	-	1	-	-	1	0	1
11	18.2	11	2.9	-	-	-	1	-	-	-	2	0	2
12	17	11	2.8	-	-	-	-	-	-	-	0	0	0
13	27.3	12.5	3	-	-	-	-	1	-	-	1	0	1
14	32.2	13.3	3.4	-	-	-	-	-	-	-	0	0	0
15	30.1	13.3	3.2	-	-	-	-	1	-	-	1	0	1
16	23	12	3	-	-	-	-	1	-	-	1	1	0
17	21.7	11.9	3	-	-	-	-	-	-	-	0	0	0
18	21.4	11.8	2.8	-	-	-	-	3	-	-	3	0	3
19	17.2	11.6	3	-	-	-	-	8	-	-	8	0	8
20	23.4	12	3	-	-	-	-	5	-	-	5	2	3
21	20	11.7	2.8	-	-	-	-	3	-	-	3	0	3
22	23	12	3	-	-	-	-	-	-	-	0	0	0
23	32.5	13.8	3.8	-	-	1	1	-	-	-	2	0	2
24	25	13.8	3.2	-	-	-	-	2	-	-	2	2	0
25	21	12.6	3.1	-	-	-	-	1	-	-	1	0	1

ตารางผนวกที่ 9 แสดงข้อมูลทั่วไปของปลาและจำนวนพยาธิที่พบในอวัยวะภายในของปลาจวบหนวด  
(ต่อ)

ลำดับที่	ข้อมูลทั่วไปของปลา			จำนวนพยาธิที่พบในอวัยวะภายใน									
	น้ำหนัก (กรัม)	ความยาว (ซ.ม.)	ความกว้าง (ซ.ม.)	เหงือก	ตัน	กระเพาะ	อาหาร	สำไส้	ถุงลม	ไข่	รวม	เพศผู้ (ตัว)	เพศเมีย (ตัว)
26	29	12.8	3.9	-	-	-	-	2	-	-	2	0	2
27	45	14.4	4.1	3	-	1	-	-	-	-	4	0	4
28	45	14.7	4	-	1	-	-	6	-	-	7	4	3
29	45	14.8	4.2	-	-	-	-	9	1	-	10	3	7
30	20	12.5	3.2	-	1	-	-	-	-	-	1	0	1
31	20	12.5	3.4	-	-	1	-	6	-	-	7	0	7
32	32	13.8	3.5	-	1	-	-	2	-	-	3	0	3
33	39	14.2	3.7	-	-	-	-	4	-	-	4	0	4
34	37	13	3.5	-	-	-	-	2	-	-	2	0	2
35	33.2	13.5	3.7	-	1	-	-	6	-	1	8	0	8
36	35	14.3	3.7	-	1	1	-	-	-	-	2	0	2
37	39	14.9	3.9	-	-	3	2	-	-	-	5	1	4
38	36.2	14.5	3.7	1	1	1	-	1	-	-	4	0	4
39	40.3	14.4	4.1	-	1	1	-	7	2	-	11	6	5
40	44.6	14.8	4.5	-	-	2	6	-	-	-	8	3	5
41	48.8	15.8	4.1	-	-	-	-	5	1	-	6	0	6
42	35	14.8	3.8	-	-	-	-	-	-	-	0	0	0
43	36.4	14.5	3.5	-	1	-	-	8	1	-	10	0	10
44	27.3	13.2	3.6	-	-	-	-	1	-	-	1	0	1
45	23.4	13	3.6	-	-	-	-	2	2	-	4	1	3
46	31.5	14	4.3	-	-	2	4	-	-	-	6	0	6
47	14.6	11	3.1	1	-	-	-	1	1	-	3	0	3
48	19.8	13	3.2	-	-	-	-	9	-	-	9	3	6
49	8.7	9.7	2.7	-	-	-	-	3	-	-	3	0	3
50	20.6	12	3.4	-	-	-	-	1	-	-	1	0	1

ตารางผนวกที่ 9 แสดงข้อมูลทั่วไปของป่าและจำนวนพยาธิที่พบในอวัยวะภายในของป่าจุดหนวด  
(ต่อ)

ลำดับที่	ข้อมูลทั่วไปของป่า			จำนวนพยาธิที่พบในอวัยวะภายใน									
	น้ำหนัก (กรัม)	ความยาว (ซ.ม.)	ความกว้าง (ซ.ม.)	แท่งออก	ตับ	กระเพาะ อาหาร	ลำไส้	ถุงลม	ไข่	รวม	เพศผู้ (ตัว)	เพศเมีย (ตัว)	
1	26.7	13.5	3.6	-	-	1	4	-	-	5	1	4	
2	25.5	13.1	3.7	-	-	-	5	-	-	5	2	3	
3	24.6	13.3	3.8	-	-	1	7	-	-	8	1	7	
4	12.5	10.4	2.8	-	-	-	3	-	-	3	0	3	
5	25.3	12.8	3.5	2	-	-	7	1	-	10	1	9	
6	14.1	11.2	2.9	-	-	1	-	-	-	1	0	1	
7	29.7	15.3	4	-	-	-	3	-	-	3	1	2	
8	25.4	12.9	3.8	-	-	1	-	-	-	1	0	1	
9	21.8	13.1	3.5	-	-	-	-	-	-	0	0	0	
10	16.4	11.7	3	-	-	-	4	-	-	4	1	3	
11	23.4	12.4	3.4	-	-	1	4	-	-	5	1	4	
12	21.2	12.9	3.4	1	-	-	-	-	-	1	0	1	
13	17.8	11.4	3.3	-	-	-	7	-	-	7	1	6	
14	29.6	13.1	3.4	-	-	-	-	-	-	0	0	0	
15	34.4	15.2	4.1	-	-	-	2	-	-	2	0	2	
16	11.6	11.6	2.5	-	-	-	1	-	-	1	0	1	
17	10.5	10	2.6	-	-	-	1	-	-	1	0	1	
18	19.4	12.2	3.4	-	-	-	-	-	-	0	0	0	
19	17	12.1	3	-	-	-	5	-	-	5	0	5	
20	22.4	13.1	3.4	-	-	1	8	-	-	9	0	9	
21	13.3	11.4	2.7	-	-	-	1	-	-	1	0	1	
22	13	10.5	3.1	-	-	-	2	-	-	2	0	2	
23	12.6	13.2	3.4	-	-	-	-	-	-	0	0	0	
24	25	12.5	3.7	1	-	-	2	-	-	3	0	3	
25	35	14.6	3.9	-	-	-	3	-	1	4	0	4	

ตารางผนวกที่ 9 แสดงข้อมูลทั่วไปของปลาและจำนวนพยาธิที่พบในอวัยวะภายในของปลาจรวดหนวด  
(ต่อ)

ลำดับที่	ข้อมูลทั่วไปของปลา			จำนวนพยาธิที่พบในอวัยวะภายใน									
	น้ำหนัก (กรัม)	ความยาว (ซ.ม.)	ความกว้าง (ซ.ม.)	เหงือก	ตัน	กระเพาะ	อาหาร	ล้าไส้	ถุงลม	ไข่	รวม	เพศ (ตัว)	เพศเมีย (ตัว)
76	45	14.9	4.4	-	-	-	-	9	-	-	9	0	9
	24	12.2	3.3	-	-	-	-	1	-	-	1	0	1
76	28	12.8	3.5	-	-	-	-	3	-	-	3	0	3
79	25	12.4	3.4	-	-	-	-	10	-	-	1	0	1
80	20	11.7	3.3	-	-	-	-	1	-	-	1	0	1
81	30	13.3	3.6	-	-	-	-	4	-	-	4	1	3
	22	12.2	3.4	-	-	-	-	3	-	-	3	1	2
82	26	12.6	3.7	-	-	-	-	4	-	-	4	0	4
	24	12.7	3.8	-	-	-	-	2	-	-	2	0	2
83	33	14.5	3.9	1	1	-	-	-	-	-	2	1	1
86	32.5	13.3	3.7	-	-	-	-	7	-	-	7	1	6
87	12.5	10.7	3	-	-	-	-	5	-	-	5	0	5
	21	12.3	3.2	-	-	-	-	5	-	-	5	2	3
89	26	13	3.5	-	-	-	-	1	1	-	2	0	2
90	22.5	12.3	3.4	-	-	-	-	6	-	-	6	0	6
91	27	13	3.4	-	-	-	-	10	-	-	10	5	5
92	29	13.9	3.7	-	-	-	-	1	5	-	6	1	5
93	22	12.8	2.9	-	-	-	-	1	1	-	2	0	2
94	20.5	13.2	3.8	-	-	2	2	2	-	-	4	1	3
95	22.5	12.5	3.4	-	-	-	-	1	2	-	3	2	1
96	24	12.5	3.5	-	-	-	-	3	-	-	3	1	2
97	21	12.9	3	-	1	-	-	-	-	-	1	0	1
98	57.5	16.4	4.6	-	-	-	-	2	-	-	2	0	2
99	39	14.8	4.1	1	-	-	-	4	-	-	5	2	3
100	37	13.9	4.2	2	-	-	-	3	-	-	5	0	5

ตารางผนวกที่ 9 แสดงข้อมูลทั่วไปของปลาและจำนวนพยาธิที่พบในอวัยวะภายในของปลาจาชหนวด  
(ต่อ)

ลำดับที่	ข้อมูลทั่วไปของปลา			จำนวนพยาธิที่พบในอวัยวะภายใน									
	น้ำหนัก (กรัม)	ความยาว (ซ.ม.)	ความกว้าง (ซ.ม.)	เหงือก	ตับ	กระเพาะ	อวัยวะ	ลิ้นเสี้้	ถุงลม	ไข่	รวม	เพศผู้ (ตัว)	เพศเมีย (ตัว)
101	18	11.9	3.1	-	-	-	2	-	-	2	0	2	
102	34	14.2	3.8	-	-	-	3	-	-	3	1	2	
103	32	14	3.7	-	-	-	-	-	-	0	0	0	
104	28	13.7	3.6	-	-	-	6	1	-	7	4	3	
105	22	12.2	3	-	-	-	1	-	-	1	0	1	
106	24	12.5	3.4	-	-	-	3	-	-	3	0	3	
	26.5	13.3	3.5	1	-	-	2	2	-	5	1	4	
107	23.5	12.5	3.5	-	-	-	1	3	-	4	3	1	
108	26	13.3	3.5	-	-	-	3	-	-	3	0	3	
109	29	12.5	3.7	-	-	5	1	-	-	6	0	6	
110	27.5	12.5	3.6	-	-	-	6	-	-	6	2	4	
111	21	11.5	3.4	-	-	-	3	-	-	3	0	3	
112	29	12.9	3.5	-	-	-	-	-	-	0	0	0	
113	35	13.5	3.8	-	-	-	-	-	-	0	0	0	
114	38	13.9	4.4	-	-	1	3	-	-	4	0	4	
115	32	12.5	3.4	-	-	-	2	-	-	2	0	2	
116	35	14	3.7	-	-	-	3	-	-	3	0	3	
117	26	12.3	3.5	-	-	2	-	-	-	2	0	2	
118	35	14.2	4	-	-	-	2	-	-	2	0	2	
119	39	14.5	4	-	-	-	4	-	-	4	0	4	
หมายเหตุ	26.61916667	12.9075	3.454166667	16	11	34	324	18	2	405	67	338	

### ประวัติย่อของผู้วิจัย

ชื่อ-สกุล	นางสาวประภารรณ เอี่ยมอนันต์
วัน เดือน ปีเกิด	5 เมษายน 2526
สถานที่เกิด	อำเภอเมือง จังหวัดพระนครศรีอยุธยา
ภูมิลำเนา	10/3 หมู่ 4 ต.หอรัตนไชย อ.เมือง จ.พระนครศรีอยุธยา
ประวัติการศึกษา	สำเร็จการศึกษาระดับประถมศึกษาชั้นปีที่ 6 จาก โรงเรียนสุนทรพิทยา จ.พระนครศรีอยุธยา
พ.ศ.2538	สำเร็จการศึกษาระดับมัธยมศึกษาชั้นปีที่ 3 จาก โรงเรียนจอมสุรางค์อุปถัมภ์ จ.พระนครศรีอยุธยา
พ.ศ.2541	สำเร็จการศึกษาระดับมัธยมศึกษาชั้นปีที่ 6 แผนกวิทยาศาสตร์-คณิตศาสตร์
พ.ศ.2544	สำเร็จการศึกษาระดับปริญญาตรีวิทยาศาสตรบัณฑิต (วท.บ.) ภาควิชาวิทยาศาสตร์การแพทย์ คณะวิทยาศาสตร์
พ.ศ.2548	จาก มหาวิทยาลัยบูรพา จ.ชลบุรี